

АЗАРБАЙЧАН ССР ЕЛМЛЭР АКАДЕМИЈАСЫ
АКАДЕМИЯ НАУК АЗЕРБАЙДЖАНСКОЙ ССР

МЭРҮҮЗЭЛЭР ДОКЛАДЫ

ТОМ XXX ЧИЛД

1

„ЕЛМ“ НЭШРИЈАТЫ
ИЗДАТЕЛЬСТВО „ЭЛМ“
БАКЫ—1974—БАКУ

МҮӘЛЛИФЛӘР ҮЧҮН ГАЈДАЛАР

1. «Азәрбајчан ССР Елмләр Академијасының Мә'рүзәләри» илдә нәзәри вә тәчрүби әһәмијјәтә малик елми-тәдгигатларын тамамлашып вә һөлә дәрч едилмәмиш иетичаләри һагтында гыса мә'лumatlar чап олуунур.

«Мә'рүзәләр»дә механики сурәтдә бир нечә айры-айры мә'лumatlar шәклини салыныш ири һәчмли мәгаләләр, яени фактики мә'лumatlardan мәһрум мүбәхисе хактерли мәгаләләр, мүәյҗән иетичә вә үмумиләшdirмәләрсiz көмкәчи тәчрүбәләри тәсвириндән избәрт мәгаләләр, гејри-принцинал, тәсвири вә ичмал хактерли ишләр, төсөнje едилән методу присиничә яени олмајан сырф методик магаләләр, һабелә битки вә һевиаларын систематикасын даир (елм үчүн хүсуси әһәмијјәтә малик ташынтыларын тәсвири истина олмагла) мәгаләләр дәрч едилмир.

«Мә'рүзәләр»дә дәрч олуулан мәгаләләр һәмин мә'лumatlарын даһа кениши шәкилдә башга ишрләрдә чап едилмәси үчүн мүәллифи һүтгүүнү әлинидән алмый.

2. «Мә'рүзәләр»ни редаксијасына дахил олан мәгаләләр јалиныз ихтирас үзрө бир пәфәр академики тәгдиматында соира редаксија һеј'әти тәрәфинидән нәзәрдән кечириллир. Һәр бир академик илдә 5 әдәддән соч олмамаг шәртилә мәгаләләр тәгдим едә биләр.

Азәрбајчан ССР Елмләр Академијасының мүхбири үзвүләринин мәгаләләри тәгдиматсыз габул олуунур.

Редаксија академикләрдән хәниш едир ки, мәгаләләри тәгдим едәркән онларын мүәллифләрдән алынмасы тарихини, һабелә мәгаләнин јерләшdirиләчөн бөлманин адымы көстәрилмәлөр.

3. «Мә'рүзәләр»дә бир мүәллиф илдә 3 мәгалә дәрч етдира биләр.

4. «Мә'рүзәләр»дә шәкилләр дә дахил олмагла, мүәллиф вәрәгинин дөрддә бирни-дән артыг олмајараг јазы макинасында јазылышы 6—7 сәнинфа һәчмидә (10000 чап ишарәс) мәгаләләр дәрч едилир.

5. Бүтүн мәгаләләрни иницијис дилиндә хұласаси олмалыбыр; бундан башга, Азәрбајчан дилиндә јазылан мәгаләләре рус дилиндә хұласа әлавә едилмәлиләр. Рус дилиндә јазылан мәгаләләрин исә Азәрбајчан дилиндә хұласаси олмалыбыр.

6. Мәгаләнин сонунда тәдгигат ишнини јерине јетирилдири елми идарәнин ады вә мүәллифин телефони иемрәси көстәрилмәлидир.

7. Елми идарәләрдә апарылан тәдгигат ишләринин иетичаләринин дәрч олуулмасы үчүн елми идарәнин директорлугуну ичазеси олмалыбыр.

8. Мәгаләләр (хұласаеэр дә дахил олмагла) вәрәгин бир үзүндә ики хәтт ара бурахылараг јазы макинасында чап едилмәли вә ики нүсхә тәгдим едилмәлиләр. Дүстурлар дәгиг вә айдын јазылмалы, һәм дә бөйүк һәрфләрин алтындан, кичикләрни исә үстүндән (гара гәләммәлә) ики хәтт чәкілмәлидир; јунаи әлифбасы һәрфләрини гырмызы гәләммәлә даирәлә алмаг лазымдыр.

9. Мәгаләдә ситат көтирилән әдәбијјат сәнинфанин ахырында чыхыш шәклиндә дејил. әлифба гајдасы илә (мүәллифин фамилијасына көрә) мәгаләнин сонунда мәтилдәкис иенад иемрәси көстәрилмәккә үмуми сијаһы үзрә верилмәлидир. Әдәбијјатын сијаһыны ашагыдағы шәкилдә тәртиб едилмәлидир:

а) китаблар үчүн: мүәллифиның фамилијасы вә иницијали, китабын бүтөв ады, чилдин иемрәси, шәһәр, ишрүүжат вә иешр или;

б) мәчмуәләрдәкі (әсәрләрдәкі) мәгаләләр үчүн: мүәллифиның фамилијасы вә иницијали, мәгаләнин ады, мәчмуәнин (әсәрләрнин) ады, чилд, бурахылыш, иешр олуундугү јер, ишрүүжат, ил, сәнинфа;

в) журнал мәгаләләри үчүн: мүәллифиның фамилијасы вә иницијали, мәгаләнин ады, журналның ады, ил, чилд, иемрә (бурахылыш), сәнинфа көстәрилмәлидир.

Дәрч едилмәмиш әсәрләрә (несабатлар вә елми идарәләрдә сакланан диссертасијалар истина олмагла) исенад етмәк олмаз.

10. Шәкилләрин арха тәрәфинде мүәллифиның фамилијасы, мәгаләнин ады вә шәклини иемрәси көстәрилмәлидир. Макинада јазылыш шәкилләртә сөзләр айрыча вәрәгдә тәгдим едилир.

11. Мәгаләләрини мүәллифләри Унификасија олуулуш оиминлик тәснифат үзрә мәгаләләрин индексини көстәрмәли вә «Рефератив журнал» үчүн реферат әлавә етмәлидирләр.

12. Мүәллифләр чәдвәлләрдә, график материалларда вә мәгаләнин мәтилдә бу вәја дикәр рәгемләри тәккәр едилмәснән ѡол вермәмәлидирләр.

Мәгаләләрин һәчми кичик олдугу үчүн иетичаләр јалиныз зәрури һалларда верилир.

13. Ики вә ja даһа соч мәгалә тәгдим едилдикдә онларын дәрчедилмә ардычыллыгыны да көстәрмәк лазымдыр.

14. Мәгаләләрин корректурасы, бир гајда олараг, мүәллифләр көндәрилми. Корректурат көндәрилдири тәгдирдә исә јалиныз мәтбәә сәһивләрни дүзәлтмәк олар.

15. Релаксија мүәллифэ пулсуз олараг мәгаләнин 15 нүсхә айрыча оттискини верир.

МӘ'РҮЗӘЛӘР ДОКЛАДЫ

ТОМ XXX ЧИЛД

№ 1

РЕДАКЦИОННАЯ КОЛЛЕГИЯ:

Г. Б. Абдуллаев (главный редактор), Ш. А. Азибеков,
 Г. А. Алиев, В. Р. Волобуев,
 А. И. Гусейнов, М. А. Дадашзаде (зам. главного редактора),
 М. А. Кашкай, А. С. Сумбатзаде, М. А. Топчибашев, Т. Н. Шахтахтинский,
 Г. Г. Зейналов (ответств. секретарь).

УДК 517

ДИФФЕРЕНЦИАЛЬНЫЕ УРАВНЕНИЯ

А. П. МАХМУДОВ, ЛЕ ДЫК КҮЕМ

О ПРИБЛИЖЕНИИ РЕШЕНИЙ БАЛЛИСТИЧЕСКОЙ ЗАДАЧИ
[НИКЛИБОРКА МНОГОЧЛЕНАМИ С. Н. БЕРНШТЕЙНА]

(Представлено академиком АН Азербайджанской ССР З. И. Халиловым)

В. Никлиборк в работе [1] следующим образом сформулировал баллистическую задачу о том, попадает ли в данную цель снаряд, имеющий данную начальную скорость τ , как "краевую задачу".

Пусть дана система дифференциальных уравнений второго порядка вида

$$\begin{cases} \ddot{x} = f(t, x, y, \dot{x}, \dot{y}), \\ \ddot{y} = g(t, x, y, \dot{x}, \dot{y}) \end{cases} \quad (1)$$

Требуется найти решение $x(t), y(t)$ системы (1), удовлетворяющее следующим условиям:

$$x(0) = y(0) = 0, \quad x'^2(0) + y'^2(0) = \tau^2. \quad (2)$$

Для определенного (заранее неизвестного) $t^* \in [0, T]$ должно быть

$$x(t^*) = x^*, \quad y(t^*) = y^*. \quad (3)$$

Числа $\tau > 0, x^*, y^*$ заданы, причем $x^{*2} + y^{*2} > 0$.

В цитированной работе [1] В. Никлиборк с помощью метода последовательных приближений Пикара показал, что задача (1)–(3) при соответствующих предположениях разрешима.

В дальнейшем задачу (1)–(3) будем называть [задачей Никлиборка].

Результаты В. Никлиборка были обобщены и уточнены А. И. Петровым, А. П. Махмудовым [2] и А. П. Махмудовым [3].

В данной работе, отправляясь от упомянутой работы В. Никлиборка, определим последовательные приближения следующим образом.

Пусть функции $f(t, x, y, z, w)$ и $g(t, x, y, z, w)$ определены в области

$$R = \{0 \leq t \leq T, |x| \leq a, |y| \leq a, |z| \leq b, |w| \leq b\}$$

Выбрав за нулевое приближение любые две допустимые функции $x_0(t), y_0(t)$ приближения $x_n(t), y_n(t)$ ($n \geq 1$) построим так:



$$\left. \begin{aligned} x_n(t) &= \frac{t}{t_{n-1}} \left\{ x^* - \int_0^{t_{n-1}} (t_{n-1} - s) B_n(s, f_{n-1}(s)) ds \right\} + \\ &\quad + \int_0^t (t - s) B_n(s, f_{n-1}(s)) ds, \\ y_n(t) &= \frac{t}{t_{n-1}} \left\{ y^* - \int_0^{t_{n-1}} (t_{n-1} - s) B_n(s, g_{n-1}(s)) ds \right\} + \\ &\quad + \int_0^t (t - s) B_n(s, g_{n-1}(s)) ds \end{aligned} \right\}, \quad (4)$$

где

$$f_n(s) = f(s, x_n(s), y_n(s), \dot{x}_n(s), \dot{y}_n(s)),$$

$$g_n(s) = g(s, x_n(s), y_n(s), \dot{x}_n(s), \dot{y}_n(s));$$

t_n —единственное лежащее в $[0, T]$ решение трансцендентного уравнения

$$\begin{aligned} &\left\{ x^* - \int_0^t (t - s) B_n(s, f_{n-1}(s)) ds \right\}^2 + \\ &+ \left\{ y^* - \int_0^t (t - s) B_n(s, g_{n-1}(s)) ds \right\}^2 = v^2 t^2; \end{aligned}$$

$B_n(s, \varphi), B_n(s, \psi)$ —многочлены С. Н. Бернштейна.

Процесс (4) интересен тем, что построенные приближения вычисляются интегрированием многочленов, т. е. только с помощью арифметических операций.

Аналогичный метод приближенного интегрирования задачи Коши для обыкновенного дифференциального уравнения первого порядка был исследован О. Арамэ в работе [4].

В пункте 1 сформулированы две леммы, играющие основную роль.

В пункте 2 приведена основная теорема, показывающая, что приближения (4) равномерно сходятся к решению задачи Никлиборка.

1. Пусть x^*, y^*, T, v —заданные числа, причем $T > 0, v > 0, x^{*2} + y^{*2} > 0$. Функции $\varphi(s)$ и $\psi(s)$ определены и непрерывны на отрезке $[0, T]$.

Положим $\delta = \max_{0 \leq s \leq T} \{|x^*(s)|, |y^*(s)|\}, M = \max_{0 \leq s \leq T} \{|\varphi(s)|, |\psi(s)|\}$.

Рассмотрим следующую систему трансцендентных уравнений

$$\left. \begin{aligned} x^* - \int_0^t (t - s) \varphi(s) ds &= vt \cos \alpha, \\ y^* - \int_0^t (t - s) \psi(s) ds &= vt \sin \alpha \end{aligned} \right\} \quad (5)$$

с неизвестными t и α .

Имеет место следующая

Лемма 1. Пусть выполняются следующие условия:

а) Функции $\varphi(s)$ и $\psi(s)$ имеют на $[0, T]$ непрерывные производные первого и второго порядка;

в) числа v, T, δ удовлетворяют неравенствам

$$4M \left(\delta + \frac{MT^2}{2} \right) \leq v^2, \quad (6)$$

$$2 \left(\delta + \frac{MT^2}{2} \right)^2 \leq v^2 T^2 \quad (7)$$

Тогда система (5) имеет единственное решение в области $0 \leq t \leq T, 0 \leq \alpha \leq 2\pi$.

Метод доказательства леммы 1 состоит в следующем.

Из (5) исключив α будем иметь

$$t^2 = \frac{1}{v^2} \left[\left\{ x^* - \int_0^t (t - s) \varphi(s) ds \right\}^2 + \left\{ y^* - \int_0^t (t - s) \psi(s) ds \right\}^2 \right]. \quad (8)$$

Полагая в (8) $t^2 = u$, для u получаем уравнение

$$\begin{aligned} u &= \frac{1}{v^2} \left[\left\{ x^* - \int_0^{\sqrt{u}} (\sqrt{u} - s) \varphi(s) ds \right\}^2 + \right. \\ &\quad \left. + \left\{ y^* - \int_0^{\sqrt{u}} (\sqrt{u} - s) \psi(s) ds \right\}^2 \right]. \end{aligned} \quad (9)$$

Взяв любое $u_0 \in [0, T^2]$ приближение u_n ($n \geq 1$), построим следующим образом

$$\begin{aligned} u_n &= \frac{1}{v^2} \left[\left\{ x^* - \int_0^{\sqrt{u_{n-1}}} (\sqrt{u_{n-1}} - s) B_n(s, \varphi(s)) ds \right\}^2 + \right. \\ &\quad \left. + \left\{ y^* - \int_0^{\sqrt{u_{n-1}}} (\sqrt{u_{n-1}} - s) B_n(s, \psi(s)) ds \right\}^2 \right]. \end{aligned} \quad (10)$$

Показывается, что в предположениях леммы 1 последовательные приближения (10) сходятся к некоторому числу $u^* \in [0, T^2]$, которое является единственным решением уравнения (9). Следовательно, уравнение (8) имеет одно и только одно решение. При условиях леммы 1 для корня t^* уравнения (8) имеет место следующая сценка

$$t^* \geq p, \text{ где } p = \frac{2\delta}{v\sqrt{5}}.$$

Рассмотрим $\varphi_1(s), \psi_1(s)$ ($i = 1, 2$) $\in C_{[0, T]}$. Положим

$$M = \max_{0 \leq s \leq T} \{|\varphi_1(s)|, |\psi_1(s)|\}.$$

Имеет место следующая

Лемма 2 (В. Никлиборк). Пусть $\varphi_1(s), \psi_1(s)$ удовлетворяют условиям леммы 1. Тогда уравнение (8) имеет единственное решение t^* (для $\varphi_1(s)$ и $\psi_1(s)$) и τ^* (для $\varphi_2(s), \psi_2(s)$).

Если положить

$$\lambda(s) = |\varphi_2(s) - \varphi_1(s)| + |\psi_2(s) - \psi_1(s)|,$$

то имеет место следующая оценка между корнями уравнения (8):

$$|t^* - \tau^*| \leq \frac{v\sqrt{5}}{4M\delta} \int_0^T (T - s) \lambda(s) ds.$$

2. Сходимость процесса (4) к решению задачи Никлиборка.

Мы будем предполагать, что функции $f(t, x, y, z, \omega)$ и $g(t, x, y, z, \omega)$ определены и непрерывны в области R_u в этой области удовлетворяют условиям

$$|f(t, x, y, z, \omega)| \leq M, \quad |g(t, x, y, z, \omega)| \leq M, \quad (11)$$

$$\begin{aligned} |f(t, x_2, y_2, z_2, \omega_2) - f(t, x_1, y_1, z_1, \omega_1)| &\leq K(|x_2 - x_1| + \\ &\quad + |y_2 - y_1| + |z_2 - z_1| + |\omega_2 - \omega_1|), \end{aligned} \quad (12)$$

$$\begin{aligned} |g(t, x_2, y_2, z_2, \omega_2) - g(t, x_1, y_1, z_1, \omega_1)| &\leq K(|x_2 - x_1| + \\ &\quad + |y_2 - y_1| + |z_2 - z_1| + |\omega_2 - \omega_1|) \end{aligned} \quad (12)$$

где K —некоторое постоянное.

Пусть теперь $\delta < a$ и (x^*, y^*) —точка, чьи координаты удовлетворяют неравенству $x^{*2} + y^{*2} > 0$.
При этих предположениях имеет место следующая основная теорема.

$$4M\left(\delta + \frac{MT^2}{2}\right) \leq v^2, \quad 2\left(\delta + \frac{MT^2}{2}\right)^2 \leq v^2 T^2 \quad (13)$$

Н

$$a \geq vT + \frac{MT^2}{2}, \quad b \geq v + MT. \quad (14)$$

β) Функции $f(t, x, y, z, w)$ и $g(t, x, y, z, w)$ имеют непрерывные частные производные первого и второго порядка;
 γ) выполнено условие

$$q = \left\{ \frac{5Kv^2}{4M\delta^2} \left(\sqrt{5} \cdot v + 2MT \right) + \frac{K \cdot v \sqrt{5}}{\delta} (1+T) \frac{T^2}{2} + 2K(T+2)T \right\} < 1. \quad (15)$$

Тогда задача Никлиборка имеет единственное решение $x(t)$, $y(t)$ в области $G = \{ |x(t)| \leq a, |y(t)| \leq a; |\dot{x}| \leq b, |\dot{y}| \leq b \}$ и это решение можно найти как предел последовательных приближений (4).

Наконец, отметим, что если $x(t)$, $y(t)$ будет точным решением задачи Никлиборка, а $x_n(t)$, $y_n(t)$ приближения вида (4) к этому решению, то можно оценить разности $\epsilon_n(t) = |x_n(t) - x(t)|$ и $\delta_n(t) = |y_n(t) - y(t)|$: Но ввиду громоздкости мы их здесь не приводим.

ЛИТЕРАТУРА

1. Nicl borg W. Berg Verhandl, Sächsich. Akad. der Wiss. zu Leipzig, Math.-phys. Kbh., 82, 227—242, 1930.
 2. Перов А. И., Махмудов А. П. Об одной краевой задаче. Дифференциальные уравнения, 1966, т. 11, № 3, стр. 365—370.
 3. Махмудов А. П. О некоторых специальных задачах для обыкновенных дифференциальных уравнений. ДАН Азерб. ССР, т. 24, № 10, стр. 9—14.
 4. Арамэ О. Относительно свойств монотонности последовательности интерполяционных многочленов С. Н. Бернштейна и их применения к исследованию приближений функций. Mathem. (RSR) (Cluj), 1960.
 5. Т. P o r o v i c i u. Folytos függvények középértékteleiről, Ak. Magyar Tudományos Akadémia Matematikai és Fizikai Osztályának, Budapest, 1954.
 6. Гельфond A. [О. Исчисление конечных разностей. Наука, М., 1967.]

АГУ им. С. М. Кирова

Поступило 15. X 1971

Э. П. Маһмудов, Ле Дык Кјем

Никилиборкун баллистик мәсәләсинин һәлләринин
С. Н. Бернштейнин чохһәддиләри һаситәсилә јахынлашдырылмасы

ХУЛАС

Мэгалэдэ

$$\left. \begin{array}{l} \ddot{x} = f(t, x, y, \dot{x}, \dot{y}), \\ \ddot{y} = g(t, x, y, \dot{x}, \dot{y}) \end{array} \right\}$$

системи учун, гојулмуш Никлиборк мәсәләсинин Ыраллинин тапылмасы учун С. Н. Бернштейн чохнәдилләри васитәсила хүсуси шәкилдә ар-дышыл йаҳынлашмалар гүрулдүр.

Гурулан просес она көрә мараглыдыр ки, ардычыл Іаҳынлашмалар чохһәдлиләрин интегралланмасы нәтижәсиндә несабланып.

Ишдэ көстәрилүр ки, гурулмуш ардычыл жахынлашмалар Никли-
борк мәсәләсинин һәллинә мүнтәзәм Ығылым.

БАЛАНС МАКСИМ ДАҒЫЛЫР.

A. P. Makhmoudov, Le Dick Kiem

The approximation of the solution of the ballistic Nickiborck's problems by Bernstein's polinoms

SYMMARY

In this article it is contructing the approximation of solution of Nickliborck's problem using the Bernshtein's polinoms.

It is proved, that constructed approximation convergent to the solution of Nickliborck's problem.

УДК 517.946

ДИФФЕРЕНЦИАЛЬНЫЕ УРАВНЕНИЯ

В. К. КАЛАНТАРОВ

ИССЛЕДОВАНИЕ СМЕШАННОЙ ЗАДАЧИ ДЛЯ ОДНОГО КЛАССА НЕСТАЦИОНАРНЫХ СИСТЕМ

(Представлено академиком АН Азербайджанской ССР А. И. Гусейновым)

В настоящей работе исследуется смешанная задача для одной системы полулинейных уравнений параболического и гиперболического типов. Такого вида системы встречаются при описании процесса одновременного распространения звука и тепла в потоке сжимаемой жидкости. В прямоугольнике $D_T = \{(x, t); 0 < x < \pi, 0 < t < T\}$ рассматривается задача:

$$\frac{\partial u_1}{\partial t} - \frac{\partial^2 u_1}{\partial x^2} = F_1(u_1, u_2), \quad (1)$$

$$\frac{\partial^2 u_2}{\partial t^2} - \frac{\partial^2 u_2}{\partial x^2} = F_2(u_1, u_2), \quad (2)$$

$$u_1(x, 0) = \varphi(x), \quad u_2(x, 0) = \psi(x), \quad \frac{\partial u_2(x, 0)}{\partial t} = \theta(x), \quad (3)$$

$$u_i(0, t) = u_i(\pi, t) = 0, \quad i = 1, 2 \quad (4)$$

Здесь $F_1(u_1, u_2)$ — нелинейные (вообще говоря) операторы, а $\varphi(x)$, $\psi(x)$ и $\theta(x)$ — заданные функции.

Введем некоторые обозначения: 1. Обозначим через $B_{a_0 \dots a_{l-1}, T}^{\beta_0 \dots \beta_l}$ совокупность функций вида $u(x, t) = \sum_{n=1}^{\infty} u_n(t) \sin nx$, где каждая из функций $u_n(t)$, $t \geq 0$ непрерывно дифференцируема на отрезке $[0, T]$,

$$\sum_{i=0}^l \left\{ \sum_{n=1}^{\infty} (n^{\alpha_i} \max_{0 < t < T} |u_n^{(i)}(t)|)^{\beta_i} \right\}^{1/\beta_i} \equiv I_T(u) < +\infty$$

В этом множестве норму определим формулой $\|u(x, t)\| = I_T(u)$. Очевидно, что это пространство банахово.

$$2. H_{l,T} \equiv B_{l,T}^2 \times B_{l,l-1,T}^{2,2}, \quad l = \overline{1, 3}; \quad L_{p,q}(D_T) \equiv L_p(D_T) \times \\ \times L_q(D_T), \quad p, q \geq 1.$$

$$3. W(x, t) = \sum_{n=1}^{\infty} \varphi_n e^{-n^2 t} \sin nx, \quad Z(xt) \equiv \sum_{n=1}^{\infty} \left(\psi_n \cos nt + \frac{\theta_n}{n} \sin nt \right) \sin nx,$$

$$\text{где } \varphi_n = \frac{2}{\pi} \int_0^{\pi} \varphi(x) \sin nx dx, \quad \psi_n = \frac{2}{\pi} \int_0^{\pi} \psi(x) \sin nx dx, \\ \theta_n = \frac{2}{\pi} \int_0^{\pi} \theta(x) \sin nx dx.$$

4. Обозначим через E_x совокупность всех функций $u(x, t) \in C(D_T)$, имеющих производную $u_x(x, t) \in L_2(D_T)$ и удовлетворяющих условиям $u(0, t) = u(\pi, t) \equiv 0$ на $[0, T]$. Норму в этом множестве определим так:

$$\|u(x, t)\|_{E_x} \equiv \|u(x, t)\|_{C(D_T)} + \|u_x(x, t)\|_{L_2(D_T)}$$

Отметим также, что в дальнейшем норма элемента $(u, v) \in A \times B$ определяется таким образом: $\|(u, v)\|_{A \times B} = (\|u\|_A^2 + \|v\|_B^2)^{\frac{1}{2}}$

Определение 1. Обобщенным решением задачи (1)–(4) назовем элемент $(u_1(x, t), u_2(x, t)) \in H_{l,T}$, принимающий начальное значение $(\varphi(x), \psi(x))$ в обычном смысле. Кроме того: а) значение $\theta(x)$ принимается функцией $u_2(x, t)$ в смысле $L_2(0, \pi)$;

б) $u_1(x, t)$ и $u_2(x, t)$ удовлетворяют интегральным тождествам

$$\int_0^T \int_0^{\pi} \left\{ u_1 \frac{\partial U}{\partial t} - \frac{\partial u_1}{\partial x} \frac{\partial U}{\partial x} + F_1(u_1, u_2) U \right\} dx dt + \int_0^{\pi} \varphi(x) \frac{\partial U}{\partial t} (x, 0) dx = 0, \\ \int_0^T \int_0^{\pi} \left\{ \frac{\partial u_2}{\partial t} \frac{\partial U}{\partial x} - \frac{\partial u_2}{\partial x} \frac{\partial U}{\partial x} + F_2(u_1, u_2) \cdot U \right\} dx dt + \int_0^{\pi} \theta(x) U(x, 0) dx = 0$$

для любой функции $U(x, t) \in C^{(1)}(D_T)$ такой что:

$$U(0, t) = U(\pi, t) = U(x, t) \equiv 0 \quad (x \in [0, \pi], t \in [0, T])$$

Определение 2. Решением почти всюду задачи (1)–(4) назовем пару функций $u_1(x, t)$, $u_2(x, t)$, удовлетворяющих условиям:

а) $u_1(x, t) \in C(D_T)$ имеет производные $\frac{\partial u_1}{\partial t}$ и $\frac{\partial^2 u_1}{\partial x^2} \in L_2(D_T)$

б) $u_2(x, t) \in C^{(1)}(D_T)$ имеет производные $\frac{\partial^2 u_2}{\partial t^2}$ и $\frac{\partial^2 u_2}{\partial x^2} \in L_2(D_T)$

в) эта пара почти всюду в D_T удовлетворяет системе (1), (2) и начальные значения (3) принимаются в обычном смысле.

Теорема 1. Пусть

1) $\varphi(x) \in C[0, \pi]$, $\varphi'(x) \in L_2(0, \pi)$ и $\varphi(0) = \varphi(\pi) = 0$; $\psi(x) \in C[0, \pi]$, $\psi'(x) \in L_2(0, \pi)$, $\psi(0) = \psi(\pi) = 0$ и $\theta(x) \in L_2(0, \pi)$

2) а) оператор $F = \begin{pmatrix} F_1 \\ F_2 \end{pmatrix}$ действует из шара

$S(\|(u_1, u_2) - (W, z)\|_{H_{l,T}} \leq R)$ в $L_{2,1}(D_T)$ — непрерывно и ограничено

б) для любого $(u_1, u_2) \in S$ $\sqrt{\frac{\pi T + 3}{3}} \sup_{(u_1, u_2) \in S} \|F(u_1, u_2)\|_{L_{2,1}(D_T)} \leq R$

Тогда задача (1)–(4) имеет хотя бы одно обобщенное решение.

Теорема 2. Пусть:

1) выполняется условие 1 теоремы 1;

2) $F_1 = F_1^1 + F_1^2$, т. е. $F = F_1 + F_2 = \begin{pmatrix} F_1^1 \\ F_2^1 \end{pmatrix} + \begin{pmatrix} F_1^2 \\ F_2^2 \end{pmatrix}$

а) оператор F_1 действует из шара $S_1 \left(\| (u_1, u_2) \|_{B'_{0,T} \times B'_{1,T}} \leq \frac{\pi}{\sqrt{3}} R \right)$ в $L_{2,1}(D_T)$ непрерывно и ограничено, где $R > \| (W, z) \|_{H_{1,T}}$

б) оператор \tilde{F}_2 действует из шара $S_2 (\| (u_1, u_2) \|_{H_{1,T}} \leq R)$ в $L_{2,1}(D_T)$ и в этом шаре удовлетворяет условию Липшица:

$$\| \tilde{F}_2(u_1, u_2) - \tilde{F}_2(v_1, v_2) \|_{L_{2,1}(D_T)} \leq q \| (u_1, u_2) - (v_1, v_2) \|_{H_{1,T}},$$

где

$$\sqrt{\frac{\pi T + 3}{3}} \cdot q < 1$$

с) $\sqrt{2} \| (w, z) \|_{H_{1,T}} + \sqrt{\frac{\pi T + 3}{3}} \sup_{(u_1, u_2) \in S_2} \| F(u_1, u_2) \|_{L_{2,1}(D_T)} \leq R$

Тогда задача (1)–(4) имеет по крайней мере одно обобщенное решение.

Теорема 3. Пусть:

1) выполняется условие 1 теоремы 1.

2) F_1 действует из шара S в пространство $L_{2,1}(D_T)$ и для любого $(u_1, u_2) \in H_{1,T}$

$$\| F_1(u_1, u_2) \|_{H_{1,T}}^2 \leq a_1(t) + b_1(t) \| (u_1, u_2) \|_{H_{1,T}}^2,$$

где $a_1(t), a_2(t), b_1(t), b_2(t) \in L(0, T]$

3) для любого $R > 0$ при всех

$$(u_1, u_2), (v_1, v_2) \in \int (\| (u_1, u_2) \|_{H_{1,T}} \leq R),$$

$$\| F_1(u_1, u_2) - F_1(v_1, v_2) \|_{L_{2,1}(D_T)} \leq C_R(t) \| (u_1, u_2) - (v_1, v_2) \|_{H_{1,T}},$$

где $i = 1, 2, C_R(t) \in L_2(0, T)$.

Тогда задача (1)–(4) имеет единственное обобщенное решение.

Теорема 4. Пусть

1) $\varphi(x) \in C^{(1)}[0, \pi], \varphi''(x) \in L_2(0, \pi)$ и $\varphi(0) = \varphi(\pi) = 0$;
 $\varphi(x) \in C^{(1)}[0, \pi], \psi''(x) \in L_2(0, \pi)$ и $\psi(0) = \psi(\pi) = 0$;
 $\theta'(x) \in L_2(0, \pi)$ и $\theta(0) = \theta(\pi) = 0$.

2) операторы F_1 удовлетворяют условиям 2 и 3 теоремы 3, кроме того, они действуют из $H_{2,T}$ в $E_x \times E_x$ непрерывно и ограниченно. Тогда задача (1)–(4) имеет по крайней мере одно решение почти всюду.

Теорема 5. Пусть:

1) выполнено условие 1 теоремы 4

2) $F = \tilde{F}_1 + \tilde{F}_2$, причем

а) оператор $F_1 \equiv \begin{pmatrix} F_1^1 \\ F_1^2 \end{pmatrix}$ действует из шара

$$K_1 \left(\| (u_1, u_2) \|_{B_{1,T}^1 \times B_{1,T}^1} \leq \frac{\pi}{\sqrt{6}} R \right)$$

в пространство $E_x \times E_x$ непрерывно и ограничено, где $R > \| (w, z) \|_{H_{2,T}}$,

б) оператор \tilde{F}_2 действует из шара $K_2 (\| (u_1, u_2) \|_{H_{2,T}} \leq R)$ в пространство $E_x \times E_x$ и в шаре K_2 удовлетворяет условию:

$$\left\| \frac{\partial}{\partial x} \tilde{F}_2(u_1, u_2) - \frac{\partial}{\partial x} \tilde{F}_2(v_1, v_2) \right\|_{L_{2,2}(D_T)} \leq q \| (u_1, u_2) - (v_1, v_2) \|_{H_{2,T}},$$

где $2 \cdot \sqrt{\frac{1+2T}{\pi}} q < 1$.

$$3) \| (w, z) \|_{H_{2,T}} + 2 \sqrt{\frac{1+2T}{\pi}} \sup_{(u_1, u_2) \in K_2} \left\| \frac{\partial}{\partial x} F(u_1, u_2) \right\|_{L_{2,2}(D_T)} \leq R$$

Тогда задача (1)–(4) имеет хотя бы одно решение почти всюду. Отметим, что аналогичные теоремы доказаны и для классического решения задачи (1)–(4).

ЛИТЕРАТУРА

Забрейко П. П., Красносельский М. А. «ДАН СССР», т. 176, № 6, 1967, 1233–1237.

Институт математики
и механики

В. К. Калантаров

Поступило 28. III 1971

Молекулляр акустиканың бир синиф гејри-стасионар системләри
үчүн гарышыг мәсәләнин тәдгиги

ХУЛАСЭ

Ишдә (1)–(4) мәсәләсүнин үмумиләшмиш вә санки һәр йердә һәлләри үчүн мұхтәлиф варлыг теоремләри, һәмчинин варлыг вә йекәнәлик теоремләри исбат олунур. Тәдгигатда тәрпәнмәз нәгтәнин топология принципләрindән истифадә олунур.

V. K. Kalantarov

Investigation of mixed task for one class not-stationary systems

SUMMARY

In the work, by application of topological principles immovable fulcrum, are proved different theorems of existence and unity summarised and almost everywhere solution of task (1)–(4).

УДК 517. 911

МАТЕМАТИКА

Член-корр. К. Т. АХМЕДОВ, С. В. ИСРАИЛОВ
**К ТЕОРИИ НАЧАЛЬНОЙ СИНГУЛЯРНОЙ ЗАДАЧИ ДЛЯ СИСТЕМ
 ОБЫКНОВЕННЫХ ДИФФЕРЕНЦИАЛЬНЫХ УРАВНЕНИЙ
 С ЗАПАЗДЫВАЮЩИМ АРГУМЕНТОМ**

Рассмотрим систему уравнений

$$y'(x) = f(x, y(x), \dots, y(x - \Delta_j(x)), \dots), \quad (1)$$

и начальные условия

$$\begin{cases} y(x) = \varphi(x), & x \in E_0, \\ y(0) = 0 \end{cases} \quad (2)$$

в векторной форме. Предположим, что вектор-функция $f = [f_i]$, $i = \overline{1, n}$, $j = \overline{1, m}$, непрерывна по совокупности аргументов в области D : $|y(x)| \leq d$, $|y(x - \Delta_j(x))| \leq d$, $0 < x \leq A < \infty$, а при $x = 0$ имея сингулярность, может быть, вообще говоря, несуммируемой на отрезке $[0, A]$; неотрицательные непрерывные функции запаздывания $\Delta_j(x)$, $j = \overline{1, m}$, задаются для $x \in [0, A]$ и обладают одним из следующих свойств:

а) $x - \Delta_j(x) > 0$ на некотором интервале $(0, x_j)$, где $x_j \leq A$, справа от точки 0 и $\Delta_j(x) > 0$ при $x \in (0, x_j)$;

б) либо $\Delta_j(0) > 0$ и тогда по непрерывности $\Delta_j(x)$ существуют интервалы $(0, x_j)$ справа от 0 такие, что $x - \Delta_j(x) < 0$ при $x \in (0, x_j)$, либо $\Delta_j(0) = 0$, но все же существуют интервалы $(0, x_j)$ справа от точки 0 такие, что $x - \Delta_j(x) < 0$ при $x \in (0, x_j)$. Непрерывная начальная вектор-функция $\varphi(x) = \{\varphi_i(x)\}$ задана на начальном множестве

$$E_0 = \bigcup_{j=1}^m E_0^j, \quad E_0^j = E[x - \Delta_j(x); x - \Delta_j(x) < 0, x \geq 0], \quad U_0,$$

причем $\varphi(0) = 0$.

Определение. Решением задачи (1), (2) называется такая вектор-функция $y(x) = \{y_i(x)\}$, $i = \overline{1, n}$, непрерывная на $[0, A]$ и непрерывно дифференцируемая на $(0, A]$, что $y(x)$ удовлетворяет дифференциальному уравнению (1), $y(0) = 0$ и, кроме того, если $x \geq 0$, а $x - \Delta_j(x) < 0$, то в уравнение (1) вместо $y(x - \Delta_j(x))$ подставлены $\varphi(x - \Delta_j(x))$, $j = \overline{1, m}$.

Задача (1), (2) называется начальной сингулярной задачей.

Так как функция f имеет особенность только при $x = 0$, то можно ограничиться изучением системы (1) на достаточно малом отрезке

$[0, a]$, где $a < A$. При этом, если $a < A$ и необходимо исследовать свойства решений системы (1) на всем отрезке $[0, A]$, то достаточно на правые части $\{f_i\}$ наложить условия, обеспечивающие продолжимость решений. Подбор числа a можно производить в зависимости от свойств функций $\Delta_j(x)$. Удобнее всего положить $a = \min(x_j, A)$. Тогда, если функции

$\Delta_j(x)$ обладают свойством б), то при $x \in (0, a)$ имеем $x - \Delta_j(x) < 0$ и вместо $y(x - \Delta_j(x))$ в уравнение (1) следует подставить известные функции $\varphi(x - \Delta_j(x))$, вследствие чего уравнение (1) превращается в дифференциальное уравнение без отклонения аргумента [1]. Если же функции $\Delta_j(x)$ обладают лишь свойством а), то начальное множество E_0 состоит только из одной точки 0, следовательно, вместо условий (2) имеем начальные условия

$$y_i(0) = 0, \quad i = \overline{1, n}. \quad (3)$$

Очевидно, часть функций $\Delta_j(x)$ могут обладать свойством а), а остальные свойством б). И в этом случае, используя указанный подбор числа a , задачу (1), (2) можно свести к задаче (1), (3).

В дальнейшем будем считать, что функции $\Delta_j(x)$ обладают лишь свойством а) и вектор-функция f с сингулярностью при $x = 0$ определена в области K : $0 < x \leq a$, $|y(x - \Delta_k(x))| \leq d$, где $\Delta_0(x) = 0$, $k = \overline{0, 1, 2, \dots, m}$.

Теорема 1. Пусть 1) существуют такие непрерывные по совокупности переменных в области R вектор-функции $\psi^{(r)}$, $r = 1, 2$, что уравнения

$$y'(x) = \psi^{(r)}(x, y(x), \dots, y(x - \Delta_j(x)), \dots)$$

имеют в R решения $z^{(r)}$, $r = 1, 2$; причем, $z^{(1)}(0) = 0$, $z^{(1)}(x) \leq z^2(x)$ $x \in [0, a]$; 2) в области S : $0 < x \leq a$, $z^{(1)}(x - \Delta_k(x)) \leq y(x - \Delta_k(x)) \leq z^{(2)}(x - \Delta_k(x))$ вектор-функции $\psi^{(r)}$ не убывают по переменным $y(x - \Delta_k(x))$ и справедливы неравенства

$$\psi^{(1)}(x, y(x), \dots, y(x - \Delta_j(x)), \dots) \leq f(x, y(x), \dots)$$

$$\dots, y(x - \Delta_j(x)), \dots) \leq \psi^{(2)}(x, y(x), \dots, y(x - \Delta_j(x)), \dots).$$

Тогда задача (1), (3) имеет по крайней мере одно решение, лежащее в S .

Пусть функционалы $\Phi(y)$, $D(y, h)$, $\alpha(y, h)$ такие же, что и в работах [2, 3]. Положим при

$$\xi(x) = x^{-k} \Phi[y(x) - z(x)], \quad \eta(x) = \sum_{j=0}^m a_j \xi(x - \Delta_j(x))$$

В дальнейшем всюду предполагается, что правая часть уравнения (1) удовлетворяет условию

$$D[y(x) - z(x), f(x, y(x), \dots, y(x - \Delta_j(x)), \dots) -$$

$$- f(x, z(x), \dots, z(x - \Delta_j(x)), \dots)] \leq kx^{k-1} \xi(x) + x^k L[\eta(x)] \quad (4)$$

при $x \in (0, a]$, $|y(x - \Delta_j(x))| \leq r$, $|z(x - \Delta_j(x))| \leq r$, $y(x - \Delta_j(x)) \neq z(x - \Delta_j(x))$, $\eta(x) \leq \tau$; здесь a_j , $j = \overline{0, 1, 2, \dots, m}$, τ , k — некоторые неотрицательные числа. Относительно функции $a(x)$ предполагается, что

$$\int_0^a a(t) dt < +\infty. \quad (5)$$

Относительно функции $L(v)$ предполагается, что она непрерывна при $0 < v \leq \tau$, положительна при $v > 0$ и

$$\int_0^\tau \frac{dv}{L(v)} = +\infty. \quad (6)$$

Будем говорить, что два решения задачи (1), (3) эквивалентны, если

$$\lim_{x \rightarrow 0} \xi(x) = 0 \quad (7)$$

Теорема 2. Если выполнено условие (4), то каждый класс эквивалентных решений состоит не более чем из одного элемента.

Для того чтобы из этой теоремы получить единственность решения задачи (1), (3), необходимо на правую часть уравнения (1) наложить такие ограничения, при которых любые решения эквивалентны.

Пусть, например, правая часть уравнения (1) определена при $x = 0$, $y(0) = 0$, причем рассматриваются решения, удовлетворяющие уравнению при $x \geq 0$. Тогда каждые два решения задачи (1), (3) будут удовлетворять условию (7) при $0 < k < 1$. В этом случае единственность решения будет иметь место, если в условии (4) $0 < k < 1$. Для случая сингулярного уравнения условие (7) будет иметь место только при $k = 0$: Для случая $0 < k < 1$ мы будем дополнительно предполагать, что

$$D[y(x) - z(x), f(x, y(x), \dots, y(x - \Delta_j(x)), \dots) - \\ - f(x, z(x), \dots, z(x - \Delta_j(x)), \dots)] \leq N(x, x^k \eta(x)). \quad (8)$$

Здесь функция $N(x, u)$ непрерывна при $0 < x \leq a$, $u \geq 0$ и $N(x, 0) = 0$. При $k > 1$ используется еще один вид ограничений на правую часть уравнения (1):

$$D[y(x) - z(x), f(x, y(x), \dots, y(x - \Delta_j(x)), \dots) - \\ - f(x, z(x), \dots, z(x - \Delta_j(x)), \dots)] \leq b(x) M(x^k \eta(x)), \quad (9)$$

где $b(x)$ — непрерывна и положительна при $0 < x \leq a$, функция $M(u)$, $M(0) = 0$, непрерывна при $0 < u \leq \delta$ и положительна при $0 < u \leq \delta$, причем

$$\int_0^\delta \frac{du}{M(u)} < +\infty. \quad (10)$$

Предполагается также, что при достаточно малых x выполнено неравенство

$$\int_0^x b(t) dt \leq \int_0^{x^k} \frac{du}{M(u)}, \quad (11)$$

каково бы ни было $\epsilon > 0$. Теперь без особого труда доказывается

Теорема 3. Пусть выполнено условие (4). Тогда для единственности решения начальной сингулярной задачи (1), (3) достаточно, чтобы при $0 < k < 1$ было выполнено условие (10), а при $k > 1$ — условие (11).

Приведем пример. Если положить

$$\Phi(y) = \left(\sum_{i=1}^n |y_i|^p \right)^{\frac{1}{p}}, \quad p \geq 1,$$

то в качестве функционала $D(y, h)$ можно взять

$$D(y, h) = \begin{cases} [\Phi(y)]^{1-p} \sum_{i=1}^n |y_i|^{p-1} |h_i|, & y_i \neq 0, \\ \Phi(h), & y_i = 0. \end{cases}$$

Тогда, выбирая различными функции $a(x)$, $L(v)$, получим различные теоремы единственности решения начальной сингулярной задачи.

ЛИТЕРАТУРА

- Чечик В. А. Исследование систем обыкновенных дифференциальных уравнений с сингулярностью. Труды Московск. математич. об-ва, т. № 8, 1959, стр. 155—198.
- Борисович Ю. Г., Кубенко А. В. Теоремы существования и единственности для обыкновенных дифференциальных уравнений с запаздывающим аргументом. Труды семинара по теории дифференциальных уравнений с отклоняющимся аргументом, т. № 6, 1968, стр. 55—65.
- Перов А. И. О теоремах единственности для обыкновенных дифференциальных уравнений. „ДАН СССР“, т. 120, № 4, 1958, стр. 704—707.

АГУ им. С. М. Кирова

Поступило 9. XI 1972

Г. Т. Эхмэдов, С. В. Исраилов

Кечикән аргументли диференсиал тәнликләр системи
үчүн сингулјар башланғыч мәсәләси [иэзәријјәсинә даир

ХУЛАСӘ

Мәгаләдә сингулјар диференсиал тәнликләр системи өјрәнилir. Башланғыч мәсәләнин һәллинин варлығы үчүн мұхтәлиф варлығ вә жекәнәлик теоремләри көтирилir.

K. T. Achmedov, S. V. Israfilov

On a theory of initial singular problem for system of ordinary differential-difference equations

SUMMARY

In the present paper are given existence and uniqueness theorems of differential-difference equation

$y'(x) = f(x, y(x), \dots, y(x - \Delta_j(x)), \dots)$, $y = [y_i]$, $j = \overline{1, m}$,
with condition

$$\begin{cases} y(x) = \varphi_i(x), & x \in E_0, \\ y(0) = 0. \end{cases}$$

provide that functions $f = \{f_i\}$ have singularity in the point $x = 0$, $i = \overline{1, n}$.

то в качестве функционала $D(y, h)$ можно взять

$$D(y, h) = \begin{cases} [\Phi(y)]^{1-p} \sum_{i=1}^n |y_i|^{p-1} |h_i|, & y_i \neq 0, \\ \Phi(h), & y_i = 0. \end{cases}$$

Тогда, выбирая различными функции $a(x)$, $L(v)$, получим различные теоремы единственности решения начальной сингулярной задачи.

УДК 532.71

ГИДРОМЕХАНИКА

И. М. АМЕТОВ, Р. И. КУЛИЕВ, Ф. Е. АГАЕВ

РЕШЕНИЕ ОБРАТНЫХ ЗАДАЧ ПО ОПРЕДЕЛЕНИЮ
КОЭФФИЦИЕНТОВ ОСМОТИЧЕСКОГО ПЕРЕНОСА

(Представлено академиком АН Азербайджанской ССР А. Х. Мирзаджанзаде)

При рассмотрении процессов массопереноса через стенки бурящейся скважины необходимо учитывать осмотические явления. Выполненные в этом направлении немногочисленные исследования носили качественный характер [1, 2]. Между тем необходимо пересчитывать результаты лабораторных опытов на реальные условия скважины.

Настоящая работа посвящена этой цели.

Принимается, что осмотический перенос определяется феноменологическим законом.

$$q = -D \frac{\partial C}{\partial X}, \quad (1)$$

где q —поток вещества через единицу площади;
 C —концентрация;

D —коэффициент осмотического переноса.

С учетом (1) получаем, что процесс осмотического массопереноса описывается уравнением теплопроводности:

$$\frac{\partial C}{\partial t} = D \frac{\partial^2 C}{\partial X^2}. \quad (2)$$

Решение уравнения (2) при условиях:

$$X=0, C=C_0; X=l; C=0; t=0; C=0 \quad (3)$$

имеет вид:

$$\bar{C}(X) = \frac{C_0}{S \left(1 - e^{-2\sqrt{\frac{S}{D}}t} \right)} \left[l \sqrt{\frac{S}{D}X} - l \sqrt{\frac{S}{D}(2e-X)} \right],$$

где S —параметр преобразования Лапласа.

В качестве дополнительного заданного условия при $x=0$ использовалась зависимость $Q(t)$ —объема перетекшей жидкости

$$Q(t) = -D \int_0^t \frac{\partial C(0, t)}{\partial x} dt$$

в пространстве изображений получаем:

$$\bar{Q} = \frac{C_0 \sqrt{S/D}}{S^2 \left(l^2 \sqrt{\frac{S}{D}} e - 1 \right)} \left(1 + e^{2\sqrt{\frac{S}{D}}t} \right) \quad (4)$$

Выбирая параметр S из условия $e \sqrt{\frac{S}{D}} \gg 1$, получаем:

$$S^2 \bar{Q} = C_0 \sqrt{DS} \quad (5)$$

Соотношение (5) является основным. В координатах $\bar{Q}S^2 - \sqrt{S}$ получаем прямую линию, по условному коэффициенту которой определяем D . Обрабатывались результаты опытов, проведенных на установке, схема которой описана в [1].

С одной стороны кернового образца находилась пресная вода, с другой—вода с 7%-ным содержанием NaCl или пластовая вода месторождения Булла-море соленостью 3,8% по Боме. Далее регистрировались изменения уровня жидкости в ячейке с минерализованной водой в зависимости от времени.

Величина коэффициента D определялась по методу Г. И. Баренблатта и др. [3].

Результаты расчетов приведены в таблице:

Исследуемая система	Вода с 7%-ным содержанием+вода с 5%-ным ПФЛХ	Вода с 7%-ным содержанием+вода с 3%-ным УЩР	Пластовая вода+вода с 5%-ным УЩР	Пластовая вода+вода с 10%-ным УЩР
$10^7 \text{ см}^2/\text{сек}$	6,0	4,0	0,3	0,8

Полученные значения коэффициента осмотического переноса следует сравнить с коэффициентом диффузии жидкости в жидкости ($\sim 10^{-5} \text{ см}^2/\text{сек}$) и коэффициентом пьезопроводности в (данных опытах $\sim 10 \text{ см}^2/\text{сек}$). Различие в порядках значений этих коэффициентов указывает на то, что в исследуемых процессах переноса не участвуют процессы диффузии и фильтрации.

ЛИТЕРАТУРА

1. Аветисян Н. Г. и др. АНХ, № 1, 1972. 2. Мовсумов А. А. и др. Изв высших учебн. завед. "Нефть и газ", № 2, 1972. 3. Баренблatt Г. И. и др. Изв. АН СССР, ОТН, № 11, 1957.

АзИНХ, АзНИПИнефть

Поступило 30. I 1973

И. М. Аметов, Р. И. Гулиев, Ф. Е. Агаев

Осмоскечирмә әмсалының әкс мәсәләләринин тә'јинни үзрә һәлли

ХУЛАСӘ

Мәгаләдә апарылан тәчрүбәләрә әсасен әкс мәсәлә һәлли јолу илә осмоскечирмә әмсалы тә'јин едилмишdir. Тәдгигат просессләрдин көрүнүр ки, күлли кечирмәдә диффузия вә фильтрләмә просессләрни иширак етмир.

Solving the inverse problem by determination of the ratio
of osmotic transfer

SUMMARY

In this article the ratio of osmotic transfer is determined by solving the inverse problem of the base of conducted experience. It's shown, that in tested masstransfer processes the processes of diffusion and filtration don't take part.

Table 1, page 3; bibl. 3.

УДК 622.246.5

БУРЕНИЕ

З. Г. КЕРИМОВ, Ф. А. ШИХАЛИЕВ, К. А. КУЛИЕВ, И. И. АЛИЕВ

ВЫНУЖДЕННОЕ КОЛЕБАНИЕ ПРИХВАЧЕННОЙ
КОЛОННЫ БУРИЛЬНЫХ ТРУБ ПОД ДЕЙСТВИЕМ
ПУЛЬСИРУЮЩЕГО ПОТОКА ВЯЗКОЙ ЖИДКОСТИ

(Представлено академиком АН Азербайджанской ССР
М. П. Гулизаде)

Для ликвидации прихвата бурильного инструмента на практике в отдельных случаях применяется закачка в скважину пульсирующей промывочной жидкости через прихваченную бурильную колонну. Колебательное действие пульсирующей промывочной жидкости, передаваемое бурильным трубам, приводит к уменьшению силы трения в области прихвата и при определенных условиях к освобождению инструмента. Пульсация достигается неравномерностью подачи буровых насосов путем снятия одного из нагнетательных клапанов или исключением из системы циркуляции воздушного баллона или компенсатора.

В известной нам литературе нет сведений о каких-либо теоретических или экспериментальных исследованиях по определению зависимости силы и глубины действия пульсации от физико-механических свойств промывочной жидкости, размеров скважины, бурильной колонны и параметров пульсации.

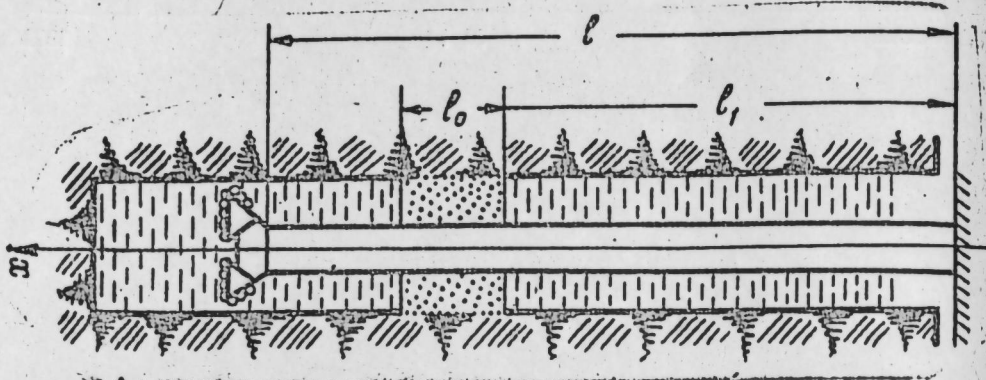
В данной работе приводится решение задачи по определению вынужденной поверхности силы, действующей на бурильную колонну со стороны пульсирующего потока вязкой жидкости при исследовании вынужденного колебания колонны труб.

Рассматривается случай, когда колонна труб длиной l прихвачена на участке l_0 , отстоящей от устья на расстоянии l_1 (рисунок).

При пуске насоса пульсирующая сила сопротивления промывочной жидкости на внутренней поверхности колонны вызывает в ней вынужденные продольные колебания.

При составлении дифференциального уравнения движения колонны бурильных труб сила прихвата, сосредоточенная в точке $x = l_1$, вводится в него в виде распределенной силы через функции Дирака $(x - l_1)$. Эта сила включается в систему после того, как воздействие от устья доходит до места прихвата. Поэтому в ее выражении дополнительно вводится единичная функция $\delta_0(l_1 - at)$.

В начале пуска насоса сила возмущения пульсирующего потока жидкости охватывает лишь зоны $x-at$ и поэтому в выражении этой силы необходимо ввести единичную функцию $\sigma_0(x-at)$.



При определении величины силы, возникающей в сечениях бурильной колонны, под действием пульсирующего потока жидкости, влиянием других сил, таких как сила сопротивления среды в скважине и внутренним сопротивлением материала колонны труб, пренебрегаем.

Учитывая, что при спуске длинных колонн жесткость талевой системы $E/F/L$ (где E —модуль упругости; F —поперечное сечение; L —длина системы) гораздо больше, чем продольная жесткость колонны труб, верхний конец колонны принимаем защемленным, а нижний конец—подвешенным. Поэтому по отношению к статическому положению равновесия считаем, что усилие в нижнем сечении отсутствует.

При этом дифференциальное уравнение движения колонны труб и соответствующие начальные и граничные условия будут:

$$\frac{\partial^2 u}{\partial t^2} = a^2 \frac{\partial^2 u}{\partial x^2} - F_1 \sigma_0(x-at) - \frac{g}{q} F_n \delta(x-l_1) \sigma_0(l_1-at) \quad (1)$$

$$u|_{x=0} = 0; \quad \frac{\partial u}{\partial x}|_{x=l} = 0, \quad (2)$$

где a —скорость распространения звука в металле; $u(x, t)$ —продольное смещение бурильной колонны; l —длина бурильной колонны; l_1 —расстояние прихваченного участка колонны от поверхности; q —вес одного погонного метра трубы; $\delta(x)$ —единичная функция Дирака; F_n —сила прихвата; F_1 —величина, определяемая через поверхностную силу F' , действующую на колонну труб пульсирующим потоком промывочной жидкости; R —радиус трубы; r —текущий радиус.

$$F_1 = \frac{2\pi R g}{q} F'. \quad (3)$$

где

$$F' = -\mu \frac{\partial W}{\partial r} \Big|_{r=R} \quad (4)$$

μ —коэффициент абсолютной вязкости промывочной жидкости; W —скорость пульсирующей жидкости.

При перекачивании пульсирующей жидкости производительность насосов, вследствие снятия части нагнетательных клапанов резко уменьшается. Расчеты показывают, что в этом случае, в основном, движение вязко-пластической жидкости происходит при структурном режиме. Для упрощения задачи принимается, что движение пульсирующей вязкой жидкости происходит при ламинарном режиме.

Пульсирующее ламинарное движение вязкой жидкости в цилиндрической трубе круглого сечения исследовано в работе [1]. Подставляя значение W из [1] в (4) получим

$$F_1 = B^* \cos \omega t - C^* \sin \omega t,$$

где

$$B^* = -\frac{2\pi R g}{q} A \sqrt{\frac{\mu p}{\omega}} \times \\ \times \left[\frac{\operatorname{ber}\left(R \sqrt{\frac{\omega p}{\mu}}\right) \operatorname{ber}'\left(R \sqrt{\frac{\omega p}{\mu}}\right) - \operatorname{ber}\left(R \sqrt{\frac{\omega p}{\mu}}\right) \operatorname{bei}\left(R \sqrt{\frac{\omega p}{\mu}}\right)}{\operatorname{ber}^2\left(R \sqrt{\frac{\omega p}{\mu}}\right) + \operatorname{bei}^2\left(R \sqrt{\frac{\omega p}{\mu}}\right)} \right] \\ C^* = \frac{2\pi R g}{q} A \sqrt{\frac{\mu p}{\omega}} \times \\ \times \left[\frac{\operatorname{ber}\left(R \sqrt{\frac{\omega p}{\mu}}\right) \operatorname{ber}'\left(R \sqrt{\frac{\omega p}{\mu}}\right) + \operatorname{ber}\left(R \sqrt{\frac{\omega p}{\mu}}\right) \operatorname{ber}'\left(R \sqrt{\frac{\omega p}{\mu}}\right)}{\operatorname{ber}^2\left(R \sqrt{\frac{\omega p}{\mu}}\right) + \operatorname{bei}^2\left(R \sqrt{\frac{\omega p}{\mu}}\right)} \right]$$

A —амплитуда изменения перепада давления; ω —частота колебания; t —время; v —кинематическая вязкость $v = \frac{\mu}{p}$; $\operatorname{ber}(x)$ и $\operatorname{bei}(x)$ —действительные функции Кельвина;

Подставив F_1 в (1) и заменив $\frac{g}{q} F_n$ на F'_n , переходим к решению уравнения (1) применением двойного преобразования Карсона—Хевисайда [2].

Умножив уравнение (1) на $P e^{-Pt} dt$ и проинтегрировав от t от 0 до ∞ получим:

$$P^2 \bar{u} = a^2 \frac{d^2 \bar{u}}{dx^2} - \left(\frac{B^* P^2}{P^2 + \omega^2} e^{-\frac{x}{a} P} - \frac{C^* P \omega}{P^2 + \omega^2} e^{-\frac{x}{a} P} \right) - \\ - F'_n \delta(x - l_1) e^{-\frac{l_1}{a} P}, \quad (6)$$

где:

$$\bar{u} = P \int_0^\infty e^{-Pt} u(x, t) dt$$

Умножив обе части уравнения (6) на $s e^{-sx} dx$ и интегрируя в пределах от 0 до ∞ и приняв

$$u = s \int_0^\infty e^{-sx} u(x, P) dx,$$

получим

$$P^2 u = a^2 S^2 u - C_1 s a^2 - \frac{B^* P^2 - \omega P C^*}{(P^2 + \omega^2) \left(s + \frac{P}{a}\right)} - F'_n s e^{-\left(s + \frac{P}{a}\right) l_1}, \quad (7)$$

где:

$$C_1 = u'(0, P)$$

Из уравнения (7) находим:

$$u = \frac{C_1 a^2 s}{a^2 s^2 - P^2} + \frac{B^* P^2 - \omega PC^*}{P^2 + \omega^2} \frac{s}{\left(s + \frac{P}{a}\right)(a^2 s^2 - P^2)} + \\ + \frac{F_n' s e^{-\left(s + \frac{P}{a}\right)l_1}}{a^2 s^2 - P^2} \quad (8)$$

По теоремам о дифференцировании оригиналов имеем:

$$su \rightarrow \frac{d\bar{u}}{dx} \quad (9)$$

Из (8) с учетом (9) получим выражение для изображения

$$\sigma = E \frac{d\bar{u}}{dx} + \left[\frac{C_1 a^2 s^2}{a^2 s^2 - P^2} + \frac{B^* P^2 - \omega PC^*}{P^2 + \omega^2} \times \right. \\ \left. \times \frac{s^2}{\left(s + \frac{P}{a}\right)(a^2 s^2 - P^2)} + \frac{F_n' s^2 e^{-\left(s + \frac{P}{a}\right)l_1}}{a^2 s^2 - P^2} \right] E \quad (10)$$

Переходя от изображения к оригиналу по x и пользуясь условием

$$\frac{d\bar{u}}{dx} \Big|_{x=1} = 0 \text{ получим}$$

$$\frac{\bar{\sigma}}{E} = C_1 \operatorname{ch} \frac{P}{a} x + \frac{B^* P^2 - \omega PC^*}{P^2 + \omega^2} \frac{1}{2a^2} \left(\frac{a}{2P} \operatorname{sh} \frac{P}{a} x + \frac{x}{2} e^{-\frac{x}{a}P} \right) + \\ + \frac{F_n'}{a^2} \operatorname{ch} \frac{P}{a} (x - l_1) e^{-\frac{P}{a}l_1} \sigma_0(x - l_1) \quad (11)$$

$$\frac{\bar{\sigma}}{E} = \frac{1}{2a^2} \frac{B^* P - \omega PC^*}{P^2 + \omega^2} \left[\frac{a}{P} \frac{\operatorname{sh} \frac{P}{a} (x - l)}{\operatorname{ch} \frac{P}{a} l} + \right. \\ \left. + xe^{-\frac{x}{a}P} + \frac{\operatorname{ch} \frac{P}{a} x}{\operatorname{ch} \frac{P}{a} l} l^{-\frac{1}{a}P} \right] + \frac{F_n'}{a^2} \left[\operatorname{ch} \frac{P}{a} (x - l_1) \sigma_0(x - l_1) - \right. \\ \left. - \frac{\operatorname{ch} \frac{P}{a} (e - l_1) \operatorname{ch} \frac{P}{a} x}{\operatorname{ch} \frac{P}{a} l} e^{-\frac{l_1}{a}P} \right] \quad (12)$$

Оригинал выражения (12) имеет вид:

$$\frac{\sigma}{E} = \frac{B^*}{l} \sum_{n=1}^{\infty} \frac{(-1)^{n-1} \sin \frac{\pi(2n-1)x-l}{2l}}{\left(n-\frac{1}{2}\right) \frac{\pi^2 a^2}{l^2} - \omega^2} \sin \left[\frac{\pi a(2n-1)}{2l} + \omega \right] t \times \\ \times \sin \left[\frac{\pi a(2n-1)}{2l} + \omega \right] t + \frac{\omega c^*}{\pi a} \sum_{n=1}^{\infty} \frac{(-1)^n \sin \frac{\pi(2n-1)(x-l)}{2l}}{\left[\left(n-\frac{1}{2}\right)^2 \frac{\pi^2 a^2}{a^2} - \omega^2\right]} \times$$

$$+ \frac{\sin \frac{\pi a(2n-1)}{2l} t}{\left(n-\frac{1}{2}\right)} - \frac{c}{l} \sum_{n=1}^{\infty} \frac{(-1)^{n-1} \sin \frac{\pi(2n-1)}{2l} (x-l)}{\left(n-\frac{1}{2}\right)^2 \frac{\pi^2 a^2}{l^2} - \omega^2} + \\ + \frac{B^* x}{2a^2} \cos \omega \left(t - \frac{x}{a} \right) \sigma_0 \left(t - \frac{x}{a} \right) - \frac{c^* x}{2a^2} \sin \omega \left(t - \frac{x}{a} \right) \sigma_0 \left(t - \frac{x}{a} \right) + \\ + \frac{B^* l}{2a^2} \left\{ \cos \omega \left(t - \frac{l}{a} \right) \left[1 + \frac{2}{\pi} \sum_{n=1}^{\infty} \frac{(-1)^n}{n-\frac{1}{2}} \cos \frac{\pi(2n-1)}{2l} x \times \right. \right. \\ \left. \times \cos \frac{\pi(2n-1)}{2l} \left(t - \frac{l}{a} \right) \right] \left\{ \sigma_0 \left(t - \frac{l}{a} \right) - \frac{c^* l}{2a^2} \left\{ \sin \omega \left(t - \frac{l}{a} \right) \times \right. \right. \\ \left. \times \left[1 + \frac{2}{\pi} \sum_{n=1}^{\infty} \frac{(-1)^n}{n-\frac{1}{2}} \cos \frac{\pi(2n-1)}{2l} x \cos \frac{\pi a(2n-1)}{2l} \left(t - \frac{l}{a} \right) \right] \right\} \times \\ \left. \times \sigma_0 \left(t - \frac{l}{a} \right) + \frac{F_n'}{2a^2} \left[\sigma_0 \left(t - \frac{2l_1-x}{a} \right) + \sigma_0 \left(t - \frac{x}{a} \right) \right] \sigma_0(x - l_1) - \right. \\ \left. - \frac{F_n'}{2a^2} \left[1 + \frac{2}{\pi} \sum_{n=1}^{\infty} \frac{(-1)^n \cos \frac{\pi(2n-1)}{2l} x \cos \frac{\pi a(2n-1)}{2l} \left(t - \frac{2l_1-l}{a} \right)}{n-\frac{1}{2}} \times \right. \right. \\ \left. \left. \times \sigma_0 \left(t - \frac{2l_1-l}{a} \right) - \frac{F_n'}{2a^2} \left[1 + \frac{2}{\pi} \sum_{n=1}^{\infty} \frac{(-1)^n}{n-\frac{1}{2}} \cos \frac{\pi(2n-1)}{2l} x \times \right. \right. \right. \\ \left. \left. \left. \times \cos \frac{\pi a(2n-1)}{2l} \left(t - \frac{l}{a} \right) \right] \sigma_0 \left(t - \frac{l}{a} \right) \right] \quad (13)$$

При $x = l_1$ получим значение усилий, подведенной к прихваченной части колонны труб в виде:

$$S = \sigma(l, t)F$$

Полученные результаты позволяют в некоторой степени количественно оценить величину усилий, вызываемых потоком пульсирующей промывочной жидкости в зоне прихвата колонны труб.

ЛИТЕРАТУРА

- Лойцянский Л. Г. Механика жидкости и газа. М., 1959. 2. Лурье А. И. Операционное исчисление и его приложение к задачам механики. М., 1950.

Институт нефти и химии
им. М. Азизбекова

Поступило 10. V. 1973

Тутулмуш газыма бору кәмәринин пулсасијалы өзлү маје
ахыныны тә'сири илә мәчбури рәгси

ХҮЛАСӘ

Мәгаләдә пулсасија едән маје тә'сириндән тутулмуш газыма кәмәринин мәчбури рәгси тәдгиг олунмушадур. Мәсәлә Дирак функциясының тәтбиги илә сағтәрәфли һиперболик типли дифференциал тәнлијин һәллине җәтирилир. Тәнлијин һәлли операсија үсулу илә апарылыш вә нәтичәдә бору кәмәринде յаранан гүввәләрин аналитик ифадәси алынышдыр.

Z. C. Kerimov, Ph. A. Shikhaliev, K. A. Kuliev, I. I. Aliev

The stuck string of drilling forced oscillation under the influence of the surging current of viscous fluid

SUMMARY

The results of research of the forced oscillation being under the influence of the surging current of viscous fluid are given in this article.

The task with the application of the Durak function is reduced to the solution of the hyperbolical differential equation. The equation is resolved by the operation method and as a result the analytical expression was received for the determination forces being in the string.

УДК 546.47—356+546.56—386

НЕОРГАНИЧЕСКАЯ ХИМИЯ

Р. Я. АЛИЕВ, М. Н. ГУСЕЙНОВ

КОМПЛЕКСНЫЕ СОЕДИНЕНИЯ ЦИНКА С ГИДРАЗИНОМ

(Представлено академиком АН Азербайджанской ССР С. Д. Мехтиевым)

В литературе имеются достаточные сведения о получении гидразиновых комплексных соединений платины и некоторых других цветных металлов [1—7]. Однако комплексные соединения цинка с гидразином весьма мало изучены. Необходимо отметить, что описанные соединения, за исключением платиновых и палладиевых, аморфны и часто загрязнены основными солями или гидратами окислов, на что еще указывали Куртиус и Шредер [4]. Комплексные соединения цинка с гидразином в кристаллическом виде получаются в нейтральных или слабокислых средах. Первые результаты опубликованы нами ранее [8—11], настоящая же работа является продолжением их. В данной работе излагаются результаты, касающиеся синтеза и установления состава некоторых новых гидразиновых комплексных соединений цинка и их физико-химических свойств.

Для получения новых гидразиновых соединений цинка в кристаллическом виде без примесей основных солей или гидратов окислов мы в некоторых опытах вместо гидразингидрата брали рассчитанное количество солей гидразина, обладающих менее резкими восстановительными свойствами. Учитывая плохую растворимость сульфат-гидразина в воде, по сравнению с другими простыми его солями, при использовании таких растворов необходимо предварительно добавить 1 мл серной кислоты к 10 мл данного раствора для того, чтобы повысить кислотность среды.

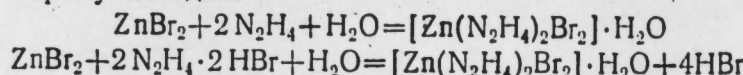
Экспериментальная часть

Для получения комплексных соединений цинка с гидразином строго определенного состава нами использованы три метода. По первому методу к насыщенному раствору соли цинка прибавляли по каплям при непрерывном перемешивании гидразингидрат до появления незначительной взвеси основных солей. Осадок отфильтровывали и фильтрат оставляли для кристаллизации в эксикаторе над хлористым кальцием при комнатной температуре. По второму методу сливали насыщенные растворы соответствующих солей цинка и гидразина, взятых в соотношении 1:2 и смесь оставляли для кристаллизации.

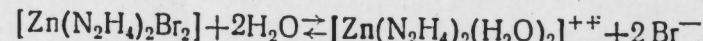
По третьему методу к насыщенным растворам солей цинка добавляли в избыток гидразингидрат.

Образующиеся вещества отфильтровывали, промывали спиртом и эфиром и высушивали при 40—45°C. Выход продуктов по первому и второму методам, зависит от степени удаления воды при кристаллизации. Составы полученных комплексных соединений определены на основе результатов элементарного химического анализа. Азот и водород определяли микрометодом [12], цинк — прокаливанием до окиси цинка [13]. Плотность синтезированных соединений определяли пикнометрически в бензоле при 20°C [14]. Синтезированные нами вещества изучены по отношению к воде, органическим растворителям и минеральным кислотам.

Дигидразиндибромоциникат $[Zn(N_2H_4)_2Br_2] \cdot H_2O$ получали по первому и второму методам:



Вещество образуется в виде ромбических мелких кристаллов желтого цвета, не растворимых в бензоле и ацетоне, но растворимых в 2 и минеральных кислотах, $d^{20} = 3,1452 \text{ г/см}^3$. При прибавлении к раствору комплексной соли $AgNO_3$, осадок $AgBr$ выпадает не сразу, а лишь постепенно, по мере медленно протекающего выделения бромид-иона из внутренней сферы. От действия на полученный комплекс сероводорода характерный для сульфида цинка белый осадок практически не образуется. Это говорит о том, что связь $Zn-N_2H_4$ обладает значительной прочностью, но в воде комплексное соединение частично диссоциирует по схеме:

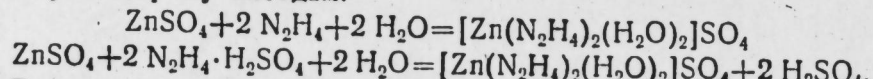


Выход — 81% от теории.

Найдено, %: Zn — 21, 03; 20, 96; 20, 98. N — 18, 01; 17, 96, 18, 03.
H — 3,03; 3,05; 3,09.

Для $[Zn(N_2H_4)_2Br_2] \cdot H_2O$ вычислено, %: Zn — 21,27; N — 18,23; H — 3,27
Мол. масса — 307, 284.

Диакводигидразинцинксульфат $[Zn(N_2H_4)_2(H_2O)_2]SO_4$ получали по первому и второму методам:



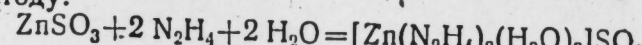
Вещество получается в виде квадратных кристаллов белого цвета. В воде вещество растворяется плохо, в спиртах не растворяется, $d^{20} = 2,0148 \text{ г/см}^3$. Из раствора вещества хлорид бария осаждает сульфат бария. Образование сульфида цинка от действия сероводорода происходит только в кислой среде.

Выход — 78% от теории.

Найдено, %: Zn — 24,73; 24,66; 24,68; N — 21,16; 21,18; 21,22.
H — 4,38; 4,44; 4,42.

Для $[Zn(N_2H_4)_2(H_2O)_2]SO_4$ вычислено, %: Zn — 24,99; N — 21,42; H — 4,62.
Мол. масса — 261, 553.

Диакводигидразинцинксульфит $[Zn(N_2H_4)_2(H_2O)_2]SO_3$ получали по первому методу:



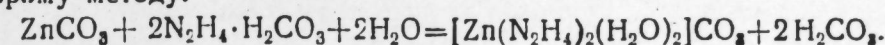
Вещество выделяется из раствора в виде гексагональных объемистых кристаллов белого цвета, не растворимых в бензоле, но растворимых в минеральных кислотах, $d^{20} = 2,0082 \text{ г/см}^3$. Из раствора комплексной соли хлорид бария осаждает сульфит бария, а сероводород сульфид цинка не осаждает.

Выход — 76% от теории.

Найдено, %: Zn — 26,31; 26,35; 26,29. N — 22; 58; 22,61; 22,65.
H — 4,69; 4,76; 4,72.

Для $[Zn(N_2H_4)_2(H_2O)_2]SO_3$ вычислено, %: Zn — 26,62; N — 22,82;
H — 4,93.
Мол. масса — 245, 553.

Диакводигидразинцинкарбонат $[Zn(N_2H_4)_2(H_2O)_2]CO_3$ получали по второму методу:

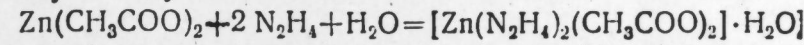


Вещество образуется в виде гексагональных мелких кристаллов белого цвета, $d^{20} = 2,6376 \text{ г/см}^3$. Из раствора вещества хлорид бария осаждает углекислый барий.

Выход — 79% от теории.
Найдено, %: Zn — 28,72; 28,66; 28,68. N — 24,18; 24,26; 24,21.
H — 5,06; 5,09; 5,14.

Для $[Zn(N_2H_4)_2(H_2O)_2]CO_3$ вычислено, %: Zn — 28,99; N — 24,49;
H — 5,36.
Мол. масса — 225, 05.

Дигидразиндикацетатоцинкат $[Zn(N_2H_4)_2(CH_3COO)_2] \cdot H_2O$ получали по первому методу:



Вещество получается в виде прозрачных бесцветных призматических кристаллов, $d^{20} = 1,2532 \text{ г/см}^3$. При действии хлорного железа на комплексное соединение характерный для ацетат-иона темно-красный цвет практически не получается.

Выход — 83% от теории.
Найдено, %: Zn — 24,31; 24,29; 24,35. N — 20,82; 20,88; 20,86.
H — 5,81; 5,83; 5,87.

Для $[Zn(N_2H_4)_2(CH_3COO)_2] \cdot H_2O$ вычислено, %: Zn — 24,62; N — 21,1; H — 6,07.
Мол. масса — 265, 566.

Вещества, полученные по третьему методу были аморфны и имели неопределенный состав.

Выводы

1. Разработана методика получения комплексных соединений цинка с гидразином.

2. Синтезированы пять ранее неописанных гидразиновых комплексных соединений цинка и изучены их некоторые свойства.

ЛИТЕРАТУРА

1. Чугаев Л. А., Сканави-Григорьева М. С. Изв. Института по изучению платины, № 1, 14, 1920. 2. Горемыкин В. И. Докт. дисс., М., 1942.
3. Ключников Н. Г., Пара Ф. И. Ж. неорганической химии, 13, 792, 1968.
4. Curtius T., Schräder F. J. prakt. Chem., 50, 311, 1894. 5. Franzen H. O. Mayer. Z. anorg. Chem., 60, 247, 1908. 6. Шаров В. А., Никоненко Е. А., Крылов Е. И. Ж. неорганической химии, 13, 1823, 1968. 7. Гогоришивили П. В., Харитонов Ю. Я., Мачкошивили М. В. Ж. неорганической химии, 14, 2891, 1969. 8. Алиев Р. Я., Гусейнов М. Н. Материалы научной теоретической сессии АПИ им. В. И. Ленина, Баку, 304, 1970. 9. Абдуллаев Г. К., Алиев Р. Я., Гусейнов М. Н. Ж. структурной химии, 11, 935, 1970. 10. Алиев Р. Я., Гусейнов М. Н. Ключников Н. Г. Ж. неорганической химии, 16, 1079, 1971.
11. Алиев Р. Я., Гусейнов М. Н., Куллев А. Д. Материалы научной сессии АПИ им. В. И. Ленина, Баку, 110, 1971. 12. Нидерль Дж., Нидерль В. Микротехники количественного органического анализа. М.-Л., Гостехиздат, 73, 1949.

Р. Я. Элиев, М. Н. Һүсейнов

Синкин һидразинлә комплекс бирләшмәләри

ХУЛАСӘ

Синкин һидразинлә кристал һалында комплекс бирләшмәләриниң нејтрал вә ја зәиф турш мүһитдә алмаг мүмкүндүр. Мүәллифләр үч үсулдан истифадә етмәклә синкин һидразинлә мүәյҗән тәркибә малик беш јени комплекс бирләшмәсини алмыш вә онларын бә'зи хассәләрниң өјрәнишишdir. Мүәйҗән едишлишишdir ки, синтез олунмуш бирләшмәләр бәрк һалда отаг температуруда давамлы олууб, неч бир дәнишиклијә уғрамыр.

R. Y. Aliev, M. N. Huseynov.

Complex construction of zinc with hydrozin

SUMMARY

It is possible to gain the complex composition of zinc with hydrozin in crystal form in negative or in a weak acidic atmosphere (range). The author used three methods. They found five new definite compositions of this and learned some characters of them.

They came into conclusion that the compositions in a firm from, was synthesized in a room temperature is densitable and there is no change in it.

УДК 661.7

НЕФТЕХИМИЧЕСКИЙ СИНТЕЗ

Чл.-корр. Т. Н. ШАХТАХТИНСКИЙ, С. А. АЛИЕВА,
Х. И. САДЫХОВА, С. А. КУЛИЕВА

ПОЛУЧЕНИЕ ДИНИТРИЛА ХЛОРМАЛЕИНОВОЙ КИСЛОТЫ ОКИСЛИТЕЛЬНЫМ АММОНОЛИЗОМ ХЛОРПРЕНА В ПСЕВДООЖИЖЕННОМ СЛОЕ КАТАЛИЗАТОРА

Исследования по изучению процесса окислительного аммонолиза хлорпрена проводились на лабораторной установке проточного типа. Методика экспериментирования заключалась в следующем. Катализатор нагревался до температуры опыта в небольшом токе воздуха. После достижения температуры опыта приступали к подаче заданного количества воздуха и аммиака, предварительно подогретых в смесителе.

Пары хлорпрена подавались в смеситель, где смешивались с нагретым воздухом и аммиаком. Образовавшиеся продукты реакции с температурой не ниже 200°C поступали в водные поглотители. Здесь конденсировалась основная часть продуктов и избыток аммиака в виде NH₄Cl. Дальше контактные газы проходили через серно-кислотный поглотитель для поглощения избытка аммиака и после осушительных склянок в эмевиновый холодильник для улавливания большей части получаемых альдегидов.

Из эмевинка несконденсированные газы через газовые часы выбрасывались в атмосферу. Часть продуктов реакции, получаемых в процессе аммонолиза, отличалась хорошей растворимостью в воде и содержала хлористый аммоний, нитрилы, динитрилы, а также следы альдегидов. В водном растворе жидких продуктов реакции определялась сумма нитрилов по методике, основанной на реакции нитрилов с щелочной перекисью водорода. Содержание динитрила хлормалеиновой кислоты определялось титрованием сухого остатка, полученного после выпаривания рабочего раствора. Наличие хлора в сухом остатке было установлено осаждением в виде галоидного серебра 1%-ным раствором азотно-кислого серебра в этаноле. Анализ продуктов из эмевинка, погруженного в сухой лед, содержащих муравьиный, уксусный, пропионовый альдегиды, акролени и непрореагировавший хлорпрен, производился на хроматографе „Цвет“ методом газожидкостной хроматографии.

Обсуждение результатов

В табл. 1 приведены экспериментальные данные по изучению влияния температуры на выход продуктов аммонолиза хлорпрена. С повышением температуры выход основного продукта динитрила хлор-

малеиновой кислоты возрастал, достигая максимума при 460°C, выше которой выход динитрила значительно падал. Повышение выхода динитрила сопровождалось понижением выхода альдегидов. Уже при 400°C начинала образовываться CO₂, затем выход ее вплоть до 480°C относительно равномерно возрастал. Повышение температуры приводит к повышению производительности катализатора по динитрилу хлормалеиновой кислоты, достигая максимума при 460°C, равного 67 г с 1 л катализатора в час. Начиная с 480°C увеличивается степень деструктивных превращений исходного сырья и образовавшихся продуктов реакции, на что указывает резкий рост выхода двуокиси углерода.

Таблица 1
Влияние температуры на выход продуктов реакции
время контакта—0,4 сек., соотношение хлорпрен: NH₃:O₂=1:3:2

Температура	Выход на хлорпрен, вес. %							
	Динитрил		CO ₂	карб. соедин.	сумма мононитрилов	Конверсия	Содержание динитрила в жидк. продукт. реакции, вес. %	Производит. катализат., г/л кат. ч
	на про- пущен.	на про- реагир.						
400	4,8	11,2	2,4	3,6	2,4	43,0	44,4	26,4
420	7,2	14,1	5,9	2,4	5,9	51,2	46,4	40,0
440	8,3	15,8	9,5	2,4	8,3	52,5	43,6	46,6
460	11,9	21,8	11,9	1,2	11,9	55,0	47,6	67,0
480	9,6	13,7	14,3	1,2	9,5	70,0	47,2	53,3

Зависимость выхода продуктов от соотношения хлорпрен: аммиак в интервале 1:2,0—1:11,1 молей представлена в табл. 2. Увеличение концентрации аммиака в сырьевой смеси от 2 до 9,6 молей на 1 моль хлорпрена повышает выход динитрила до 51,5% вес. на прореагировавший хлорпрен. Дальнейшее увеличение молей аммиака снижает выход целевого продукта, т. к. понижается степень окисления хлорпрена, что подтверждается снижением конверсии хлорпрена и уменьшением выходов двуокиси углерода, непрореагировавшего кислорода и карбонильных соединений.

Таблица 2
Влияние соотношения NH₃:хлорпрен на выход продуктов реакции
время контакта—0,4 сек., соотношение хлорпрен: NH₃:O₂=1:X:4,5, температура—460°C

Соотноше- ние ХП:NH ₃ :O ₂	Выход на хлорпрен, вес. %							
	Динитрил		CO ₂	Карб. соедин.	Сумма моно- нитрил	Кон- вер- сия	Содер- жание динитрила в жидких прод. реа- кции, вес. %	Произ- вод. кат. -ра, г/л кат. ч
	на про- пущен.	на про- реагир.						
1:2:4,5	20,2	25,0	22,6	3,6	10,7	81,0	58,5	111,0
1:3,6:4,5	22,6	34,0	20,3	4,7	13,1	66,5	55,9	124,0
1:5,0:4,5	23,9	43,5	15,5	6,0	14,2	55,0	54,1	131,5
1:6,7:4,5	21,4	46,0	9,6	4,7	11,9	46,5	56,3	118,0
1:9,6:4,5	17,2	51,5	7,2	3,6	8,0	33,4	59,7	94,0
1:11,1:4,5	8,3	36,6	4,8	2,4	6,0	22,6	49,7	45,5

Влияние содержания кислорода на выход продуктов реакции было установлено при соотношении хлорпрен: кислород от 1:2 до 1:7,2 молей. Увеличение концентрации кислорода от 2 до 5,1 молей

на 1 моль хлорпрена повышает выход динитрила от ~18 до 25% вес. на пропущенный хлорпрен, одновременно снижая выход от 55% вес. до 44% вес. на прореагировавший хлорпрен. Увеличение концентрации молей O₂ увеличивает конверсию хлорпрена от 32 до 82%. Производительность катализатора по динитрилу хлормалеиновой кислоты при этом растет от 98 до 133 г с 1 л катализатора в 1 ч. Полученные данные приведены в табл. 3.

Таблица 3
Влияние соотношения хлорпрен: O₂ на выход продуктов реакции
время контакта—0,4 сек., соотношение хлорпрен: NH₃:O₂=1:5:X, температура—460°C

Соотношение ХП:NH ₃ :O ₂	Выход на хлорпрен, вес. %					Содер- жан. динитрила в жидких прод. реа- кции, вес. %	Произ- водит. катали- зат., г/л кат. ч		
	Динитрил		CO ₂	Карб. соед.	Сумма моно- нитрил				
	на про- пущен.	на про- реагир.							
1:5:2	17,8	55,6	8,3	1,2	8,0	32,0	65,9		
1:5:2,7	21,6	53,5	9,5	3,6	10,7	40,5	60,0		
1:5:3,8	23,2	50,0	11,9	6,0	11,9	46,5	56,4		
1:5:4,5	23,9	43,5	15,5	6,0	14,2	55,0	54,1		
1:5:5,1	24,7	44,0	16,5	6,2	15,3	58,0	53,4		
1:5:7,2	19,0	23,2	19,2	3,6	9,5	82,0	59,1		

Влияние времени контакта на выход продуктов аммонолиза хлорпрена изучалось в интервалах 0,2—1 сек. Согласно данным табл. 4, максимальный выход динитрила был получен при 0,6 сек. Повышение времени контакта выше указанного предела приводит к увеличению выхода двуокиси углерода до 33% вес. за счет снижения выхода нитрилов и кислородсодержащих соединений. При этом резко повышается выход хлористого аммония и в контактных газах наблюдается появление непредельных соединений (пропилен, бутылен) и маленинового ангидрида.

Таблица 4
Влияние времени контакта на выходе продуктов реакции
температура—460°C, соотношение хлорпрен: NH₃:O₂=1:5:5,1

Время контакта	Выход на хлорпрен, вес. %					Содер- жан. динитрила в жид- ких про- дуктах реа- кции, вес. %	Произ- вод. кат- ра, г/л кат. ч		
	Динитрил		CO ₂	Карбон. соедин.	Сумма моно- нитрил				
	на про- пущен.	на про- реагиров.							
0,2	17,1	42,7	10,2	8,0	12,9	40,0	45,0		
0,4	24,7	44,0	16,5	6,2	15,3	58,0	53,4		
0,6	25,3	45,1	17,0	6,5	16,0	62,0	52,9		
0,8	21,4	33,2	23,8	4,8	14,2	64,3	140,0		
1,0	16,7	21,9	33,4	3,6	13,1	76,2	118,0		

Таким образом, в результате проведенного исследования разработан в лабораторных масштабах процесс окислительного аммонолиза хлорпрена с целью получения нитрилов и динитрилов хлормалеиновой кислоты.

Установлены оптимальные условия процесса, характеризующие следующими параметрами.

Температура—460°C, соотношение хлорпрен:аммиак=1:5 (мольное), исходя из максимальной производительности катализатора, равной 131,5 г/л кат. ч., соотношение хлорпрен:кислород 1:5,1 (мольное), исходя из максимальной производительности катализатора, равной 133,0 г/л кат. ч и довольно большому выходу динитрила, равному 44% вес. на прореагировавший хлорпрен; время контакта—0,6 сек.

При работе на указанном оптимальном режиме удается получить динитрил хлормалениновой кислоты с выходом 24,7% (вес.) на пропущенный и 44% (вес.) на прореагировавший хлорпрен.

ИНХП им. Мамедалиева

Поступило 29. III 1972

С. Э. Элиева, Т. Н. Шахтахтински, Х. И. Садыхова,
С. Э. Гулиева

Катализаторун гајнар лајында хлорпренин оксидләшмә
аммоолизиндән хлормаленин туршусу динитрилиниң
алынмасы просеси

ХУЛАСЭ

Лабораторија шәрантиндә нитрилләр вә хлормаленин туршусу динитрилиниң алымасы хлорпренин оксидләшдиричи аммоолизи просеси әсасында тәдгіг едилмишdir.

Просесин оптимал шәрапити өјәнелмеш вә ашағыдақы параметрләре характеристика едилмишdir. Беләликлә, температур—460°C; илкин маддәләрин инсбәти: $C_4H_5Cl : O_2 : NH_3 = 1:5.1:5.0$; көрүшмә мүддәти—0,6 санијәдир. Көстәрилән шәрапитдә катализаторун мәһсүлдарлығы 133 г/л-сааттыр.

Хлормаленин туршусу динитрилиниң реаксија кирән хлорпренә көрә чыхымы чәки несабы илә 44%-дир.

S. A. Alieva, T. N. Shakhtaktinskiy, Kh. I. Sadykova,
S. A. Kulieva

Preparation of Dinitrile Chloromaleic Acid
by Ammonoxidation of Chloroprene in a Fluidized Bed.

SUMMARY

The preparation of dinitrile chloromaleic acid by ammonoxidation of chloroprene on a laboratory scale has been discussed. It is shown that at 460°C, the mole ratio chloroprene:ammonia of 1:5, chloroprene-to-oxygen mole ratio of 1:5.1 and the contact time of 0.6 sec., dinitrile chloromaleic acid can be obtained with a yield of 24.7 wt. % based on chloroprene used and 44 wt. % based on chloroprene reacted. The suggestions are confirmed by a number of experimental data.

АЗЭРБАЙЧАН ССР ЕЛМЛӘР АКАДЕМИЈАСЫНЫН МӘРҮЗӘЛӘРИ

ДОКЛАДЫ АКАДЕМИИ НАУК АЗЕРБАЙДЖАНСКОЙ ССР

том XXX

№ 1

1974

УДК 551. 24

ГЕОЛОГИЯ НЕФТИ И ГАЗА

К. М. КЕРИМОВ, А. В. МАМЕДОВ

ГЛУБИНА И УСЛОВИЯ ЗАЛЕГАНИЯ МЕЗОЗОЙСКИХ
ОТЛОЖЕНИЙ В ВОСТОЧНОЙ ЧАСТИ
КУРИНСКОЙ ВЛАДИНЫ

(Представлено академиком АН Азербайджанской ССР Ш. Ф. Мехтиевым)

В последние годы в связи с получением на ряде площадей в Куринской впадине притоков нефти и газа из мезозойских отложений и установлением связи корней большинства грязевых вулканов [3, 8] значительно возрос интерес к поискам залежей нефти и газа в мезозойских отложениях в этой крупной межгорной впадине Кавказа.

В связи с этим возникла необходимость выяснения глубин и условий залегания здесь мезозойских отложений.

В настоящее время в этом отношении более или менее хорошо изучены зона юго-западного борта и центральная часть впадины [1, 5, 7], а другие районы, в том числе обширная и наиболее перспективная в нефтегазоносном отношении восточная часть ее еще не затронута подобными исследованиями.

Данная статья является первой попыткой, предпринятой в этом направлении для восточной части Куринской впадины. При этом авторами был собран и проанализирован весь имеющийся фактический геолого-геофизический материал и главным образом данные гравиразведки, так как последние отличаются наибольшей полнотой и охватывают всю территорию рассматриваемой области. Для определения по ним гипсометрического положения поверхности мезозоя в отдельных пунктах области была использована кривая зависимости глубины залегания этой поверхности (слоя высокой плотности) от наблюденных значений силы тяжести, составленная на основании экспериментальных исследований и данных бурения (рис. 1). Полученные при этом данные послужили фактической основой для построения карты рельефа поверхности мезозойских отложений описываемой области (рис. 2). Как видно из этой карты, данная область, именуемая Нижнекуринской впадиной, по рельефу поверхности мезозойского комплекса отложений представляет собою глубокоспущененный по разломам блок Куринского мезозойского срединного массива. На юго-востоке он ограничен Западно-Каспийским, а на северо-востоке—Аджичай-Алятским глубинными разломами. Если на противоположных крыльях этих разломов глубина до поверхности мезозоя не превышает 8—9 км, то в районе Нижнекуринской депрессии, заключенной

между этими разломами, она определяется местами в 10–11 и более км. Причем, характерной чертой геологического строения этого района является не только глубокое погружение здесь отложений мезозойского возраста, но и значительно меньшая их дислокированность и структурная расчлененность по сравнению с покровным неоген-четвертичным комплексом отложений.



Рис. 1. Корреляционный график зависимости гравитационного поля от глубины залегания мезозойских отложений; 1—данные глубокого бурения пла. Джарлы; 2—данные ГСЗ, КМПВ и МТЗ.
Составили С. Мамедов, К. Керимов

Мезозойские отложения образуют здесь настоящую платформенную структуру типа синеклизы. Как видно из прилагаемой структурной карты, выделенные синклиналии значительно шире антиклиналей. Причем, последние достаточно пологие, имеют овальные очертания и представляют почти независимые друг от друга элементы, свидетельствуя об отсутствии четкой линейности в их расположении.

В целом по рельефу поверхности мезозойского комплекса отложений в рассматриваемой области намечаются две расходящиеся в юго-восточном направлении зоны поднятий. Первая из них прослеживается в близмеридиональном направлении вдоль нижнего течения современной долины р. Куры и состоит из трех обособленных поднятий, а вторая, состоящая из двух поднятий почти совпадает с Мишводаг-Бяндовской зоной дислокации покровного неоген-четвертичного комплекса отложений. Обе эти зоны поднятий характеризуются примерно одинаковой глубиной залегания кровли мезозоя—8–8,5 км ниже ур. моря. В синклинальном прогибе, отделяющем эти антиклинальные зоны, данная поверхность погружается до 11 км и глубже. Этот глубокий (до 2,5–3 км) мезозойский прогиб почти совпадает с Каргаллинским плиоценовым прогибом и осложнен в центральной части куполовидным поднятием, которому в плиоценовых слоях отвечает основная Курсангинская антиклиналь.

В крайней северной части области по рельефу поверхности мезозоя намечаются еще две синклинальные структуры—Навагинская и Аджикабульская. Первая выражается изогипсами—9–11 км, а вторая—9–9,5 км.

Сопоставление этой картины строения мезозойских отложений с тектоникой покровных образований плисцена показывает их принципиальное сходство; отличаются они лишь в деталях. Так, в мезозойском это же антиклинальные складки сравнительно пологие, имеют более крупные размеры и значительно меньшую пластичность. В некоторых случаях наблюдается и несовпадение в плане зон поднятий сопоставляемых структурных этажей.

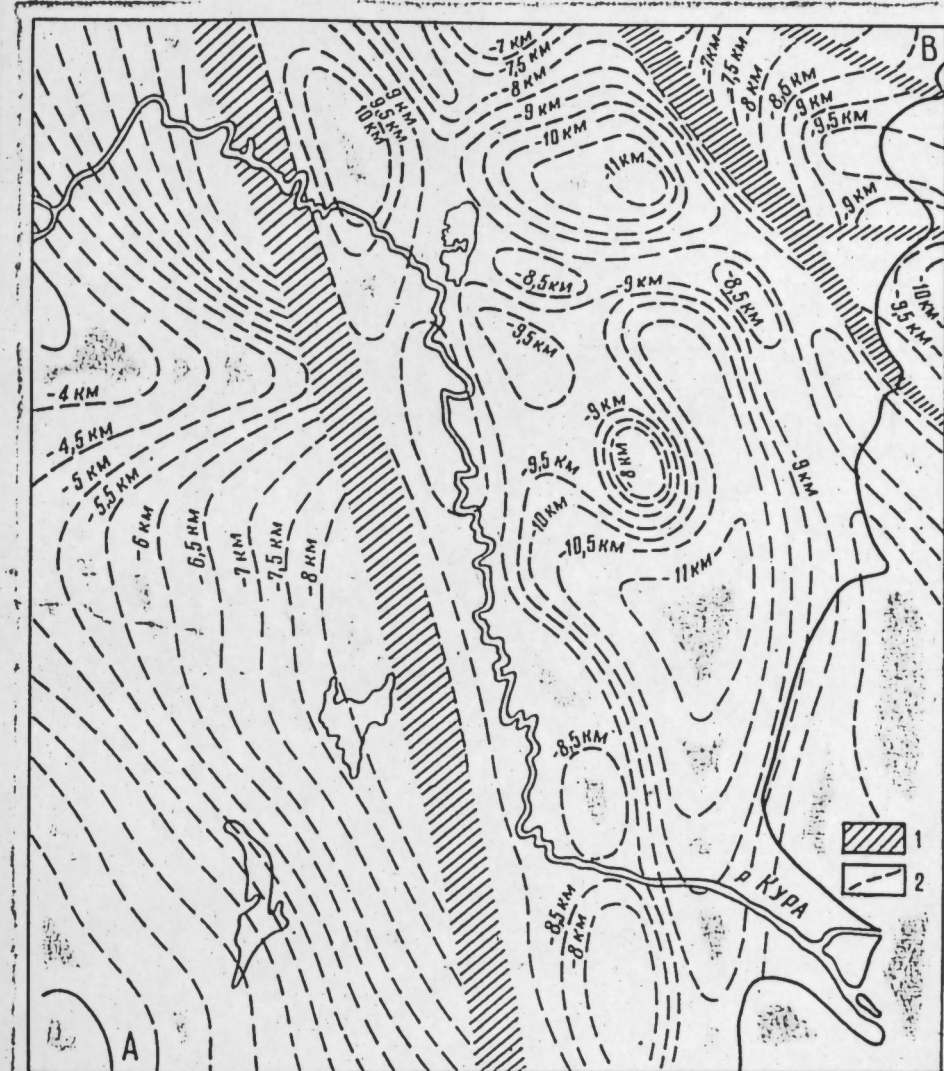


Рис. 2. Схематическая карта рельефа поверхности мезозойского комплекса: 1—зоны прохождения глубинных разломов; 2—линии гравийных значений глубин залегания поверхности мезозойских отложений

Наиболее резкое несоответствие в этом отношении отмечается для Кюровдаг-Нефтечалинской зоны дислокации. В структуре мезозойских отложений смещение этой зоны дислокации по отношению ее положения по поверхности плисцена происходит на запад и составляет примерно 5–6 км..

Итак, выявлено в восточной части Куринской епанды, картина строения мезозойских отложений полностью подтверждает представления В. Е. Ханина, М. В. Муратова [4] и А. В. Мамедова [7] о полого-складчатом характере строения мезозойских отложений в Курин-

ской впадине и субплатформенном режиме развития этой области в мезозое. Это обстоятельство еще раз указывает на перспективность мезозойских отложений указанной впадины для поисков в них залежей нефти и газа.

Дальнейшие исследования в рассматриваемой области должны быть направлены на уточнение и детализацию выявленной нами принципиальной картины строения мезозойских отложений и определение здесь мест заложений первых сверхглубоких (более 7 км) скважин на мезозойскую нефть.

ЛИТЕРАТУРА

1. Ализаде А. А., Ахмедов Г. А. и др. Геология нефтяных и газовых месторождений Азербайджана. Изд-во «Недра», М., 1966.
2. Алиев А. К. Геология и нефтегазоносность Кура-Араксинской области. Азнефтешр, 1960.
3. Алиев Ад. А., Буниатзаде З. А. Грязевые вулканы Прикуриńskiej инзименности. Изд-во «ЭЛМ», Баку, 1969.
4. Атлас литолого-палеогеографических карт Русской платформы и ее геосинклинального обрамления, т. II, 1963.
5. Гаджиев Р. М. Глубинное геологическое строение Азербайджана. Азгосиздат, 1965.
6. Керимов К. М. и др. О природе основного разрыва Алятской гряды. «Геология нефти и газа», № 8, 1968.
7. Мамедов А. В. Геологическое строение и история развития Среднекуринской впадины в связи с нефтегазоносностью. Автореф. докт. дисс: Баку, 1970.
8. Рахманов Р. Р. Связь грязевых вулканов с глубинной тектоникой. АНХ, № 7, 1963.
9. Фараджев А. С., Кахрананов К. К. и др. О применении магнито-теллурических методов разведки для изучения тектоники мезозойских отложений в Азербайджане. Мат-лы научн. техн. конфер. АзНТО НГП, Баку, 1970.
10. К итогам совещания по проблеме нефтегазоносности мезозоя Азербайджана. АНХ, № 5, 1969.
11. Якубов А. А., Ализаде А. А., Зейналов М. М. Атлас грязевых вулканов Азербайджана. Изд-во АН Азерб. ССР, Баку, 1971.

Институт географии

Поступило 14. VIII 1972

К. М. Керимов, Э. В. Мамедов

Күр чөкәклийинин шәрг һиссәсіндә мезозој чөкүнтуләринин јатма дәринлији вә шәранти

ХУЛАСӘ

Мәгәләдә мөвчуд қеофизики тәдгигат материалларының комплекс тәһлили әсасында илк дәфә оларын Күр чөкәклийинин шәрг һиссәсіндә мезозој чөкүнтуләринин јатма дәринлији вә шәранти тәсвир олунур. Алынан нәтичәјә әсасән бурада мезозој чөкүнтуләрі 8—11 км дәринликтә јатыр, неокен 4-чү дәвр чөкүнтуләріндән фәргли оларын зәніп дислокација уғрамыш вә платформа типли гырышылара топланыштыр. Бу ńал дикәр мұсбәт қеоложи әламәтләрлә бирликдә (гоншу вилајетләрдә мезозојн қәсилишинде әһәнкдашы тәркибли коллектор сұхурларын олмасы, бу сұхурларда нефт вә газ әламәтләринин раст көлмәсі вә тәсвир етдијимиз әразидә язылан бә'зи палчыг вулканларының көкүнүн мезозој чөкүнтуләріндә йерләшмәсі) мезозој чөкүнтуләринин бурада нефт-газ ахтарышы вә кәшфијаты үчүн бөյүк әһәмијјет кәсб етдијини көстәрир.

Мезозој нефтинә газылачаг илк дәрин гүјүја әлверишили јер сеч мәк үчүн бурада мезозој чөкүнтуләрі үзәр мүәјжән етдијимиз ики галхма зонасының гурулушу мүкәммәл қеофизики тәдгигатларла дәғигләшдирилмәлидир.

К. М. Керимов, А. В. Мамедов

The depth and condition of bedding of mesozoic deposits in the eastern part of Kur depression

SUMMARY

In this article for the first time on the basis of analysis of complex geological and geophysical materials is taken up the question of depth and condition of bedding of mesozoic deposits in the eastern part of Kur depression.

The authors come to conclusion that the eastern part of Kur depression by relief surface of mesozoic complex deposits present themselves by the breaking block of Kur mesozoic median mass, that the mesozoic deposit bed there at a depth of 8—11 km and in contrast to above—bying calnezoic bedding weakly displaced and gathered into gently platform type of pleat. In the structure of mesozoic bedding is determined by the authors two dispersing in south—eastern directions the zones of rises, being characterized the same deep bedding roof of mesozol; 8—8,5 km below the sea level.

The authors consider necessary detail studying the structure of these zones of rise for the purpose of determination the place of laying super-deep hole in mesozoic oil.

УДК 622.74

ГЕОФИЗИКА

Академик Ш. Н. МАМЕДОВ, Г. Г. МУХТАРОВ, Б. А. ОСИПОВА

**ПРИМЕНЕНИЕ ИМПУЛЬСНОГО СЕЙСМИЧЕСКОГО
МЕТОДА ДЛЯ РЕШЕНИЯ ЗАДАЧ, СВЯЗАННЫХ С
ЗАКРЕПЛЕНИЕМ КРОВЛИ ГОРНЫХ ВЫРАБОТОК
ШТАНГОВОЙ КРЕПЬЮ**

Штанговая крепь, применяемая для поддержания горизонтальных горных выработок, имеет большие преимущества перед другими видами крепи: более экономична, не требует больших усилий при закреплении, эффективна в работе и т. д.

К основным ее недостаткам относится отсутствие надежных методов и средств контроля за состоянием кровли, закрепленных этим видом крепи.

Наблюдения за работой и контролем закрепленных штанг трудно осуществимы, т. к. в этом случае "приходится оценивать не прочностной или иной конструкции крепи обычных видов, а несущую способность системы штанги—порода...", и сталкиваться со сложной проблемой развития деформаций горных пород" ... [1].

Следовательно, проблема исследования деформации горных пород после проведения и закрепления выработки штанговой крепью, не нарушая целостности самого массива, приобретает значение большой важности.

Авторы предложили использовать для этой цели импульсный сейсмический метод (ИСМ), который удовлетворяет пречисленным выше условиям и применяется для решения задач, связанных с проявлением горного давления.

Физические предпосылки для применения ИСМ. Импульсный сейсмический метод [2] основан на зависимости "сейсмических" характеристик горных пород—скорости распространения упругих волн и поглощения упругой энергии (и, естественно, амплитуда A колебаний) от давления P . С увеличением давления увеличиваются скорость и амплитуда колебаний для волн, проходящих через исследуемую среду. Наблюдая за изменением V и A , можно судить об изменениях давления или напряженного состояния горных пород, что в свою очередь, ведет к изменению физико-механических и упругих характеристик породы.

Изучение условий и характера работы штанговой крепи позволило нам выдвинуть гипотезу, согласно которой при натяжении штанги вокруг нее получается напряженная зона и порода в той или иной степени оказывается сжатой. Исходя из этого представления о рабо-

те штанговой крепи и физических основах ИСМ, нами было высказано предположение о возможности применения этого метода для рассматриваемых целей, и проведены исследования для решения вопроса об использовании ИСМ применительно к штанговому креплению. Главное заключалось в том, чтобы выяснить—оказутся ли достаточно ощутимы изменения физико-механических свойств пород после их закрепления штанговой крепью.

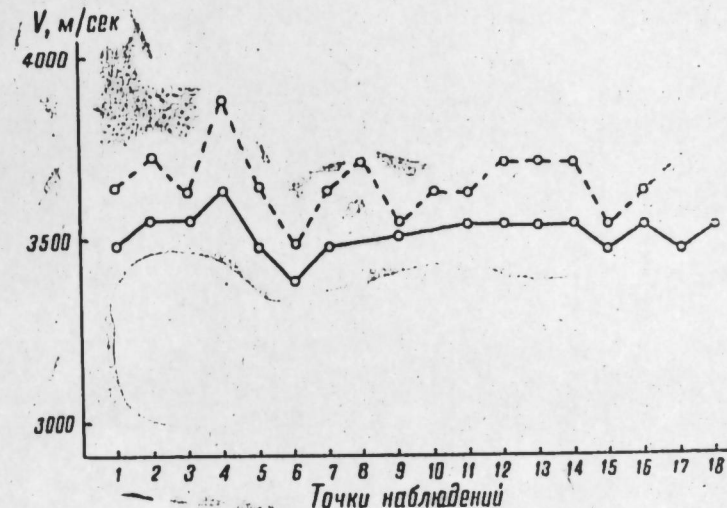


Рис. 1. Значение V_p в блоке известняка: сплошная линия—при обычном состоянии блока; пунктирная линия—при его натяжении 8 т.

Лабораторные исследования. Для изучения зависимостей упругих характеристик (скорости V и амплитуды A), а также некоторых упругих постоянных (модуль Юнга E , коэф. Пуассона σ , модуль сдвига μ) от натяжения штанг были проведены исследования на

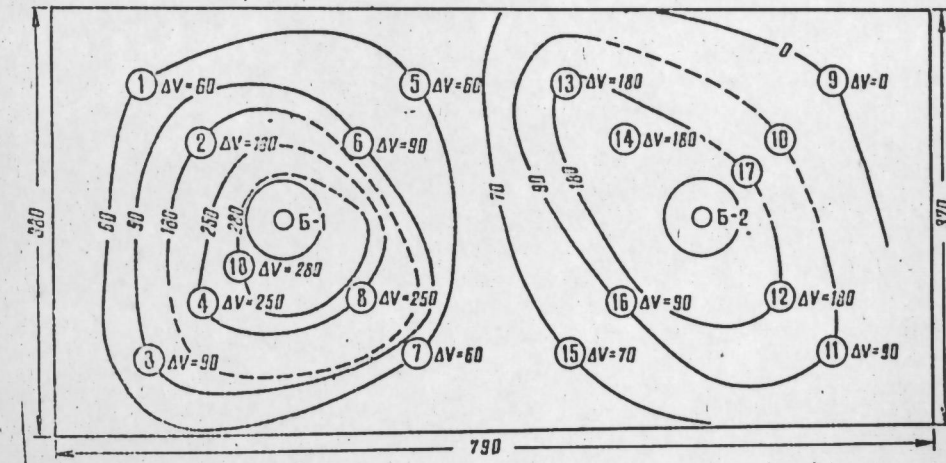


Рис. 2. Карта распределения напряжений вокруг закрепленных болтов в блоке известняка при нагрузке 8 т.

блоках известняка размерами $800 \times 380 \times 135$ мм. Поверхности блоков были тщательно отшлифованы и строго плоскопараллельны. Напряженное состояние в блоках создавалось при помощи болтов, имитирующих штанговую крепь. Болты затягивались либо гаечным ключом при помощи рычага длиною в 1 м, либо при помощи пресса. Предельная нагрузка на болты составляла соответственно 6 и 28 т.

Для определения скоростей прямых продольных V_p и релеевских V_R волн применялись методики прозвучивания и продольного профи-

лирования [3]. Волновая картина распространения упругих колебаний фотографировалась с экрана ЭЛТ импульсной переносной аппаратуры [4]. Всего было прозвучено 115 точек и проведены наблюдения на 13 профильных линиях. Все исследования проводились в два этапа—до и после натяжения болтов.

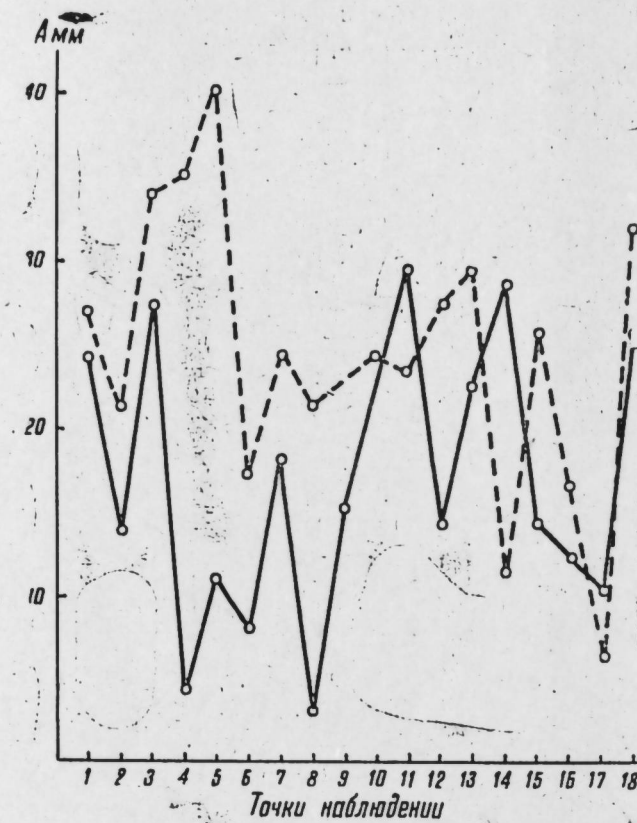


Рис. 8. Амплитуда колебаний прямой волны V_p в блоке известняка: сплошная линия—при $P=0$; пунктирная линия—при $P=28 \text{ т}$.

Исследования на руднике. Экспериментальные работы проводились на Гюмушлугском руднике в квершлаге № 2 штолни № 5 третьего участка. В кровле выработки установлены 3 ряда штанг, по 2 штанги в ряду. Применилась методика продольного профилирования. Всего было отработано 25 профилей. Профили проходились дважды—до и после натяжения штанг 5–6 м.

Результаты исследования. Исследования, проведенные методом прозвучивания, позволили определить скорости V_p в блоках известняка в их обычном и нагруженном состоянии.

В результате натяжения болтов наблюдается увеличение V_p почти во всех точках примерно на 4% (рис. 1). По данным относительных изменений скоростей $\Delta V_p = V_{p\text{нагр}} - V_{p\text{до}}$ построена карта распределения напряжений вокруг закрепленных болтов (рис. 2). Изолинии с наибольшими значениями ΔV_p проходят вблизи от источника натяжения; по мере удаления от закрепленных болтов величина ΔV_p уменьшается.

При исследованиях, проведенных методом продольного профилирования при натяжении болтов также отмечается увеличение скоростей V_p и V_R и упругих постоянных E, σ, μ .

Оценка точности определения скоростей проведена на основании

формул из работы [5]. Ошибка измерения скорости V_p составляет 0–2,5%, а для волн V_R —2–3%.

Амплитуда колебаний прямой волны A , распространяющейся в блоке известняка после его натяжения превосходит по абсолютной

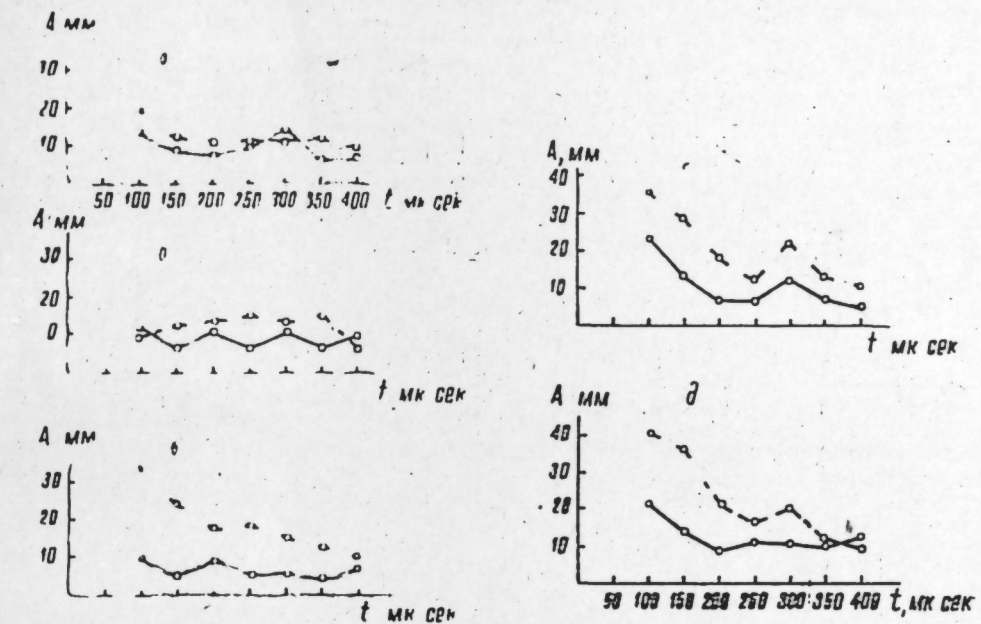


Рис. 4. Зависимость амплитуды затухания колебаний от времени по продольному профилю при расстоянии между излучателем и приемником: а—3 см; б—6 см; в—9 см; г—12 см; д—15 см; сплошная линия—до закрепления болта; пунктирная линия—после закрепления болта.

Таблица 1

Значения скоростей V_p и V_R , полученных методом продольного профилирования в квершлаге № 2

№ профиля	Ориентация профилей относительно пласти	Длина профилей, см	Скорость $V_p, \text{м/сек}$		Скорость $V_R, \text{м/сек}$	
			до натяже- ния штанг	после натя- жения штанг	до натяже- ния штанг	после натя- жения штанг
I	Вкrest	25	4000	5200	2000	2200
II	Вкrest	24	4400	5000	2000	2500
III	Вкrest	19	4000	5000	2000	25000
IV	Вкrest	33	5000	6600	2700	Не пр. сложена
IX	По падению	33	5000	6600	2500	

величине амплитуду тех же колебаний в блоке до его натяжения (рис. 3 и 4). Это свидетельствует о малом поглощении упругой энергии в закрепленной породе.

Данные, полученные в условиях рудника, полностью согласовываются с результатами лабораторных исследований. Скорости V_p и V_R , полученные после установки и натяжения штанг, превышают значения скоростей, полученных до натяжения штанг (таблица).

Выводы и рекомендации

В результате натяжения болтов, имитирующих штанговую крепь, меняется напряженное состояние породы, которое выражается в увеличении скоростей распространения волн и упругих констант и в уменьшении поглощения упругих колебаний. Эти изменения в состоянии зафиксировать импульсная сейсмическая аппаратура.

Таким образом, можно рекомендовать при помощи ИСМ решать ряд важных задач, связанных с закреплением кровли выработки штанговой крепью. Так, например, можно определить характер и картину распределения напряжений от натяжения штанг; расстояние, на которое передается усилие от натяжения штанг; рациональную схему и сетку расположения штанг; возможность контроля за состоянием пород, закрепленных штангами и т. д.

ЛИТЕРАТУРА

1. Семёновский В. Н. и др. Штанговая крепь. Изд-во "Недра", 1965.
2. Ризниченко Ю. В., Мичкин В. И. Импульсный сейсмический метод изучения горного давления. ДАН СССР, 1955, т. 102, № 3.
3. Силаева О. И. Исследование с помощью ультразвука скоростей распространения упругих параметров в образцах горных пород при одностороннем давлении. Труды Ин-та физики Земли, № 27, 1962.
4. Импульсная переносная аппаратура опытно-экспериментального завода геофизического приобретения. Киев, 1968.
5. Берзон И. С. Высокочастотная сейсмика. Изд-во АН СССР, 1957.

Институт геологии

Поступило 4. IV 1972

Ш. Н. Маммадов, Г. Н. Мухтаров, Б. А. Осипова

Дағ газмаларының штанг бағларла бәркіділмәсі
иілә әлагәдар олан мәсәләләрин һәлли
үчүн импулс-сейсмики үсулун тәтбиги

ХУЛАСӘ

Мәгәләдә дағ газмаларының штанг бағларла бәркіділмәсі иілә әлагәдар олан мәсәләләрин һәлли үчүн импулс-сейсмики үсулун тәтбигиниң мүмкүнлүгүндән бәлс едилір. Лаборатория вә истеңсалат шәрайтиндә апарылан тәдгигатлар көстәрмишілік, штангларын дартылыбы бәркіділмәсі нәтижесіндә сұхурларда еластикі далғаларын сүр'әтләринин артмасы вә удулмасы иілә ифадә олунан кәркин вәзијәт дәјишир. Дағ-мәдән сәнајесіндә штанг бағларын тәтбиги иілә әлагәдар олан практики мәсәләләрин һәлли үчүн импулс-сейсмики үсулун тәтбиг олунмасы мәслеңет көрүлүр.

Sh. Mamedov, G. Mukhtarov, B. Osipova

The possibility of applying the impulse seismic method for solving problems, connected with roof support by means of anchorage

SUMMARY

The possibility of applying the impulse seismic method is considered. The investigations which were made in laboratories and mines showed that as a result of using anchorage the tension state in the rock changed which is expressed in increasing the velocities and in decreasing the absorbing elastic oscillations of waves.

We recommend to use the impulse seismic method in the mine industry for solving practical problems, connected with the use of anchorage.

АЗЭРБАЙЧАН ССР ЕЛМЛӘР АКАДЕМИЯСЫНЫН МӘРҮЗӘЛӘРИ

ДОКЛАДЫ АКАДЕМИИ НАУК АЗЕРБАЙДЖАНСКОЙ ССР

ТОМ XXX

№ 1

1974

УДК 551. 311.8

ГЕОЛОГИЯ НЕФТИ

Р. Р. РАХМАНОВ

ГЕОЛОГИЧЕСКИЕ АСПЕКТЫ СВЯЗИ ГРЯЗЕВЫХ ВУЛКАНОВ С ОСАДОЧНОЙ ТОЛЩЕЙ ЗЕМНОЙ КОРЫ

(Представлено академиком АН Азербайджанской ССР А. А. Ализаде)

Явление грязевого вулканализма уже несколько десятилетий исследователями в равной степени используется для обоснования теории органического или неорганического происхождения нефти и газа. Не случайно вопрос изучения этого явления входил в проект программы работ по проблеме происхождения нефти и формирования ее залежей, принятый Всесоюзным совещанием в 1958 г. [4] и в программу по дальнейшему исследованию в направлении неорганического происхождения нефти и газа, предложенному на аналогичном совещании в 1968 г.

Исследователями в изложении своих взглядов по генезису нефти и газа (в том числе газа грязевых вулканов), наряду с другими геолого-геохимическими материалами, использованы данные по составу продуктов выбросов грязевых вулканов и принятые во внимание особенности расположения этих вулканов. Так, в качестве доказательства глубинного происхождения нефти и газа приводятся следующие аргументы: расположение грязевых вулканов вдоль глубинных разломов; нахождение крупных вулканов на небольшом расстоянии друг от друга; наличие в твердых продуктах выбросов юрских известняков и ртуты, а в составе газов — водорода и окиси углерода; выделение огромного количества газа при извержениях, а в промежутках между извержениями газов с очень большим содержанием углекислоты, в отдельных случаях с примесью сероводорода [3].

Исследованиями грязевых вулканов Керченско-Таманского района и Азербайджана, их продуктов деятельности, проведенные с 1935 г. под руководством И. М. Губкина и продолженные многими исследователями в различных нефтегазносных областях (А. А. Якубов, А. А. Али-заде, М. М. Зейналов, Ф. Г. Дадашев, Н. О. Назаров, А. В. Зайцев, И. М. Сирый и др.), полностью опровергли связь грязевых вулканов с магматическими очагами и указали на генетическую связь газов грязевых вулканов с осадочной толщей, с которой, в свою очередь, тесно связаны залежи нефти и газа.

В работах [1, 2] приведены сравнительные таблицы составов газов грязевых и магматических вулканов, показывающие на значительное отличие между их газовой фазой, а также очень убедительно

указано на отсутствие связи жерл грязевых вулканов с глубинными разломами.

Анализ фактических материалов по геологическому строению областей распространения грязевых вулканов дал возможность придерживаться мнения исследователей, опровергающих генетическую связь грязевых вулканов с подкоровым веществом.

Географическое распространение грязевых вулканов показывает, что они в основном развиты во внутренних (межгорных) и внешних (передовых) впадинах (прогибах) областей кайнозойской складчатости альпийского и тихоокеанского поясов.

Анализ геологического строения, истории развития всех впадин (прогибов) альпийского и тихоокеанского поясов позволил их разделить на четыре группы: 1) крупные впадины (прогибы) длительного развития с большой амплитудой прогибания (более 10 000 м)—Куринская, Западно-Туркменская, Индоло-Кубанская, Паданская, Сицилийская, Иравадийская, Оринокская, Плоештинско-Фокшанская и др., 2) крупные впадины (прогибы) с меньшей глубиной прогибания (до 8 000 м)—Венгерская, Трансильванская, впадины Иранского нагорья и др., 3) глубоко прогнутые (более 10 000 м) небольшие впадины—Лос-Анжелес; Вентура и др., 4) небольшие малосамплидные (до 5 000 м) внутригорные грабены и прогибы кратковременного развития—впадины Балканского полуострова, Карпат и др.

Грязевые вулканы развиты только в первой группе впадин, которые наряду с огромной мощностью, выполняющей их осадочной толщи, характеризуются резко асимметричным строением и наличием погребенных выступов основания (срединных массивов).

Распространение грязевых вулканов во впадинах с мощным осадочным чехлом не случайно. Наиболее глубокие слои седиментного чехла генерируют, в основном, углеводородный газ [5], служащий одним из динамических факторов в образовании грязевых вулканов. Свообразная тектоническая особенность указанных впадин (асимметричность, наличие погребенных выступов основания) в сочетании с зонами расположения преобладающих опусканий и поднятий определяли направления движения подземных вод в водонапорных системах и распределение тектонических усилий. В тесной связи со строением впадин, аномальное давление и тектоническое напряжение максимально проявлялись в их бортовых частях—в зонах развития грязевого вулканизма, подвергавшихся наибольшим тектоническим подвижкам.

ЛИТЕРАТУРА

1. Дадашев Ф. Г. Углеводородные газы грязевых вулканов Азербайджана. Баку, Азернефть, 1963.
2. Калинико М. К. Неорганическое происхождение нефти в свете современных данных. М., "Недра", 1968.
3. Кудрявцев Н. А. Глубинные разломы и нефтяные месторождения. Труды ВНИГРИ, вып. 215, 1963.
4. Сб. "Проблема происхождения нефти и газа и условия формирования их залежей". Гостоптехиздат, 1960.
5. Соколов В. А. Процессы образования и миграции нефти и газа. "Недра", 1965.

Институт геологии

[Поступило 24. II 1972]

Р. Р. Рахиманов

Палчыг вулканларынын Јер габығынын чөкүнту гаты и лә элагәсинин қеоложи аспектләри

ХУЛАСӘ

Палчыг вулканы һадисәси тәдгигатчылар тәрәфиндән ени дәрәчәде нефт вә газын үзви вә гејри-үзви мәншәји нәзәријәсимиң әсасландырылган үчүн истифадә едилир.

Палчыг вулканларынын јаялдығы вилајәтләринин қеоложи гурлушуна даир фактика материалларын тәдгиги онларын Јер габығынын алтында јатан маддәләрлә неч бир элагәси олмадығыны субут өдир.

Палчыг вулканларынын өнгөрүлгөннөң Алп вә Сакит океан зоналарынын дахили вә кәнәр чөкәкликләриндә инишар етдиини көстәрир. Бу чөкәкликләри чекүнту гатынын галхымларына вә өлчүсүнә көрә дөрд група бөлмәк олар. Палчыг вулканлары чекүнту гаты эн чох олан (чекмә амплитуда 10000 м-дән артыг) чөкәкликләрлә элагәдардыр. Һәмми чөкәкликләр һәм дә гејри-симметрик гурлуушда олмасы өз онларын дахилиндә көмүлмүш галхымларынварлығы илә сәчијәләнирләр. Палчыг вулканларынын чекүнту гаты галын олан чөкәкликләрдә јаялмасы тәсадүфи дејилдир. Чүни чекүнту гатынын дәрни гатларындан эсасән газ айрылып ки, бунлар да палчыг вулканларынын յаранмасында эсас динамики фактор ролуну оңайыр. Чөкәкликләрин асимметриклилы, көмүлмүш галхымларын олмасы, енмә вә галхмаларын йөрәшмәләринә үзғун олараг, субасылы системләрдә йералты суларын һәрәкәт истигамәттини вә тектоник гүввәләрин пајланмасыны мүәјҗән едир. Чөкәкликләрин гурлуушундан асылы олараг йералты тәэзиг вә тектоник кәркинлик эн чох палчыг вулканизмин эсасән инкишаф етди и вә даңа чох тектоник һәрәкәтләре мә'рүз галмыш чөкәкликләрин յан һиссәләриндә олмушдур.

R. R. Rakhamanov

Geological Aspects of mud volcano relation to Sedimentary Complex of the Earth's Crust

SUMMARY

Having studied the mud volcano distribution in the inner and outer depressions (troughs) of Cenozoic folding regions in the Alpine and Pacific Ocean belts characterized by maximum thickness of the sedimentary mantle the author has disproved the genetic relation of mud volcanoes to subcrustal substances.

УДК 622. 243. 141:622. 24. 065

БУРЕНИЕ

С. М. КУЛИЕВ, Г. Г. ГАБУЗОВ

**РЕОЛОГИЧЕСКИЕ КОНСИСТЕНТНЫЕ КРИВЫЕ ПРИ
ТЕЧЕНИИ НОРМАЛЬНЫХ ГЛИНИСТЫХ РАСТВОРОВ
В ТРУБАХ**

В настоящее время вязкостные свойства глинистых растворов определяют на торсионных и капиллярных вискозиметрах, исходя из реологического уравнения Бингама—Шведова:

$$\tau = \tau_0 + \eta \frac{du}{dr}, \quad (1)$$

где τ —касательное напряжение, τ_0 —динамическое напряжение сдвига, η —структурная вязкость, $\frac{du}{dr}$ —градиент скорости.

Очевидно, что при отличии уравнения (1) от действительного, основные расчетные зависимости, предложенные для определения вязкостных свойств глинистых растворов на указанных приборах не будут иметь места.

Вместе с тем, классификация жидкостей по реологической характеристике может осуществляться по консистентным кривым [1]. Поэтому предполагая, что реологическая характеристика глинистых растворов неизвестна, определим вязкостные свойства последних, используя консистентные переменные.

Как известно, консистентные переменные включают средний градиент скорости (V) и касательное напряжение вблизи стенки (τ_s).

Для ньютоновских жидкостей при течении в круглой трубе реологическое уравнение в переменных τ_s и V имеет вид:

$$\tau_s = \mu V, \quad (2)$$

$$\tau_s = \frac{\Delta p D}{4L}, \quad V = \frac{8\bar{w}}{D},$$

где μ —абсолютная вязкость жидкости, Δp —перепад давления на длине L , \bar{w} —средняя скорость течения, D —диаметр трубы.

В развернутом виде уравнение (2) полностью соответствует известной теоретической формуле Гагена—Пузейля, выведенной при соответствующих допущениях для ламинарного режима течения ньютоновских жидкостей в бесконечно длинной цилиндрической трубе.

Согласно зависимости (2) вязкость ньютоновских жидкостей есть первая производная $\frac{d\tau_s}{dV}$ уравнения прямой линии, проходящей через начало координат.

С целью изучения геологии глинистых растворов была собрана вискозиметрическая установка, состоящая из трубы внутренним диаметром 0,0048 м и рабочим участком, составлявшим 1,2 м. Для полного устранения концевых эффектов длина начального участка составила 150 D .

№ п/п	Удельный вес, mG/cm^3	Вязкость по СПВ-5, сек	Ротационный		Капиллярный	
			τ_{rp} , пз	τ_{op} , mG/cm^2	τ_{ck} , пз	τ_{ok} , mG/cm^2
1	1120	16,0	0,0200	12,0	0,0447	18,0
2	1150	17,8	0,0375	12,8	0,0257	110,0
3	1180	20,5	0,0416	25,8	0,0280	150,0
4	1190	24,0	0,0473	36,2	0,0280	150,0
5	1200	21,0	0,0445	25,0	0,0280	150,0
6	1210	25,0	0,0615	37,8	0,0436	175,0
7	1230	26,0	0,0866	46,4	0,0390	225,0
8	1240	33,4	0,0950	43,0	0,0428	200,0
9	1240	53,0	0,1330	60,0	0,0546	275,0
10	1250	37,0	0,0860	48,0	0,0580	250,0

Напор жидкости в системе создавался с помощью переливного бака и гасца „Кама“. С целью устранения влияния тиксотропных свойств и доведения системы до равновесного динамического состояния глинистые растворы перед поступлением в опытный участок трубы интенсивно перемешивались в специальной камере. В приемном баке гасца „Кама“ также была установлена мешалка.

Перепад давления с поправкой на прогревание раствора в импульсные трубы [2] замерялся дифференциальным манометром ДТ-50.

Глинистые растворы приготавливались на пресной воде. Замерялся удельный вес и условная вязкость на приборе СПВ-5. Абсолютные вязкостные свойства (структурная вязкость η_p и динамическое напряжение сдвига τ_{op}) фиксировались на вискозиметре АзНИИ с коаксиальными цилиндрами. Замеренные параметры представлены в таблице.

После замера стандартных параметров, глинистый раствор прокачивался на капиллярном вискозиметре. Обработка экспериментальных данных позволила составить график в консистентных переменных, представленный на рис. 1.

Как следует из рис. 1, для каждого отдельного глинистого раствора консистентная кривая представлена в виде прямой линии, не проходящей через начало координат и имеющей явно выраженный излом при переходе от структурного (квазиламинарного) к турбулентному режиму течения.

Согласно графика (рис. 1) уравнения для каждой консистентной кривой в квазиламинарной области течения имеют вид

$$\tau_s = \tau_{ok} + \eta_k V = \frac{\Delta p_0 D}{4L} + \eta_k V, \quad (3)$$

где τ_{ok} —отрезок стескаемой прямой $\tau_s=f(V)$ на оси абсцисс; Δp_0 —перепад давления на участке длиной L при начале движения.

Величина τ_{ok} в этом случае формально соответствует касательному напряжению на стелке трубы при отсутствии движения ($V=0$).

Из уравнения (3) можно получить формулу для расчета коэффициента гидравлических сопротивлений при квазиламинарном течении. Поскольку

$$\lambda = \frac{8\tau_s}{w^2 \rho} \quad \text{и} \quad \Delta p_0 = \frac{4L \tau_{ok}}{D},$$

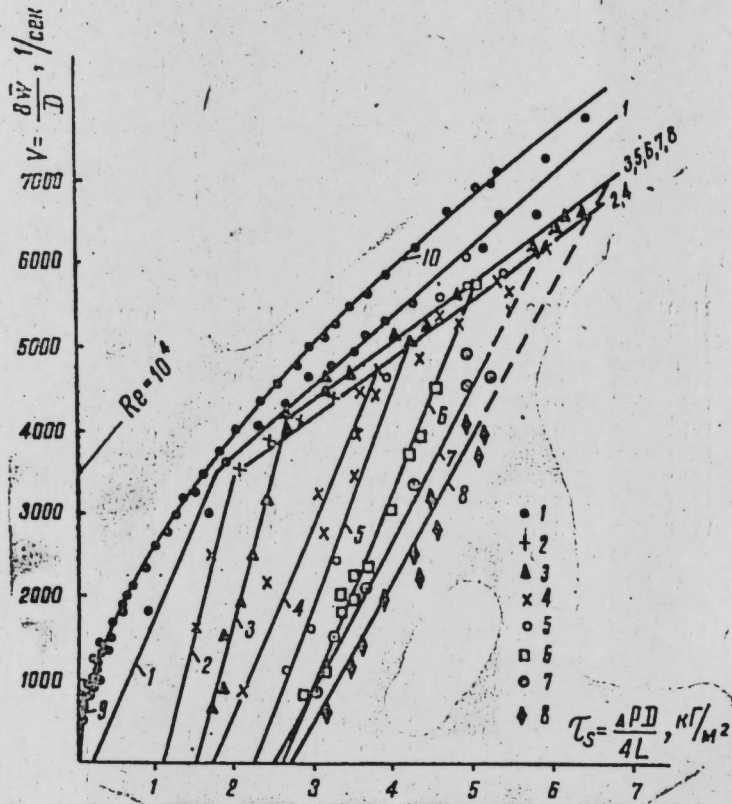


Рис. 1. Реологические консистентные кривые нормальных глинистых растворов: 1— $\gamma=1,12 \text{ г/см}^3$; 2—1,15; 3—1,18÷1,20; 4—1,21; 5—1,23; 6—1,24; 7—1,25; 8—1,24; 9—вода (ламинарный режим); 10—вода (турбулентный режим).

то подставив эти значения в зависимость (3) получим

$$\lambda = \frac{64 \tau_k}{w D \rho} + \frac{8 \tau_{ok}}{w^2 \rho} \quad (4)$$

или

$$\lambda = \frac{64}{Re} + 8 \frac{\eta}{Re}, \quad (5)$$

где Re —критерий Рейнольдса; η —критерий Ильюшина.

Зависимость (5) можно представить в виде

$$\lambda = \frac{64}{Re} \left(1 + \frac{\eta}{8} \right) = \frac{64}{Re'}, \quad (6)$$

где

$$Re' = \frac{Re}{1 + \frac{\eta}{8}} \quad (7)$$

Следовательно, практически все реологические консистентные кривые в квазиламинарной области течения (кривые 1÷8) можно отобразить общей безразмерной зависимостью (6).

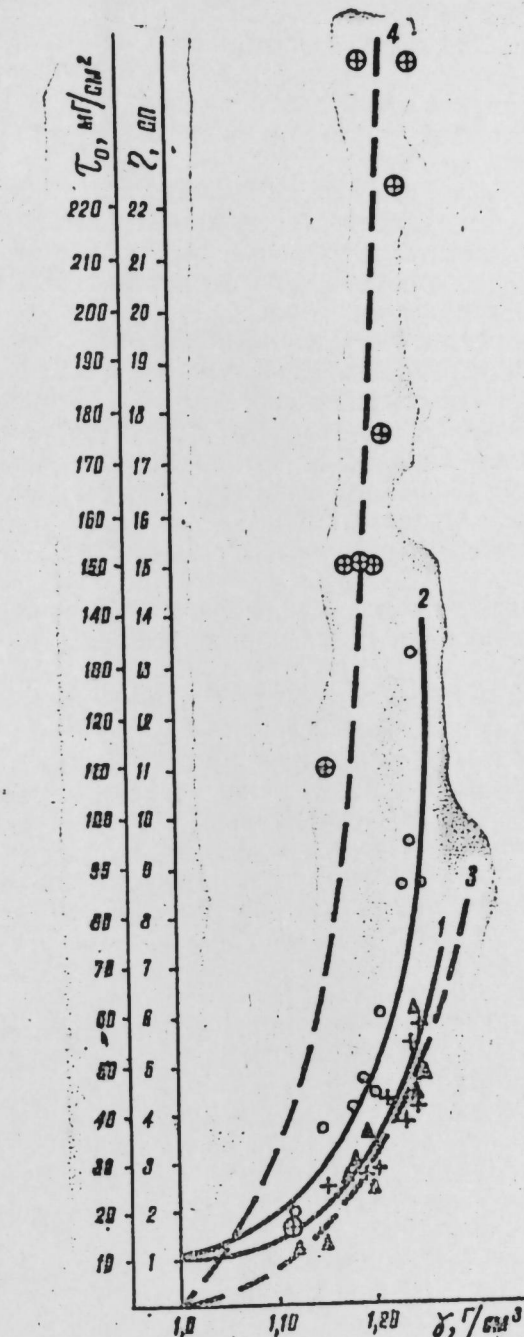


Рис. 2. Изменение вязкостных свойств нормальных глинистых растворов в зависимости от удельного веса:

1— $\tau_k = f_1(\gamma)$; 2— $\tau_r = f_2(\gamma)$; 3— $\tau_{ok} = f_3(\gamma)$; 4— $\tau_{ok} = f_4(\gamma)$; индекс „κ“—капиллярный вискозиметр; „р“—ротационный

Основное отличие (6) от общепринятой теоретической формулы заключается в различных выражениях обобщенного критерия Рейнольдса (Re'), определяемого зависимостью (7).

Таким образом коэффициент гидравлических сопротивлений при квазиламинарном режиме течения глинистых растворов в трубах круглого сечения строго подчиняется зависимости (6) при условии, что вязкостные свойства последних определены из консистентных кривых течения (τ_{0k} , η_k).

Исходя из графика, для каждого глинистого раствора, согласно формуле (3), определены величины τ_{0k} и η_k (таблица).

С целью наглядного сопоставления, вязкостные свойства одних и тех же глинистых растворов, замеренные ротационным и капиллярным вискозиметрами, представлены на рис. 2.

Из рис. 2 следует, что структурная вязкость, замеренная на капиллярном вискозиметре, меньше, чем на ротационном, в то время как для τ_0 наблюдается обратная картина.

Таким образом вязкостные свойства глинистых растворов, замеренные на вискозиметрах различных типов не инвариантны.

Объяснение для подобного явления может быть несколько.

1. Реологическая модель Шведова—Бингама, принятая за основу при составлении методики расчета вязкостных свойств, недостаточно правомерна.

2. Средние градиенты скорости, имеющие место при определении вязкости на ротационных и капиллярных приборах, не совпадают по величине.

3. При течении глинистого раствора наблюдается скольжение жидкости относительно твердой стенки.

Каждая из перечисленных причин требует дальнейшего самостоятельного изучения с целью определения степени влияния на инвариантность реологических характеристик.

В настоящее время считается доказанным лишь скольжение глинистых растворов относительно стенки трубы, на что указывают весьма обстоятельные опыты В. И. Липатова [3].

Как известно, эффект скольжения проявляется в увеличении расхода жидкости и прогрессивно ослабевает с увеличением диаметра трубы и средней скорости потока [1].

Рассматривая последнюю причину, можно заключить, что инвариантные вязкостные свойства глинистых растворов могут быть получены из консистентных кривых с учетом скольжения.

Последняя операция весьма трудоемка [1] и, по-видимому, нерациональна с целью определения гидравлических сопротивлений, поскольку для труб различных диаметров зависимости типа $\lambda = f(Re')$ из-за различного характера скольжения в каждом отдельном случае будут не однотипными.

Между тем, решение вопроса об удовлетворительном обобщении экспериментальных данных при течении глинистых растворов, по-видимому, может быть достигнуто путем введения новых критерiev одобия.

ЛИТЕРАТУРА

1. Уилкинсон У. Л. Ньютонаские жидкости. Мир, 1964. 2. Есьма и Б. И., Абдинов М. А., Габузов Г. Г. Формула для перевода показаний диффманометров при работе с глинистым раствором. Изв. АН Азерб. ССР, серия физико-математич. и технич. наук, № 2, 1961. 3. Липатов В. И. Вискозиметрическая установка капиллярного типа для исследования реологических свойств глинистых растворов. Труды ВНИИБТ, вып. XV, «Недра», 1965.

Институт проблем глубинных нефтегазовых месторождений

S. M. Kuliev, G. G. Gabuzov

Rheological consistent curves at a flow of normal mud fluids in pipes

SUMMARY

Rheological consistent curves at a flow of normal mud fluids (specific gravity from 1,12 to 1,25 g/cm³) are obtained experimentally using a special capillary viscosimeter. The mud fluids are selected with the help of a conventional dimensionless dependence

$$\lambda = \frac{64}{Re} \left(1 + \frac{N}{8} \right),$$

where λ —coefficient of hydraulic resistance
 Re and N —Reynolds and Ilyushin criteria including viscous properties obtained from consistent curves.

It is shown that viscous properties of mud fluids determined on capillary and rotary viscosimeters are not invariant and the reasons of this phenomenon are analyzed.

УДК 552. 52 (479. 24)

ЛИТОЛОГИЯ

Н. Ю. ХАЛИЛОВ, М. Б. ХЕИРОВ

ИССЛЕДОВАНИЕ ГЛИН ВЕРХНЕГО ОТДЕЛА ПТ* БАКИНСКОГО АРХИПЕЛАГА В СВЯЗИ С РЕШЕНИЕМ НЕКОТОРЫХ ВОПРОСОВ РАЗВЕДОЧНОГО БУРЕНИЯ

(Представлено академиком АН Азербайджанской ССР А. Д. Султановым)

Осложнения, часто возникающие в процессе бурения разведочных скважин в районе Бакинского архипелага, предположительно связаны с глинистыми породами, составляющими основную часть разреза этого района. Данные осложнения в верхнем отделе ПТ встречаются чаще, чем в нижнем. Поэтому важное значение имеет исследование состава и структурных особенностей глинистых минералов этих пород и сопоставление их с одновозрастными глинами соседних областей. Это представляет интерес и для выяснения некоторых других вопросов нефтяной геологии.

Некоторые результаты изучения глин верхнего отдела ПТ Бакинского архипелага приводятся в работах [4, 7], которые касаются лишь глин самых верхов верхнего отдела ПТ из ограниченного количества площадей.

В настоящей статье приводятся результаты подробного количественного рентгеноструктурного изучения пелитовой фракции глин и песчаников 12 различных площадей (более 150 образцов) с использованием и других видов анализов. В ней приводятся также впервые полученные нами данные о глинах из больших глубин (до 5 200 м), что очень интересно в связи с развитием в нашей республике глубокого разведочного бурения.

Мощность верхнего отдела ПТ Бакинского архипелага слагается глинами и суглинками с редкими и тонкими пропластками алевритов и песчаников [3, 4]. По гранулометрическому составу здесь преобладают хорошо отмученные глины, в которых содержание пелитовой фракции составляет более 80%, доходя в отдельных случаях почти до 100%. Глины эти имеют преимущественно серый цвет, но встречаются также бурые, шоколадно-бурые, коричневые, зеленоватые и другие с различными оттенками. Они являются карбонатными, обычно массивными, реже слоистыми, а иногда сланцеватыми. Пелитовая фракция их состоит в основном из монтмориллонита, гидрослюды, каолинита, хлорита, смешанослойных глинистых образований и незна-

* ПТ—продуктивная толща.

чительной примеси магнезиальных силикатов и других неглинистых минералов.

Монтмориллонит определен базальным рефлексом с d (001) = $12,0 \div 14,6 \text{ \AA}^\circ$, смещающимся до $17,6 \div 17,8$ при насыщении и до $9,70 \div 9,80 \text{ \AA}^\circ$ при нагреве (рис. 1, 2). Здесь распространены Mg, Na, Ca—монтмориллониты. Наблюдаются увеличение роли Ca²⁺ как обменного катиона и уменьшение общей емкости обмена и как следствие этого уменьшение коэффициента набухаемости с глубиной и возрастом, а также уменьшение скорости набухания монтмориллонита.

Гидрослюд определена, характерными для нее базальными рефлексами, стабильными при насыщении глицерином и нагреве (рис. 1, 2). Как и в нижнем отделе ПТ она относится к структурной разности $2M_1$. Отмечается возрастание степени скристаллизованности ее с глубиной и с возрастом. Количество содержание гидрослюд здесь больше, чем в одновозрастных глинах Прикуринской, Шемахино-Кзылкентской и Апшеронской областей, а монтмориллонита—меньше. В юго-западном направлении содержание монтмориллонита увеличивается, а гидрослюд—уменьшается. Отмечается также увеличение содержания гидрослюд и уменьшение монтмориллонита с глубиной (в пределах верхнего отдела ПТ). В связи с этим интересно отметить, что глины верхнего отдела ПТ Бакинского архипелага резко отличаются от глин акчагыла, а также VII горизонта повышенным содержанием монтмориллонита и относительно меньшим содержанием гидрослюд.

Каолинит определен рефлексами с d (001) = $7,12 \div 7,14$; d (002) = $3,56 \div 3,57 \text{ \AA}^\circ$, которые исчезают после нагрева образца при 580°C (рис. 1, 2). Содержание его в пелитовой фракции колеблется в пределах 15—25%. Здесь как и в нижнем отделе ПТ наблюдается прямая зависимость между содержанием гидрослюды и каолинита и обратная—монтмориллонита и каолинита. Для хлорита, встреченного в небольших количествах, характерны рефлексы с d (001) = $13,9 \div 14,0$; d (002) = $6,95 \div 7,00$; d (003) = $4,64 \div 4,67 \text{ \AA}^\circ$, стабильных при насыщении и нагреве (рис. 1, A, 2 B).

Смешанослойное образование с неупорядоченным чередованием монтмориллонитовых и гидрослюдистых межслоевых промежутков определено рефлексом внутри интервала $11,0 \div 13,0 \text{ \AA}^\circ$, смещающимся в сторону меньших углов отражения при насыщении глицерином и сокращающимся до $9,80^\circ$ при нагреве (рис. 2 A). В отличие от него рефлекс (001)_X(001)_M смешанослойного образования с беспорядочным чередованием хлоритовых и монтмориллонитовых межслоевых промежутков после насыщения глицерином фиксируется при $15,0 \div 16,5 \text{ \AA}^\circ$, а нагреве— $10,6 \div 13,2 \text{ \AA}^\circ$ (рис. 2, B).

Смешанослойный минерал с упорядоченным чередованием вермикулитовых и монтмориллонитовых межслоевых промежутков по схеме ABAB определяется базальным рефлексом первого порядка, фиксированном на дифрактограммах воздушно-сухих образцов при $27,2 \text{ \AA}^\circ$, насыщенных—при $31,4 \text{ \AA}^\circ$ и их высокими порядками. Эти рефлексы совпадают с рефлексами гидрослюды после нагрева (рис. 2, B). В отличие от него d (001) смешанослойного минерала корренситового типа на дифрактограммах нагретого образца фиксируется при (~) $24,0 \text{ \AA}^\circ$ (рис. 2, Г). Содержание этих минералов, как это видно из рис. 2, небольшое. Эти минералы встречаются, в основном, в образцах из больших глубин.

Приведенный выше состав глин не противоречит данным химического анализа [4, 7], согласно которым содержание SiO₂ составляет 47,0—51,0; K₂O—1,90—3,0; Al₂O₃—17,0—24,0; Fe₂O₃—5,0—12,0; MgO—3,5—6,70%. Обратная зависимость между Fe₂O₃ и Al₂O₃ указывает на

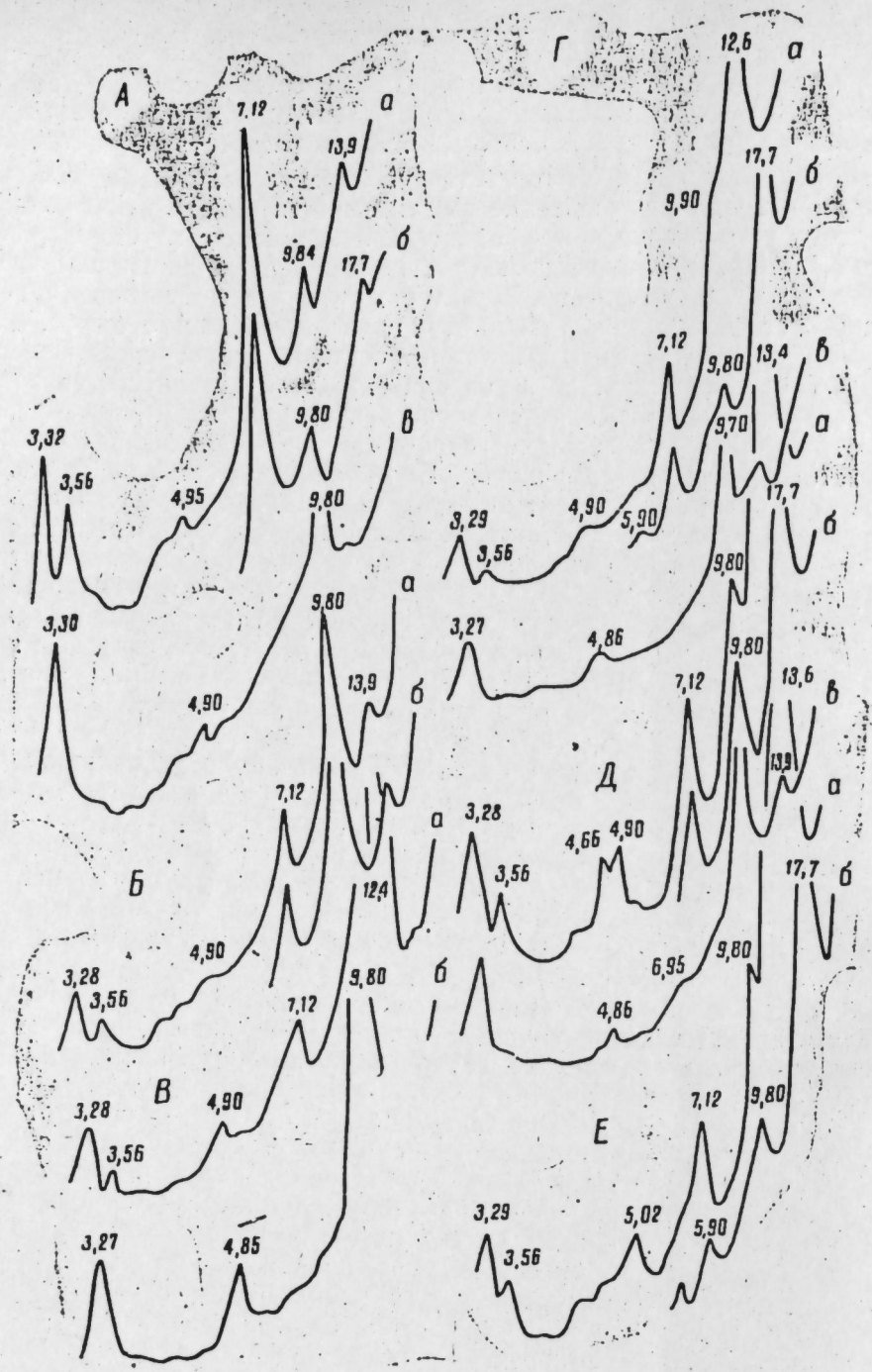


Рис. 1. Дифрактометрические кривые пелитовой фракции песчаников (*A*, *B*, *C*) и глини (*D*, *E*) верхнего отдела ПТ Бакинского архипелага: *A*—Бахар, скв. 10, гл. 3844—3847 м (балах. св.); *B*—Бахар, скв. 30, гл. 4779—4781 м (балах. св.); *C*—Бахар, скв. 22, гл. 4295—4295—4299 м (балах. св.); *D*—Булла-море, скв. 4, гл. 1812—1817 м (сурех. св.); *E*—Булла-море, скв. 8, гл. 2325—2330 м (сабун. св.); *a*—дифрактограмма воздушно-сухого образца; *b*—насыщенного глицерином; *c*—нагретого при 560—580 °С. Излучение CuK α

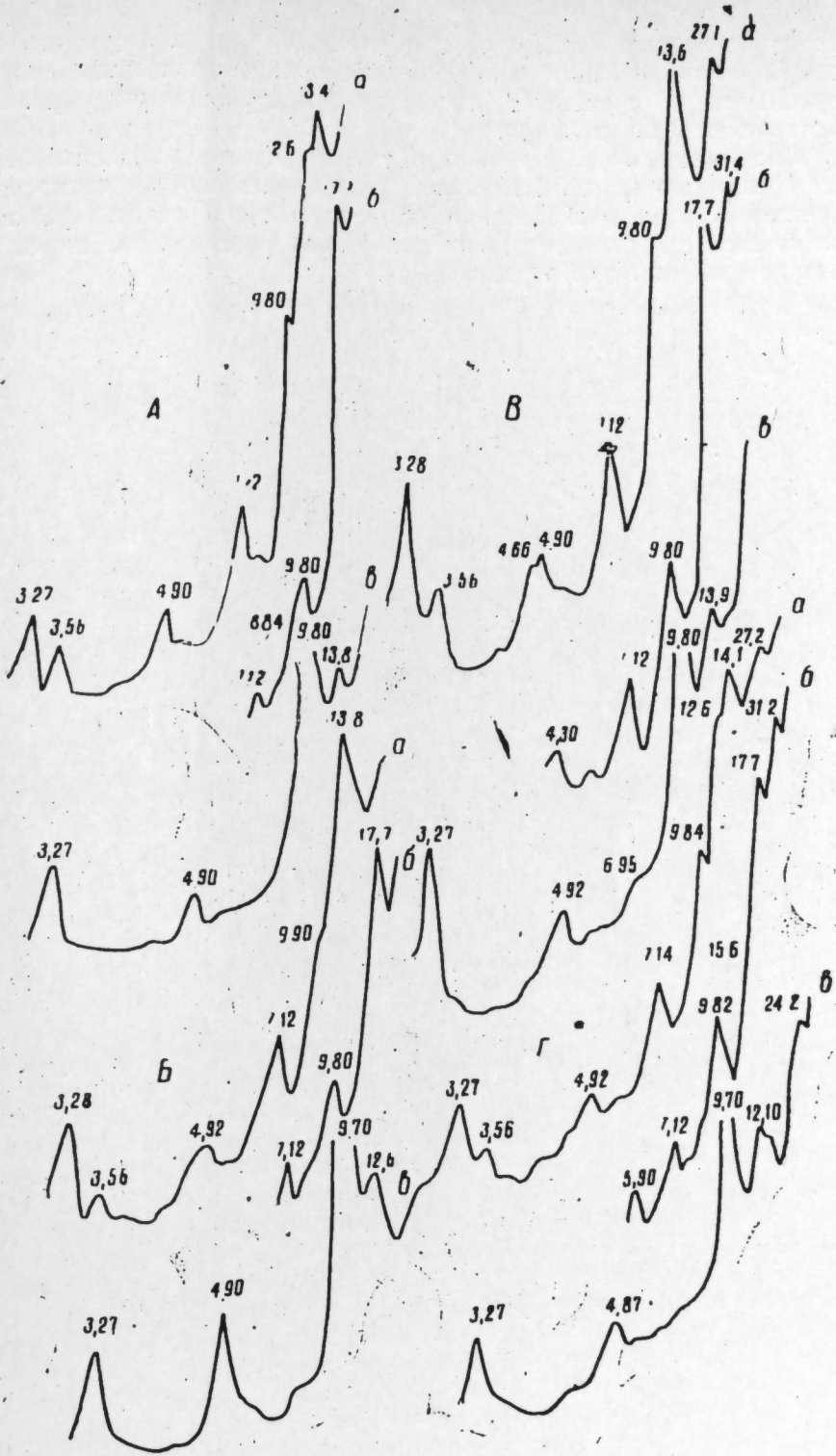


Рис. 2. Дифрактометрические кривые пелитовой фракции глин верхнего отдела ПТ Бакинского архипелага: А—Бахар, скв. 10, гл. 3700—3703 м (балах. св.); Б—о. Булла, скв. 74, гл. 4738—4742 м; В—Булла-море, скв. 7, гл. 4108—4112 м (сабун. св.); Г—Булла-море скв. 7, гл. 5088—5091 м (балах. св.), а, б, в—то же, что и на рис. 1.

частичное замещение Al в октаэдрических позициях структуры железом. Содержание K₂O в южной части архипелага меньше чем в северной, что соответствует изменению содержания монтмориллонита и гидрослюды по площади.

Содержание MgO в южной части Бакинского архипелага больше, чем в северной (рис. 3). Подобное распределение MgO соответствует развитию здесь магнезиальных силикатов. Накопление MgO в глинах связано с процессами диагенетического растворения пироксенов, поступавших из Малого Кавказа [2].

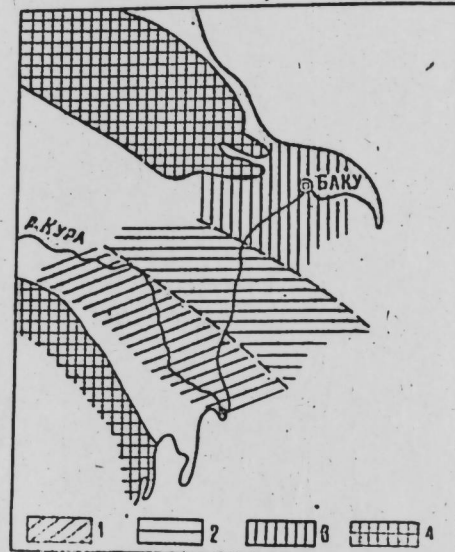


Рис. 3. Схема распределения MgO в глинах верхнего отдела ПТ Бакинского архипелага и прилегающей к нему областей Азербайджана:
1—более 4,0%; 2—3,0—4,0%; 3—менее 3,0%; 4—суша.

Приведенные выше данные о составе глинистых минералов верхнего отдела ПТ Бакинского архипелага хорошо согласуются также с условиями в бассейне осадконакопления. Известно [1, 3], что геологическое развитие и формирование этих осадков происходило в условиях значительного повышения уровня среднеплиоценового аридного бассейна и перемещения его берегов на север и запад, что привело к коренной перестройке системы терригенного питания участка Бакинского архипелага. Северный материал сюда уже не попадал, но усилилось поступление материала с ближайших островов Большого Кавказа, сложенных преимущественно глинистыми осадками миоцена и палеогена. Значительную роль в формировании осадков верхнего отдела ПТ Бакинского архипелага играл также материал, приносимый с южных склонов Большого и северо-восточных склонов Малого Кавказа. В это время Бакинский архипелаг представлял мелководный участок с островами и банками, которые также местами разрушались [3, 4]. Соленость была низкая, но в ряде участков временами она достигала значительных размеров, в результате чего создавались условия, благоприятные для образования магнезиальных силикатов, сильно известковистых и огипсованных осадков. Среда была слабощелочная, близкая к нейтральной [4, 6].

Указанные выше источники питания обеспечили поступление обломочного монтмориллонита в бассейн. Он образовался также в бассейне в стадии диагенеза и начального эпигенеза аутогенным путем.

В пользу этого говорит резкое по сравнению с глинами увеличение содержания Na, Ca-монтмориллонита (>70% пелитовой фракции) в песчаниках (рис. 1, В).

Гидрослюды 2M₁, и каолинит являются здесь, как и в нижнем отделе, аллотигенными. Но в отдельных случаях в пелитовой фракции песчаников наблюдается резкое увеличение содержания каолинита (рис. 1, А) и гидрослюды (рис. 1, Б), что, по всей вероятности, является следствием воздействия пластовых вод на глинистые минералы цемента.

С увеличением глубины уменьшается пластичность глинистых пород, они обезвоживаются, делаются более крепкими и прочными, сильно уплотняются, принимают аргиллитоподобный вид. Но несмотря на это не наблюдаются большие катагенетические изменения глинистых минералов. Об этом свидетельствует прежде всего сохранение преобладающей роли монтмориллонита в больших глубинах (до 5 200 м), который, по мнению многих исследователей, должен быть отсутствовать при таких глубинах.

Наблюдаются лишь признаки преобразования его в хлорит, через смешаннослоистые глинистые образования монтмориллонит-хлоритового ряда (рис. 2). Это говорит о том, что помимо физико-химических факторов большая роль в этом процессе принадлежит фактору времени.

Полученные результаты важны для оценки коллектора, а также осложнений, возникающих в процессе бурения и освоения скважин, так как в зависимости от количества и природы монтмориллонита следует подбирать состав буровых растворов. Так, не желательно применение в верхнем отделе ПТ Бакинского архипелага глинистых растворов, содержащих в своем составе ионы натрия, вследствие того, что это способствует диспергации монтмориллонита и как следствие увеличению удельной поверхности его, что приводит к возрастанию осложнений в процессе бурения и освоения скважин. Это следует соблюдать особенно при небольших глубинах (< 3 000 м), где нет заметного уплотнения пород и относительно высок коэффициент набухаемости.

В акчагыльских отложениях случаи прихвата инструмента не меньше, чем в ПТ и вместе с тем общее содержание монтмориллонита в них меньше, чем в отложениях ПТ. Следовательно, эти осложнения связаны не только с монтмориллонитом, но и другими факторами. Одним из таких факторов, возможно, является высокая глинистость пород, что имеет место в отложениях Бакинского архипелага.

А другим, как на это указывают частые осложнения в небольших глубинах и относительно молодых отложениях, является высокая пластичность глини на этих глубинах и отсутствие структурных упрочнений в них, что усиливается присутствием Na-монтмориллонита. Эти обстоятельства благоприятствуют сужению ствола скважины под действием гравитационных сил. Для окончательного выяснения причин осложнений, возникающих в процессе бурения и освоения скважин, следует продолжить всесторонние исследования в этом направлении.

Полученные данные полезны также для расчленения разреза, так как глины верхнего отдела ПТ, как это указано в тексте, резко отличаются от глин акчагыла и VII горизонта.

ЛИТЕРАТУРА

1. Али-заде А. А. Палеогеография бассейна балаханского яруса. Баку. Изд-во АЗИНТИ, 1950.
2. Коссобская А. Г. Литолого-минералогическая характеристика и условия образования глин ПТ Азербайджана. Изд-во АН СССР. М., 1954.
3. Пустошкарадзе А. Л. Бакинский архипелаг. Азнефтехиздат, Баку, 1958.
4. Постседиментационные изменения четвертичных и плиоценовых глинистых отложений Бакинского

архипелага. Изд-во "Наука", М., 1965. 5. Ратеев М. А., Емельянов Е. М., Хеироев М. Б. Особенности формирования глинистых минералов в современных осадках Средиземного моря. "ЛПИ", № 4, М., 1966. 6. Султанов А. Д. Литология ПТ Азербайджана. Изд-во АН Азерб., ССР. Баку, 1959. 7. Хеироев М. Б. О минералогическом составе и структурных особенностях глин ПТ Бакинского архипелага. Труды АЗНИИДН, вып. X. Азнефтегаз, Баку, 1960.

АзНИИИнефть

Поступило 22. II 1971

Н. Ж. Халилов, М. Б. Хеироев

Кэшфијјат газымасынын бә'зи мәсәләләринин һәлли илә әлагәдар
олараг Бакы архипелағы Мәһсүлдар гатынын
јухары шө'бәси килләринин тәдгиги

ХУЛАСЭ

Мәгаләдә мигдари рентген тәһилии вә дикәр үсулларла Бакы архипелағы Мәһсүлдар гат чөкүнтуләри јухары шө'бәси килләринин тәдгигинин нәтичәләри верилир.

Апарылан тәдгигат нәтичәсендә өјрәнилән килләрин тәркиби, кил минералларынын гурулуш хүсусијәтләри вә бунун әсасында онлары акгакил вә VII горизонт килләриндән фәргләндирән чәһәтләр мүәјјән едилмишdir.

Алынан нәтичәләре әсасен гујуларын газымасы заманы баш берән гәзаларын сәбәбләри вә онларын арадан галдырылма үсуллары барәдә мұлаһизәләр ирәли сүрүлүр.

N. J. Khalilov, M. B. Kheirov

Exploration of the clays of the upper section of the productive thickness of the Baku archipelago in connection with the solution of some problems of the exploratory drilling

SUMMARY

The article has been devoted to the detailed exploration of the polith fraction of the clays and sandstones of the upper section of the productive thickness of the Baku archipelago in connection with the complications arising in the process of drilling and exploitation of the boring wells in this area.

ӘЗӘРБАЙЧАН ССР ЕЛМЛӘР АКАДЕМИЈАСЫНЫН МӘРҮЗӘЛӘРИ
ДОКЛАДЫ АКАДЕМИИ НАУК АЗЕРБАЙДЖАНСКОЙ ССР

ТОМ XXX

№ 1

1974

УДК 581.8

АНАТОМИЯ РАСТЕНИЙ

З. А. НОВРУЗОВА, Н. М. ЧАПАРИ

ФОРМИРОВАНИЕ АНАТОМИЧЕСКОЙ СТРУКТУРЫ
ПРЕДСТАВИТЕЛЕЙ МАРЕВЫХ

(Представлено академиком АН Азербайджанской ССР М. Г. Абуталыбовым)

Анатомическое строение вегетативных органов маревых в связи с поликамбимальностью оси представляют большой интерес. Эти растения играют основную роль в растительном покрове засушливых областей.

Е. М. Лавренко [6] придает особое значение семейству маревых в связи с тем, что данные растения сближают флору пустынь Евразии и Северной Африки со всеми остальными пустынными областями земли. Особый интерес к этим растениям возникает еще в связи с некоторым внешним сходством анатомического строения стебля с однодольными растениями.

Большое внимание строению вегетативных органов представителей маревых уделено Де Бари [3], который установил типы вторичного утолщения этих растений.

В 1923 г. А. А. Табенцкий дал подробный анатомический анализ стебля и листа сахарной свеклы (*Beta vulgaris* L.).

Сводка работ, посвященных изучению строения сем. *Chenopodiaceae* приводится в работе В. М. Арциховского [1]. Им было изучено анатомическое строение ствола саксаула и результаты исследования дали возможность автору назвать его поликамбимальным.

О. Н. Радкевич [8] на основе изучения подобных структур отмечает их вторичность по сравнению с другими двудольными. Она считает, что поликамбимальное строение определяет известную стадию развития растений, связанную с расположением и интенсивным проявлением новых побегов и листьев.

Меткалф и Чалк [11] приводят краткие сведения о строении листа и стебля некоторых видов *Salsola* L.

М. М. Ильин [5], приводя многочисленные примеры о поликамбимальности маревых и их сходстве со строением однодольных, предполагает древность обоих типов.

И. А. Шилкиной [10] изучены основные органы *Beta vulgaris*, *Chenopodium album*, *Agriophyllum arenarium* M. B., *Salsola ruthenica* и *Atriplex tatarica* в связи с развитием и гостом листьев и ветвей. Она внесла ряд новых данных о связи с образованием меристематических тканей с гостом листьев.

В. К. Василевская [2], изучив особенности анатомического строения растений Центрального Казахстана на примере представителей маревых, подтверждает мнение ботаников, считающих поликамбиальный способ вторичного роста есторичным явлением.

Многочисленные представители маревых и близких семейств в виде разных жизненных форм являются важными, часто господствующими эдификаторами полупустынь Азербайджана и образуют различные формации в галофитной растительности на Восточно-Закавказской низменности. Они играют важную роль как кормовые растения на зимних пастбищах.

Все это послужило основой исследования особенностей формирования их органов.

Стебель дефинитивных экземпляров представителей магевых, распространенных в Азербайджане, изучен З. А. Новрузовой [7].

В настоящей статье обобщены результаты изучения формирования надземных вегетативных органов *Salsola gemmascens*, *S. ericoides*, *S. dendroides*, *Kalidium caspicum*, *Halocnemum strobilaceum*, *Climacoctera crassa* в естественных условиях их местообитания на Апшероне. Наблюдения над подопытными растениями продолжались в течение двух лет (1968—1970). Образцы для анатомического исследования брались с начала марта до полного роста и развития растений (до октября). Каждый образец (почки возобновления, листья и стебли) подвергался морфологическому описанию и серийным срезам. Исследования проводились на постоянных препаратах. Фазы развития зарисованы рисовальным аппаратом РА-4.

Начальные фазы онтогенеза стеблей исследованных нами растений, как отмечено предшествующими исследователями, идут по общему плану развития двудольных—сначала образуются первичные проводящие пучки с прослойками камбия.

Исследователи отмечают отсутствие кольцевой флоэмы у подобных растений. Однако у *Kalidium caspicum*, *S. dendroides*, *S. ericoides* нами было отмечено наличие кольцевой флоэмы, под которой расположены первичные пучки.

Одновременно происходит дифференциация камбия на вторичные элементы ксилемы у первичных пучков и образование меристематическими клетками перицикла промежуточной ткани.

Примерно через неделю в камбимальных участках перицикла проходит дифференциация вторичных проводящих пучков; при этом вначале в окружении склеренхимных клеток наблюдаются ксилемные элементы; флоэмные элементы, дифференцированные к периферии от камбимального слоя среди меристематических клеток различаются с трудом. И только при завершении формирования данного пучка флоэма его, отчленяясь внутрь, выделяется отчетливо. (В связи с этим некоторые исследователи предполагают, что у этих растений сначала дифференцируется ксилема, а потом флоэма). Таким образом формируются пучки первого, второго, третьего и последующих порядков. Количество кругов или порядков вторичных пучков зависит от родовой принадлежности и условий обитания растений.

Мало сведений в литературе о строении и формировании листьев различных представителей маревых.

Мелкие цилиндрические листья видов *Salsola* L. покрыты эпидермисом, в субэпидермальном слое гиподерма; к ней прилегают базальные клетки палисадной ткани, которые замыкаются обкладкой паренхимных клеток; центр заполнен тонкостенными водоносными клетками, среди которых расположен проводящий пучок листа со склеренхимной обкладкой.

Сходное строение листа у *Climacoptera crassa*, а *Kalidium Hancampi* афильные.

Исследования структуры вегетативных органов изученных видов указывают на высокую структурную специализацию всех элементов строения данных органов: сосуды с простыми перфорациями на поперечных стенках, паренхима вазицентричного типа, редукция лучей, наличие веретеновидной паренхимы, волокон либриформа, почти отсутствие трахеид, редукция кольцевой флоемы — у стеблей. Редукция листовой пластинки или афильные виды, редукция системы жилок и камбия в проводящей системе листа, отсутствие губчатой паренхимы в мезофилле листа.

Если принять в основу положение о том, что сем. *Chenopodiaceae* с давних времен продвигалось в аридные области, то с этим вполне согласуется их структурная эволюция. Все признаки специализации выработаны в результате приспособления этих растений к аридным условиям.

ЛИТЕРАТУРА

1. Арциховский В. Рост саксаула и анатомическое строение его стволов. Труды по прикладной ботанике, генетике и селекции, т. XIX, вып. 4, 1928. 2. Васильевская В. К. Особенности анатомического строения некоторых растений Центрального Казахстана. Труды, серия III, вып. 17. „Геоботаника“, XVII. Изд-во „Наука“, 1965. 3. Де Бари А. Сравнительная анатомия вегетативных органов явно брачных и папоротникообразных растений, вып. 1, изд. товарищества „Общественная польза“. Пб., 1877. 4. Ильин М. М. Некоторые итоги изучения флоры пустынь Средней Азии. Материалы по ист. флоры и раст. СССР, 2, 1946. 5. Ильин М. М. Поликамбиональность и эволюция. Сб.: „Проблемы ботаники“, 1, 1950. 6. Лавренко Е. М. Основные черты ботанической географии пустынь Евразии и Северной Африки. Камаровские чтения, XV. Изд-во АН СССР, 1962. 7. Новрузова З. А. Водопроводящий комплекс древесных и кустарниковых растений в связи с экологией. Изд-во АН Азерб. ССР, 1968. 8. Радкевич О. Н. О теоретических основах анатомии проводящего аппарата растений. Докт. дисс. Рукопись ЛГУ, 1947. 9. Табеинский А. А. Анатомия и биология сахарной свеклы. Изд-во Сахаротреста. Киев 1923. 10. Шилкина И. А. Анатомические особенности семейства *Chenopodiaceae*. „Бот. журн.“, СССР, 38, 4, 1953. 11. Metkalf C. and Chalk L. Anatomy of the Dicotyledons Oxford, 1950.

Поступило 27. I 1971

Институт ботаники

З. А. Новрузова, Н. М. Чапарин

Тәрәичәклиләр фәсиләсинин гурулыш элементләrinин эмәл әмәлмәси

ХУЛАСЭ

Тәрәчиqәккүләр фәсиләси нұмаjәндәләриниң векетатив органларының әмәләкәлмә хүсусиijәтләрини өjрәнмәк мәгсәдилә апарылан тәдгигатлар нәтижәсіндә, бу органларын гурулуш элементләрини тәкамүл чәhәтиндән ирәлиләмиш слудулары вјдынчасына мүәjjen едилишишdir. Садә перфоресијалар су өтуручу боруларын көндәлән диварларында јерләшмеш, паренхимләр вазисентрик типлидир, одунчаг шуалары редуксија олунмуш, радиал кәсикләрдә эсас е'тибарилә верете новид паренхимләре раст кәлнири, лиф элементләри эсасен либриформлардан ибаратdir.

Бу биткиләр биринчى вә икинчи дәрәчәли топалардан вә пәр топа флојем вә ксилемдән ибәрәт олур. Бә'зи нөвләрдә тәрәфимиздән һәлгәви флојемә дә раст кәлинир. Ярпагларда—ярпаг лөвһәләри, дамар системи редуксија олур, бә'зән ярпагсыз нөвләр дә мушаһидә едиш.

Жарпағын өтүрүү системинде, редуксија олунмуш кесамен на-
ренхим чох биткиләрдә су паренхими илә әвәз едилиниш олур. Бу
эламатлар гурулуш элементләринин јүксәк дәрәчәдә ихтиласлашиш
ве тәрәчицәлләр фасиләси нұмајәндәләринин тәкамүл чәһетиндән
ирадаләмиш олдугларының көстәрир.

SUMMARY

On the research base of development the organs of vegetative sgroup of the representatives of marines seeds (*Halocnemum strobilaceum*, *Kalluma caspium*, *Salsola gemmascens*, *Salsola ericoides*, *Salsola dendroides*, *Climacoptera crasse*), are established. The main signs of structure elements of vegetative organs showing to their high structure specialization,

УДК 576. 895. 132

ГЕЛЬМИНОЛОГИЯ

И. А. РУБЦОВ

НОВЫЙ ВИД МЕРМИТИДЫ ИЗ КЛОПОВ В АЗЕРБАЙДЖАНЕ

(Представлено академиком АН Азербайджанской ССР С. М. Асадовым)

Мермитиды как паразиты клопов известны давно и указывались из разных видов семейства *Lentatomidae*, распространенных в Западной Европе (Hagmeier, 1912), Европейской части СССР (Положенцев, 1957) и Сибири (Рубцов, 1970). Однако до последнего времени находки мермитид в клопах лишь констатировались, да виды не определялись и не описывались из-за того, что исследователям попадались только личинки этих паразитов. Диагностика мермитид основывалась на признаках взрослых червей (главным образом на строении половых органов), которые не развиты у личинок. Последние поэтому не поддавались определению. За последние годы автором настоящей заметки была сделана попытка различения видов мермитид по признакам личинок, главным образом, по строению органов, связанных с пищеварительной системой (продольные хорды, стихозома, трофосома), хорошо развитых у личинок (Рубцов, 1965). В дополнение к этому использовались и другие признаки личинок: строение кутикулы, головной капсулы, хвоста и его придатков. Сохранение у взрослых червей продольных хорд и стихозомы позволяет связать личинку с взрослой стадией. Такой подход представляется необходимым не только для таксономических целей и задач диагностики видов, но еще и потому, что на практике в руки систематика чаще всего попадают только личинки, поражающие насекомое и интересующие агронома и энтомолога. Доведение до взрослой стадии постпаразитических личинок наземных мермитид, как правило, требует длительного времени и редко когда удается. До сих пор нам неизвестно ни одного успешного опыта доведения личинок мермитид из клопов до взрослой стадии. Поэтому потребность определения личинок мермитид является не только академической, научной задачей, но и практической необходимостью. Прёдполагалось, что в клопах паразитируют мермитиды рода *Agamermis* Cobb, Steiner, Christie. Судя по совокупности признаков к этому роду могла быть отнесена мермитида, выведенная из клопа *Saldula saltatoria*, собранная доктором Е. Липа в Польше. Она описана нами в качестве особого вида *Agamermis saldulae* (Rubzov, 1969). По размерам и пропорциям тела она не могла быть отождествлена ни с одним видом этого рода, судя по данным сводки Положенцева и Артюховского (1959). Второй вид мермитиды *Mermis pentatomiae*, описанной нами из личинки клопа *Elas-*

mothus interstinctus L., собранного в Сибири (Рубцов, 1960), отличается наличием околосоротовых папилл и явно относится к другому роду. Провизорно он отнесен к роду *Mermis*. Описываемый в настоящей заметке третий вид мермитид из клопов *Dolycoris baccarum* L., собранных в Азербайджане, резко отличается от двух вышеназванных, что нетрудно видеть из сравнения признаков на рисунках деталей строения головной капсулы, хвоста, продольных хорд, расположения амфидов, размеров и пропорций тела. По совокупности признаков он ближе всего к видам рода *Amphimermis*. Постпаразитические личинки (3 особи, из них одна—неудовлетворительной сохранности) нового вида *Amphimermis dolycoris* sp. p. выведены из названного клопа и переданы Алиевым для изучения автору.

Таким образом выясняется, что в клопах паразитирует целый ряд видов мермитид из разных родов. Наше отнесение двух видов к родам *Mermis* и *Amphimermis* до известной степени провизорно и не исключено, что новые виды относятся к особым родам. Для решения этого вопроса необходимо довести свободно вышедших личинок до взрослой стадии червя.

При описании вида мы пользуемся принятыми у нематодологов сокращениями, где: n —число особей; L —длина тела, м.м.; a —отношение длины тела к его диаметру; b —отношение длины тела к длине пищевода; v —расстояние до вульвы от переднего конца тела, выраженное в процентах к длине тела.

Amphimermis dolycoris Rubzov, sp. p. (рисунок)

♀. ($n = 2$); $L = 180$ (178—182); $a = 550$ (540—560); $b = 15$; $V = 50\%$

Самка. Зрелая постпаразитическая личинка. Головная капсула спереди обрублена, лишь слегка выпуклая, сзади расширяется постепенно и тело приближается к наибольшему диаметру лишь на расстоянии 1,2—1,5 см. Хвост заметно суживается лишь к концу, тупой, с тонким хвостовым придатком длиной 30 мк. Диаметр головной капсулы 60—65 мк, на уровне нервного кольца—150 мк, посреди тела—325 мк, т. е. диаметр тела превосходит диаметр головы в 5 раз. Кутину с явственными косо перекрещивающимися волокнами. Толщина кутину на большей части тела 8—10 мк сзади до 15 мк, к хвостовому придатку утончается до 10 мк, на головной капсule спереди—тонкая—около 3—4 мк. Латеральные хорды спереди из 2—3 рядов клеток (lh_1), посредине из 3 высоких столбчатых клеток, сзади перед хвостом и на хвосте из 4—5 рядов. На большей части тела ширина латеральных хорд около 1/4 диаметра тела. Вентральные хорды из 2-х рядов клеток простираются вдоль всего тела; дорсальные—оканчиваются позади нервного кольца. 6 папилл на одном уровне. Амфиды маленькие, с отверстием на уровне папилл. Рот конечный. Пищевод с утолщениями на переднем конце и мускулатурой, подходящей к ним; его диаметр 4 мк, длина около 12 м.м. Трофосома спереди приострена, начинается позади нервного кольца на расстоянии примерно равном диаметру тела, сзади оканчивается не достигая конца тела на 3/5 его диаметра. Жиробелковые гранулы трофосомы очень мелкие, диаметром около 3 мк. Зачаток вагины около средины тела. Яичники с 3 рядами овоцитов. Выделительная пора не обнаружена.

Хозяин—клоп *Dolycoris baccarum* L.

Место и дата сбора. Азербайджан, Закатальский р-н, село П-Тала, 12. VII 1969 (Алиев).

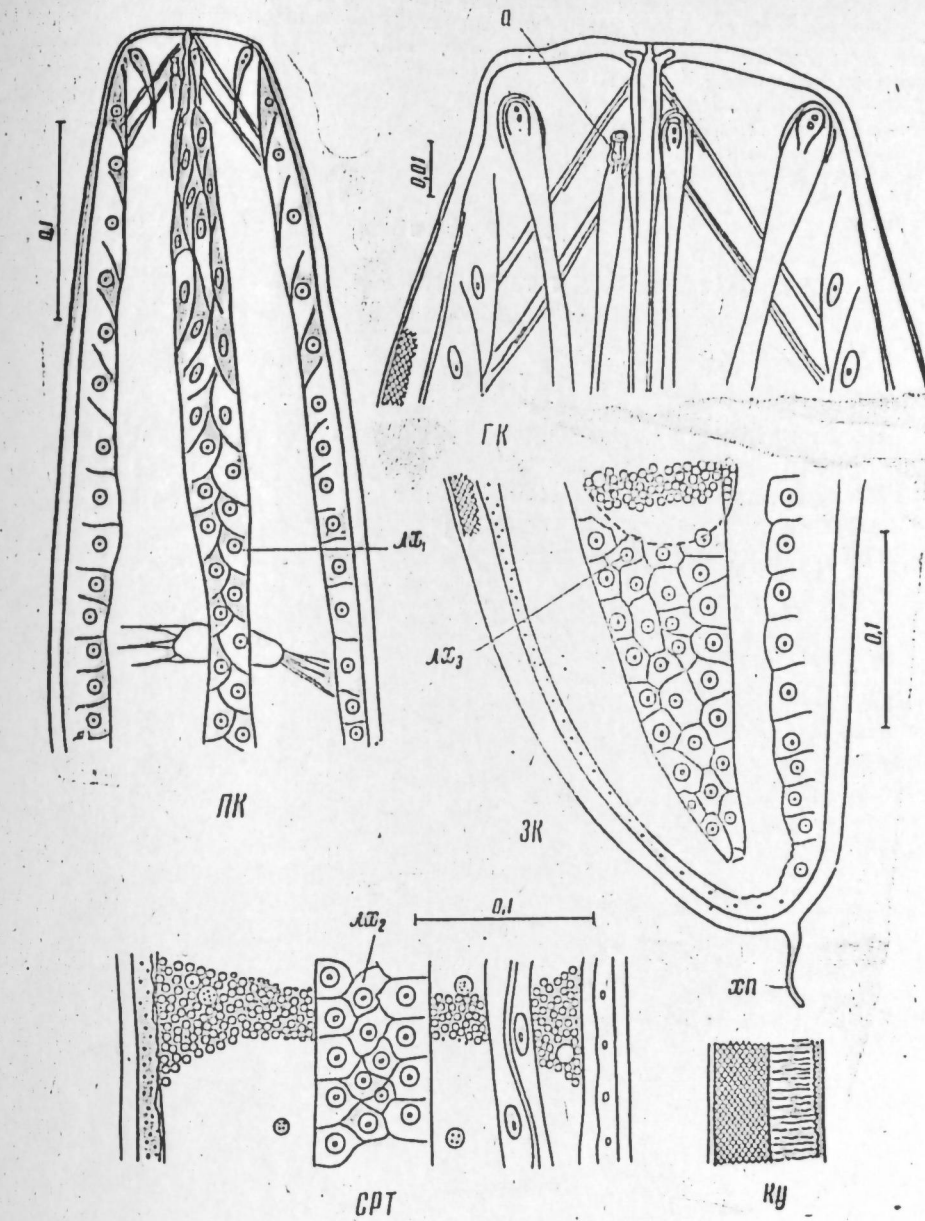


Рис.
Amphimermis dolycoris sp. p. Зрелая постпаразитическая личинка самки. ПК—передний конец тела; ГК—головная капсула; ЗК—задний конец тела; ГРТ—продольный срез тела; КУ—кутину; ХП—хвостовой придаток; КУ—кутину; lh_1 , lh_2 , lh_3 —латеральные хорды на разных участках тела.

Отличается от других видов этого рода формой, размерами и пропорциями тела, расположением амфидов, строением продольных хорд и хвостового придатка.

Голотип—личинка самки в препаратах №№ 7411а и 7411б хранится в Зоологическом институте Академии наук СССР.

ЛИТЕРАТУРА

- Положенцев П. А. Об изученности червей, паразитирующих в насекомых СССР. Бюлл. Моск. об-ва испыт. природы, отд. биол., 62, 1: 19—36, 1957.
- Положенцев П. А., Артюховский А. К. К систематике семейства Mermithidae. Зоол. журн. 38: 816—828. 1959.
- Рубцов В. Г. (1883) (*Dorylaimata*, *Enopliida*). Зоол. журн. 38: 816—828. 1959.

И. А. Канатмни и диагностике личинок мермисов. *Зоол. журн.*, 41: 650—675, 1965.
4. Rubzov J. A. On a new species of *Agamermis* (*Mermithidae*) of a bug in Poland. *Acta Parasit. Polonica*, XVI, 13: 97—100, 1969. 5. Рубцов И. А. Новый вид мермитид из клопа. В сб. *Новые и малоизвестные виды фауны Сибири*, вып. 3: 102—106, 1970! 6. Hagmeier A. Beitrage zur Kenntnis der Mermithiden. *Zool. Jahrb., System. Teil.*, 32: 521—596, 1912.

Зоологический институт АН СССР

Поступило 23. XII 1970

И. А. Рубцов

Азэрбајчанда битки тахтабитисинде тапылмыш
јени мермитид нөвү

ХУЛАСЭ

Мәгаләдә Азэрбајчан әразисинде јашајан *Dolycoris baccarum* L. адлы битки тахтабитисинде тапылмыш вә *Amphitermis dolycori*. Rubzov, sp. n. адландырылмыш јени мермитид нөвү тәсвир ёдилүр. Ыамин тәсвир диши фәрдә мәхсүс јеткин постпаразитик сүғфәнин гүрулушуна әсасән верилмишdir.

АЗЭРБАЙЧАН ССР ЕЛМЛӘР АКАДЕМИЯСЫНЫН МӘРҮЗӘЛӘРИ
ДОКЛАДЫ АКАДЕМИИ НАУК АЗЕРБАЙДЖАНСКОП ССР

ТОМ XXX

№ 1

1974

УДК 632. 594

ГЕНЕТИКА

Чл.-корр. М. А. АЛИ-ЗАДЕ, А. А. ИСМАЙЛОВ

РЕАКЦИЯ РАСТЕНИЯ ХЛОПЧАТНИКА НА ГЕРБИЦИДЫ
ПО ПОКАЗАТЕЛЯМ НУКЛЕИНОВОГО ОБМЕНА

Применение гербицидов на хлопковых полях имеет большую перспективу. Не случайно в последнее время все научно-исследовательские учреждения по хлопководству приобретают и испытывают большой набор различных гербицидов против сорняков на хлопковых полях. При испытаниях исследователи обращают внимание не только на действие этих гербицидов на сорные растения, но и следят за реакцией самого хлопчатника.

В последнее время опубликованы результаты ряда работ, выполненных главным образом в Среднеазиатских республиках; где изучалось влияние гербицидов на нуклеиновый и азотистый обмен у растений хлопчатника. Испытание гербицидов проводится и в нашей республике (Азерб. научно-исслед. Ин-т хлопководства, г. Кировабад). На базе опытов в данном институте проводились некоторые физиологические и биохимические исследования по установлению влияния гербицидов на содержание нуклеиновых кислот и азотистых веществ в листьях хлопчатника [1, 2, 3].

Цель настоящей работы заключается в изучении действия новых препаратов при сравнении с испытанными гербицидами на нуклеиновый и азотистый обмен у хлопчатника.

Полевые опыты закладывались в 1969 г. Посев семян проводился 24-го апреля, а опрыскивание почвы растворами гербицидов (см. табл. 1) через день после посева, т. е. 25-го апреля в АзНИХИ на районированном сорте 2421 улучшенный. Размер опытной делянки 90 m^2 , повторность 4-кратная.

В разные фазы роста и развития растений брались пробы листьев для исследования на содержание нуклеиновых кислот. Результаты определений содержания нуклеиновых кислот в верхушечных самых молодых листьях, взятых в фазу бутонизации, приведены в табл. 1.

Применение гербицидов не оказалось определенного действия на содержание РНК в молодых верхушечных листьях хлопчатника, находящегося в фазе бутонизации. Некоторое исключение составляет применение кортона в дозе 3,0 кг/га. Под влиянием такой дозы гербицида установлено определенное снижение содержания РНК.

По остальным вариантам уменьшение или увеличение содержания

Таблица 1

Содержание нуклеиновых кислот в верхушечных листьях хлопчатника (в мг% на сухое в-во)

Варианты опыта	4. VII 1969 г.		
	РНК разница	ДНК разница	
1. Контроль	1404,6	0	129,3
2. Диурон 1,5 кг/га	1397,5	-17,1	116,8
3. То же 2,0 "	1420,8	16,2	111,7
4. Монурон 1,5 "	1388,8	-15,8	99,4
5. Которан 3,0 "	1307,1	-197,5	111,5
6. То же 4,0 "	1384,8	-19,8	112,1

РНК под влиянием гербицидов находится в пределах допустимой ошибки.

Но по показателям ДНК наблюдается существенная разница между контрольными и опытными вариантами. Все испытанные гербициды в фазе бутонизации приводят к снижению содержания ДНК в верхушечных молодых листьях хлопчатника.

В табл. 2 приведены данные, характеризующие реакцию растения хлопчатника на применение гербицидов в фазу цветения, по показателям нуклеиновых кислот.

Пробы листьев брались с верхних (8—9) и средних (4—5) симподиальных побегов.

Таблица 2

Варианты опыта	4 и 5 симподии				8 и 9 симподии			
	2 и 3 листья 25. VII 1969 г.				1 и 2 листья 27. VII 1969 г.			
	РНК	разн.	ДНК	разн.	РНК	разн.	ДНК	разн.
1. Контроль	643,5	—	78,1	—	639,6	—	66,7	—
2. Диурон 1,5 кг/га	673,0	29,5	67,2	-10,9	851,2	212,2	90,3	23,6
3. То же 2,0	462,0	-181,5	72,6	-9,5	811,4	171,8	90,3	21,2
4. Монурон 1,5	696,8	53,3	71,4	-6,7	851,2	211,2	87,3	20,6
5. Которан 3,0	663,9	20,4	70,8	-7,3	890,1	250,5	78,3	11,6
6. То же 4,0	542,4	-101,1	69,3	-8,7	750,5	110,9	74,5	7,8

Из приведенных в таблице данных видно, что под влиянием гербицидов содержание РНК в сравнительно старых листьях 4–5 симподий изменяется незначительно. Только в одном случае под действием диурона, внесенного из расчета 2 кг/га, наблюдается снижение содержания РНК в этих листьях. В более молодых листьях 8 и 9 симподиальных побегов наблюдается заметное увеличение РНК по всем вариантам опыта. По показателям ДНК в старых и молодых листьях получены взаимоисключающие результаты. Если в старых листьях 4–5 симподий по всем вариантам наблюдается снижение относительного содержания ДНК, то в молодых листьях 8 и 9 симподиальных побегов имеет место заметное увеличение ДНК под влиянием испытанных гербицидов. Приведенные данные свидетельствуют о стимулирующем действии гербицидов на синтез нуклеиновых кислот в молодых листьях хлопчатника. Наибольший эффект в этом направлении по показателям РНК был получен от внесения 3,0 кг/га каторана.

Таблица 3

Влияние гербицидов на содержание нуклеиновых кислот в листьях хлопчатника в фазе коробкообразования (мг% на сухое в-во)

Варианты опыта	4 и 5 симподии				8 и 9 симподии			
	2 и 3 листья		1 и 2 листья					
	РНК	разн.	ДНК	разн.	РНК	разн.	ДНК	разн.
1. Контроль	497,0	—	55,8	—	443,4	—	57,4	—
2. Диурон 1,5 кг га	481,0	-16,0	71,0	15,2	478,1	34,7	67,6	10,2
3. То же 2,0	466,5	-30,5	72,0	16,2	537,4	94,0	66,3	8,9
4. Монурон 1,5	446,6	-50,4	71,3	15,5	519,5	76,1	68,3	10,9
5. Которан 3,0	458,1	-38,9	71,2	15,4	510,3	66,9	79,6	18,3
6. То же 4,0	521,8	24,8	68,9	13,1	416,5	73,1	66,7	9,3

Гербициды оказывали свое действие и в поздней фазе развития хлопчатника, но в более слабой форме.

В табл. 3 приведены данные, характеризующие уровень нуклеинового обмена хлопчатника в фазе плодообразования. Из этих данных видно, что в листьях 4 и 5 симподиальных побегов содержание РНК не изменяется, хотя определенная тенденция к некоторому снижению имеется. В листьях же 8—9 симподий эта тенденция направлена к увеличению содержания РНК под влиянием гербицидов. В обоих случаях все испытанные гербициды привели к увеличению относительного содержания ДНК в листьях хлопчатника в фазе плодообразования.

ЛИТЕРАТУРА

1. Али-заде М. А., Джавадова Л. Г. Влияние гербицидов на содержание нуклеиновых кислот в листьях хлопчатника. Материалы I Закавказск. конф. по физиологии растений. Изд-во АН Азерб. ССР, Баку. 1967. 2. Джавадова Л. Г. Содержание нуклеиновых кислот в листьях хлопчатника в связи с применением гербицидов. Второй биохимический стезд II секция. Механизм действия регуляторов роста растений. Ташкент, 1969. 3. Али-заде М. А., Джавадова Л. Г. Стимулирующее действие гербицидов на синтез нуклеиновых кислот в листьях хлопчатника. В сб. "Стимуляторы роста организмов", Вильнюс, 1969.

Институт генетики и селекции

Поступило 12. X 1970

М. А. Элизадэ, А. Э. Исмаилов

Памбыг биткисинин нуклеин мүбадиләсі көстәричисинә көрә
нөрбисидләрә гаршы һәссаслығы

ХУЛАСӘ

M. A. Ali-zade, A. A. Ismailov

The reaction of the cotton plant on the herbicides by the indices of the nucleic exchange.

SUMMARY

Put to the test of the effect monuron, diuron and coloron on the content nucleic acids in the cotton leafs. Determined the increase of the content DNA into the leafs under the effect herbicides.

УДК—616.24—089

МЕДИЦИНА

Л. Г. МАМЕДБЕКОВА, И. М. ИСАЕВ, Ч. М. ДЖАФАРОВ

К ИННЕРВАЦИИ КУЛЬТИ БРОНХА И ЛЕГКИХ
ПОСЛЕ ИХ РЕЗЕКЦИИ

(Представлено академиком АН Азербайджанской ССР Д. Ю. Гусейновым)

В настоящее время анатомо-гистофизиологическими и патоморфологическими исследованиями доказано, что при различных хронических заболеваниях (бронхокситической болезни, пневмосклерозах различной этиологии и пр.), часто наблюдаемые функциональные нарушения со стороны легочно-сердечного аппарата, в основном, имеют первично-рефлекторное происхождение (Г. И. Забусов, 1941; В. Ф. Лашков, 1948—1963; В. В. Куприянов, 1950, 1959; Э. М. Коган, 1960—1963; Н. Е. Ярыгин, 1959; И. М. Исаев, 1966; И. М. Исаев, Л. Г. Мамедбекова, 1969 и др.).

Надо полагать, что иннервационные механизмы принимают активное участие в процессах заживления операционных ран; тонкие нервные приборы бронхолегочной системы реагируют на любые функциональные отклонения и морфологические нарушения их структуры.

Исходя из этого мы поставили перед собой задачу выяснить какова роль нервного аппарата при заживлении ран после краевой резекции и лобэктомии и его участие в процессе рубцевания культи бронха при этом.

Нами проведены исследования иннервационных приборов, легочной ткани и культи бронха после краевой резекции и лобэктомии на собаках в 2-х сериях опытов.

При этом обращено внимание и сопоставлены изменения, наблюдающиеся в тонких нервных структурах в процессе заживления культи бронха и легочной ткани, обработанных различными методами: 1) в I серии (на 8 собаках) ручным способом с заживлением культи однорядным шелковым швом; 2) во II серии (на 7 собаках) механически сшивающим аппаратом УКЛ-40 с накладыванием танталовых скрепок.

В обеих сериях животные забивались на 5, 10, 15, 20, 30-й дни после операции.

Культи бронха и легочной ткани фиксировали в 20%-ном растворе нейтрального формалина. Исследования произведены обзорными (окраска гематоксилин-эозин, по Ван-Гизону) и специальными (импрегнацией серебром по Бильшовскому-Грос) методами.



Рис. 1. Дистрофия, гипераргентофилия мягких волокон в первом пучке среди отечной грануляционной ткани. I серия, 5-й день после лобэктомии. Импрегнация по Бильшовскому-Грос. Фото $\times 300$.

Рис. 2. Дистрофия толстых мягких волокон в первом пучке в очаге кровоизлияния и воспалительной инфильтрации. I серия, 10 день после операции. Импрегнация по Бильшовскому-Грос. Фото $\times 350$.

Рис. 3. Дистрофия, неравномерные утолщения нервных волокон в первых пучках среди отечной ткани. I серия, 15-день после операции. Импрегнация по Бильшовскому-Грос. Фото $\times 350$.

Рис. 4. Ветвления гипераргентофильных нервных волокон среди отечной грануляционной рубцующейся ткани. I серия, 30-й день после операции. Импрегнация по Бильшовскому-Грос. Фото $\times 350$.

Рис. 5. Фрагмент сильно разросшихся нервных волокон в одном из пучков. II серия, 5-й день после операции. Импрегнация по Бильшовскому-Грос. Фото $\times 30$. Рис. 6. Участок сильно разросшихся нервных волокон в одном из фрагментов первого пучка. II серия, 10-й день после операции. Импрегнация по Бильшовскому-Грос. Фото $\times 350$.

В I серии экспериментов, на 5-й день после лобэктомии в культе бронха, зашитой однорядным шелковым швом, среди отечной грануляционной ткани выявлены нервные пучки с деструкцией, резко выраженной дистрофией, гипераргентофилией мягких нервных волокон.

Наиболее выраженные изменения в виде резкой дистрофии, деструкции, неравномерного набухания, утолщения обнаружены в толстых мягких волокнах, и в меньшей степени в безмягких волокнах, проходящих в составе одних и тех же нервных пучков.

Следует отметить, что эти изменения больше всего встречаются непосредственно в патологических очагах кровоизлияния в случаях с резкой деструкцией бронха, с фибринозно-гноино-геморрагическим воспалением, на 10—15-й день после лобэктомии (рис. 2, 3).

На 20—30-й дни после краевой резекции и лобэктомии среди отечной грануляционной и рубцующейся ткани в нервных структурах наряду с дистрофическими изменениями обнаружены процессы регенеративного, компенсаторно-приспособительного характера (рис. 4).

Во II серии экспериментов, в которой нами применен механически сшивающий аппарат УКЛ-40, на 5-й день после операции в культе бронха видно формирование молодой грануляционной ткани со слабо выраженной гистоцитарно-лимфоидной инфильтрацией. На фоне этой ткани выявлены фрагменты нервных пучков с сильно разросшимися нервными волокнами в них (рис. 5).

На 10—15-й дни после операции отмечается разрастание волокнистой соединительной ткани с очагами воспалительных инфильтраций. Здесь также отмечается пышное разрастание нервных волокон, в составе довольно массивных пучков (рис. 6).

Разрастающиеся нервные волокна снабжены неравномерно распределенными варикозностями "роста".

В очагах растущей грануляционной ткани вместе с тем отмечается пролиферация глиоцитов и соединительнотканых клеток вокруг нервных волокон и пучков (рис. 7). Здесь прослеживается тесная связь нервных волокон с швановскими клетками — клиоцитами.

В очагах грануляционной ткани, новообразующейся в культе бронха, в толще стенки бронха нарезированном участке легкого наряду с нервными волокнами и пучками, в их составе и вблизи к ним обнаружены микроганглии с гипертрофией тел нервных клеток и перицеллюлярного аппарата (рис. 8).

Во II серии наших опытов, на 30-й день после операции в очагах разросшейся соединительной, рубцовой тканей изменения нервного аппарата носят преимущественно компенсаторно-приспособительный характер.

В очагах рубцевания, перибронхиального сетчатого фиброза, наряду с гиперреактивностью, гипераргентофилией нервных пучков, привлекает внимание ветвление нервных волокон с неравномерно распределенными в них варикозностями "роста" (рис. 9).

В других очагах среди рубцующейся ткани также выявлены ветвления нервных волокон, проходящий в составе нервных пучков толстого калибра. Здесь, кроме того, отмечается неравномерное разделение нервных волокон как в самом пучке, так и за его пределами (рис. 10).

В заключение следует отметить, что в I серии экспериментов культа бронха, обработанная ручным способом, зашитая однорядным шелковым швом заживает вторичным натяжением, с диффузным гноиногрануляционным, фибринозным воспалением. В обнаруженных в этих условиях нервных приборах преобладают деструктивные изменения.

Резексијадан сонра ағ чијәр вә бронх күдүлүнүн
сииирләнмәсине дайр

ХУЛАСЭ

Резексијадан сонра броңх вә ағ чијәр тохумасы күдүлүнүн сағалмасы просесинде сииир механизмләринин иштиракыны динамик сурәтдә өјрәнмәк учун 15 ит үзәриндә иккى серия эксперимент апартылыштыр. 1-чи серияда (8 итдә) күдүлә әллә тәксýралы ипек сапла, 2-чи серияда (7 итдә) УКЛ-40 аппараты илә тантал тикиши гоյулмуштур.

Бронх вә ағ чијәр тохумасы күдүлүндән көтүрүлмүш тикәләр ади вә хүсуси үсулларла мүајинә едилмишdir. Сииир чиңазларыны ашкар етмәк учун Бильшовски-Грос үсүлу тәтбиғ едилмишdir.

1-чи серия экспериментләrin нәтиҗәси көстәрмишdir ки, бронх вә ағ чијәр тохумасы күдүлүнә әллә ипек сапла тәксýралы тикиш гоյулдугда, икничили сағалма просеси мүшаһидә олунур, диффуз ириниди-фибриноз илтиhab әlamатләри нәзәрә чарпýр. Сииир чиңазларында деструктив дәјишикликләр үстүнлүк тәшкил едир.

2-чи серияда тикиш УКЛ-40 аппараты илә гоյулдугда, бронх вә ағ чијәр тохумасы күдүлүндә биринчили сағалма просеси кедир, гранулясион тохума инкишаф едир, коллагенизация вә чапыглашма мүшаһидә олунур.

Сииир чиңазларында реактив-пролифератив характерли дәјишикликләр даһа ајдын шәкилдә өзүнү көстәрир.

Апарылан тәдгигат нәтиҗәсендә мүәjjән едилмишdir ки, бронх вә ағ чијәр тохумасы күдүлүнүн сағалмасы сииир механизмләринин вәзијјетиндән асылыдыр. 2-чи серияда күдүлүн биринчили сағалмасы просеси УКЛ-40 аппараты тәтбиғ едилдикдә, тохуманын нисбәтән аз дәрәчәдә зәдәје урамасы илә әлагәдардыр.

L. N. Mamedbekova, I. M. Isaev, Ch. M. Jafarov

To the innervation of a bronchi stump and lungs after their resection

SUMMARY

The nervous apparatus of a bronchi stump and lungs after their resection is examined by the method of Bilshovsky-Gross in two series of experiments on fifteen dogs. In the first series of the experiment in the nervous apparatus of a bronchi stump, sutured by manual way destruction changes are occurred. In the second series of experiment in the nervous structure of a bronchi stump and lungs, sutured by the mechanical apparatus UKL-40 regenerative-proliferative changes are occurred.



Рис. 7. Пролиферация глиоцитов, соединительнотканых клеток вокруг первых волокон в очаге растущей грануляционной ткани. II серия, 15-й день после операции. Импрегнация по Бильшовскому-Грос. Фото X 350.

Рис. 8. Гипертрофия тел первых клеток вблизи первого пучка с ветвлением первых волокон в очаге грануляционной ткани. II серия, 15-й день после операции. Импрегнация по Бильшовскому-Грос. Фото X 350.

Рис. 9. Ветвление первого волокна в очаге разросшейся соединительной ткани. II серия, 30-й день после операции. Импрегнация по Бильшовскому-Грос. Фото X 250.

Рис. 10. Ветвление, неравномерное распределение первых волокон в первом пучке среди рубцующейся ткани. II серия, 39-й день после операции. Импрегнация по Бильшовскому-Грос. Фото X 250.

Во II серии экспериментов, в культе бронха и резецированной легочной ткани, ушитых механическим аппаратом УКЛ-40, наблюдалось заживление первичным натяжением с разрастанием грануляционной ткани, коллагенизацией и рубцеванием, а в первом аппарате — изменения реактивного, регенеративно-пролиферативного характера.

Изложенное выше, видимо, можно объяснить меньшей степенью травматизации ткани легкого.

Последнее, в свою очередь, говорит о том, что в процессах заживления культуры, организации, регенерации тканей нервный аппарат играет немаловажную роль.

АРХЕОЛОГИЯ

ГАРДАШХАН АСЛАНОВ
КУРУМЫ АПШЕРОНА

(Представлено академиком АН Азербайджанской ССР А. А. Ализаде)

До недавнего времени на Апшероне не были известны могильники типа курганов. Впервые в 1966 г. автор данного сообщения обнаружил во многих местах Апшерона немалое количество курганов¹.

Курганы зафиксированы в следующих пунктах Апшерона: в с. Тюркян (в местности Гаялыг на северной и северо-восточной окраине села), между с. Тюркян и Говсан (в местности Джяняр гяряби и Фарагат), с. Зиря (в местности Гюргян, Орта уюг), с. Гала (в местности Шабури), с. Дюбенди, Гышлаг, Билья-Нардаран, Дилях (в местности Дерегюшт).

В течение последних трех лет (1966—1969 гг.) было обследовано 15 курганов, многие из них частично оказались пустыми. Большинство было разграблено еще в древности. Полученные материалы дают основание сделать о курганах предварительные выводы.

Сохранившиеся курганы с. Зиря расположены на скалах, в местности, называемой Шяхри гюргян, у Каспийского моря. Курганы эти, состоящие из камня и песка, разграблены в сравнительно недавнее время.

В некоторых из разграбленных курганов сохранились отдельные камни или боковые плиты каменного ящика. Вокруг одного уцелевшего каменного ящика обнаружены обломки серо-глиняных сосудов, а внутри него сохранилась лишь одна бусина—каури. Во всех разграбленных курганах обнаружены обломки серо-глиняных сосудов.

Курганы с. Дюбенди по степени сохранности аналогичны вышеописанным Гюргянским в с. Зиря.

Самый большой из апшеронских курганов, называвшийся „Гоша тепе“, находится в с. Билья-Нардаран. Окруженный виноградными садами холм-курган расположен на берегу Каспия. На холме имеются остатки каменного сооружения и множество фрагментов глиняных сосудов, стекла и др. Образцы глазурованной и неполивной керамики, штампованные глиняная посуда и медная монета, собранные с поверхности холма, дают возможность датировать остатки сооружений на курганах X—XV вв. По всей территории Азербайджана многие курганы, холмы и склоны гор использовались в сторожевых целях, оче-

¹ Доклад прочитан на Всесоюзной сессии, посвященной итогам археологических и этнографических исследований в 1969 г. в СССР, в гор. Львове.

видно, построенные из известняка сооружения на курганах также служили в этих целях. В середине века многие сооружения на курганах служили также с оборонительными целями.

Первые исследования курганов в с. Тюркян проводились в 1966—1967 и 1969 гг. Большинство из них сосредоточены в скалистом местности Гаялыг. Курганы с. Тюркян внешне имеют круглый вид, середина его в форме прямоугольного склепа (сараба) и каменного ящика. Местные жители курганы называют „кюмбуллар“ и сообщают, что сооружали их в оборонительных целях.

Исследование тюркянских курганов дает основания для определения как периода и структуры, так и характера материальной культуры апшеронских памятников.

В эпоху бронзы насельники Апшерона своих покойников помещали на скале в скорченном положении, а для того, чтобы уберечь покойника от быстрой порчи, его не только обильно растирали красной охрой, но и большое количество ее клади вокруг покойника.

Рядом с покойником клади ниветарь и пищу, необходимые в загробной жизни, и только после этого приступали к строительству могилы.

Диаметр курганов с. Тюркян до начала раскопок был равен 5—20 м, в то время как диаметр непосредственного курганного строительства составляет 4—9 м. Высота их равна 0,5—2 м. Первоначальная высота курганов, безусловно, была значительно выше. Курганы с. Тюркян, построенные особым архитектурным стилем, напоминают собой так называемый ложный свод², широко применяемый в свое время в жилищном строительстве Апшерона.

Курганы заканчиваются полосообразной закругленной стеной, высотой 0,30—1,2 м, состоящей от 1 до 11 яда из кладки. С наружной стороны аккуратно сложенный круг с внутренней—представляет собой как бы вдетые части. В центральной части кургана сооружался склеп или каменный ящик (рисунок).

Курганы с. Тюркян строились различными приемами:

1. Каждый слой камней берет свое начало от склепа и заканчивается в закругленной стене. Когда высота склепа достигала 50—60 см ее перекрывали большими плитами. Последующие слои кладки строились таким образом, чтобы верхняя часть кургана получалась куполообразной.

2. После постройки склепа вокруг него наклонно клади камни, которые по мере приближения к кругу постепенно принимали горизонтальное положение. Верхняя часть также, как и в первом случае, заканчивается куполообразно.

3. Третья форма заключается в том, что курган с наружной стороны заканчивается закругленной формой, а с внутренней—устроен при помощи камня и песка.

4. Круг заканчивается одним или двумя рядами камней. С внутренней стороны камни обвалились.

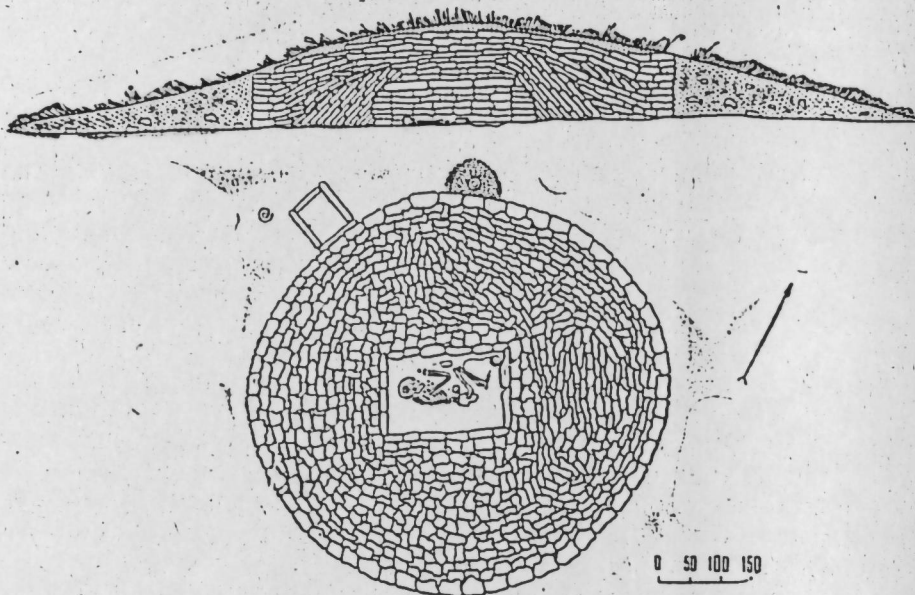
5. Вызывает сомнение первоначальная форма курганов, в которых не сохранились закругленные стены.

На некоторых курганах в последующие времена из 3—4 прямоугольных камней были устроены жертвенники. Рядом с одним курганом были обнаружены следы костища. Нередко на скальной поверхности делались чашечные углубления и ряд изображений, символизирующие луну и солнце.

² Жилые, хозяйствственные и другие здания крепости, мельница, бани и др., в настоящее время называемые „дубля“, являются прямым наследием древнего архитектурного стиля.

Различные изображения и чашечные углубления имелись также на некоторых камнях—плитах, положенных на курганы. На камнях встречаются изображения людей, животных и геометрические узоры.

На центральном камне одного из курганов имеется изображение головы козы.



Курганы Апшерона охватывают довольно продолжительный период, приблизительно от начала эпохи бронзы до начала эпохи железа.

Материальная культура Апшерона, по имеющемуся в ней комплексу новых особенностей, занимает исключительное место. Исходя из этого, материальную культуру Апшерона эпохи бронзы мы условно называем апшеронской. Наиболее близкое сходство с апшеронской культурой имеют наскальные изображения, а также синхронные материалы из поселений, построек и курганов Гобустана³.

Элементы сходства апшеронской культуры наблюдаются и в материальной культуре населения, проживающего вдоль Каспийского побережья к югу и северу от Апшеронского полуострова.

Параллели элементов апшеронской культуры наблюдаются в Дагестане и Чечено-Ингушетии⁴, а также среди материалов, отданных от Азербайджана трипольской и андроновской культурами⁵.

В конце эпохи бронзы апшеронская культура затухает под сильным напором надвигающейся с Запада Ходжалы-Кедабекской культуры.

Влияние Ходжалы-Кедабекской культуры в вышеуказанный период наблюдается по всей материальной культуре вдоль западного побережья Каспия.

³ Ф. Мурадова. Изучение памятников эпохи бронзы в Гобустане. Доклад прочитан на Всесоюзной сессии, посвященной итогам археологических и этнографических исследований в 1969 г. в СССР в г. Львове.

⁴ А. П. Круглов. Северо-Восточный Кавказ в I—II тыс. до н. э. МИА № 68, 1958, стр. 60; М. Гаджиев. О погребальном обряде племен горного Дагестана в бронзовом веке. Уч. зап. ин-та ИЛЯ Дагестанского филиала АН СССР, Махачкала, т. XIII, 1964, стр. 240—246.

⁵ А. Х. Маргулан и др. Древняя культура Центрального Казахстана. Алматы, 1966, стр. 170—171, 177; рис. 81—82, 86 и след.

⁶ А. К. Александров. Исследования по археологии и этнографии Азерб. Баку, СССР, № 2, 1941, стр. 24.

Гардашхан Асланов

Абшерон курумлары

ХУЛАСЭ

Абшеронда кургантiplи гэбир зиддэлэри 1966-чы илдэ Туркан (Гајалыг), Түркан-Невсан (Чәнкәр гәрәби вә Фарагат), Зирә (Күркан вә Орта уүг), Гала (Шабури), Дүбәндi, Гышлаг, Билкән-Нардаран (Пачан бағлары) вә Диқаһ (Дэрэ күшт) гәсәбләри эразисинде ашкар едилмишdir.

Абшерон курганлары эн гәдимдән һазыркы дөврө кими мұхтәлиф тәсәрүфат ишләри илә әлагәдар дағыдылмагдадыр. Бунларын жалын 15-дә тәдгигат иши апарылмышдыр.

Абшерон курганлары хүсуси мә'марлыг үслубунда тикилмишdir. Өлү тәпәнин орта һиссәсindә сәрдаба вә ja даш гуту ичәрисинде јерләширди. Дәфи мәрасиминде өлүнү гырмызы охра илә бојаýб, әтрафына да чохлу охра төкүрмүшләр. Чох күман ки, бу, өлүнү чурумәкдән мұнағизә етмәк мәгсәди илә едилримиш. Өлү бә'зи әшյаларла (габ, даш аләт, тунч силан, бәзәк вә с.) мушајнәт едилрди. Курганын күнбәз шәкилдә олан үстүндә дүзүлән дашларда мұхтәлиф тәсвиrlәr (hejvan, инсан вә с.) һәkk едирдиrlәr. Курганын диварынын бир тәрәфиндә 3 вә ja 4 һамарланмыш даш лөвһәдән ибарәт нәзирикаh дүзәлдиrlәr. Нәзирикаh вә ja әтрафында жалаг вә ja башга рәмзи ојмагларла аj вә ja күн рәмзи һәkk едирдиrlәr. Бир курган йаинда галын күл гаты үстүндә гырмызы рәнкли кил габ тапылмышдыр. Илк тәдгигатларла мүәjjәn едилмишdir ки, Абшерон курганлары Тунч дөврүндән башлајараг илк Дәмир дөвсүнә гәдәр давам етмишdir. Бу курганларын охшарына Гобустан, Дағыстан, Чечен-Ингушетија вә Газахистанда да тәсадуф едилмишdir.

M. Aslanov

Absheron barrows

SUMMARY

The Apsheron barrows are built in different styles. There are twisted skeletons inside the stone box and crypt in the central part. Drawings representing people, animals and hunting scenes are cut out on the stones. On the bases of the found materials they are dated from the bronze age.

УДК 821

МУЗЫКА

Т. М. СЕНДОВ

ФОРТЕПИАННЫЕ СОНАТЫ АЗЕРБАЙДЖАНСКИХ
КОМПОЗИТОРОВ 1960—1970 гг.

(Представлено академиком АН Азербайджанской ССР К. А. Каравым)

Существенную роль в оценке фортепианного творчества республики 60-х годов играет соната. Эта форма гораздо яснее отражает уровень композиторской зрелости, а более широко и уровень музыкальной культуры в целом. В этой развернутой форме композиторы получают большую возможность широкого и обобщенного выражения своих жизненных впечатлений, нежели в отдельных пьесах.

В 1961 г. Рамиз Ибрагимов написал Сонату—крупное сочинение концертного плана в трех частях. Внушительные масштабы и широкое развитие тематизма¹, виртуозный характер изложения, в котором большую роль играет крупная техника—все это сближает Сонату с жанром инструментального концерта. Написанное свежим, современным языком с широкой трактовкой лада и тональности, свободным использованием разнообразных гармонических средств, это произведение вместе с тем достаточно ясно опирается на характерные ладовые, гармонические и метроритмические особенности азербайджанской народной музыки. Одной из характерных особенностей языка Сонаты надо назвать частые смены размера—типичное свойство музыки импровизационного склада.

Двумя годами позже была написана Соната-каприччио Мусы Мирзоева. В отличие от Сонаты Р. Ибрагимова это произведение одночастично, его можно было бы назвать и сонатой-поэмой. (С другой стороны, большая роль активного ритмически-равномерного движения дает основание воспринимать это сочинение как сонату-токкату). Масштабное, содержательное и технически сложное произведение ставит перед исполнителем серьезные и разнообразные задачи. Как видно, поэтому Соната-каприччио М. Мирзоева и была выбрана в качестве обязательного сочинения для выступления пианистов, представляющих Азербайджан на Втором Закавказском конкурсе музыкантов-исполнителей.

¹ И главная, и побочная партии I части заключают в себе по два тематически различных раздела. В обеих партиях первый выполняет как бы экспозиционную функцию, а во втором дается развитие, приводящее к кульминации данной партии.

Своей образностью, активностью и широтой развития к жанру сонаты приближается Сонатина Азиза Азизова. Сонатина Олега Фельзера несколько короче. Однако в ней настолько емкий материал, что по своей содержательности она никак не уступает упомянутому выше сочинению. В большой мере это обстоятельство определяется полифонической насыщенностью музыки О. Фельзера.

Сонатина Эмина Махмудова адресована детям-исполнителям. Это разнообразное по содержанию и близкое ребятам по образам произведение во многом перекликается с сонатинами С. Прокофьева и Д. Кабалевского: в ней тут же мягкий юмор, теплый лиризм, те же "детские шалости". II и III части имеют авторские названия—"Ноктюрн" и "Юмореска", что очень существенно с педагогической точки зрения. Доступная и понятная детям свысока образами, Сонатина Э. Махмудова вместе с тем ставит перед ними ряд значительных технических сложностей—главным образом в финале. Это и аккорды, превышающие октаву, и октавы в левой руке при проведении мелодии, и одновременная игра в трех регистрах. Имея в виду юных исполнителей, можно было бы, вероятно, привести пианистическую сторону Сонатины в большее соответствие со столь привлекательной ее сбразной стороной.

Слушателям концертов известны еще две сонаты, созданные молодыми композиторами—Фараджем Каравым и Франгиз Ализаде. Вторая соната Ф. Карава, написанная в 1967 г., состоит из двух частей—медленной и быстрой. При этом, I часть сочетает в себе черты традиционных начальных сонатных частей и в то же время медленных частей сонатного цикла, тогда как II часть обнаруживает ясные признаки скерцо и традиционных сонатно-циклических финалов. Как видно, продолжая и развивая те находки Кафа Карава, которые связаны с использованием тонально рассредоточенной двенадцатitonовой системы² композиции на азербайджанской национальной почве (Третья симфония, Скрипичный концерт), Фарадж Карав в своей Сонате опирается и на эту систему, и на характерные особенности азербайджанского фольклора.

I часть ($d=88-92$) начинается и завершается своеобразным авторитетическим кадансом в соли-диез миноре. Этот же каданс отделяет и первый этап развития основного материала от продолжения части.

Вся часть строится на развитии одного материала—ряда 12-ти неповторяемых звуков: gis—h—fis—d—... и т. д. Строго говоря здесь нет главной и побочной партий. Однако активное развитие исходного материала, доходящее до контраста (сравним начало с разделом *più mosso*) сближает эту часть с традиционными сонатными *allegri*.

В I части преобладает несколько затененное, лирико-элегическое настроение. Оно создается многократными повторами коротких, в большей части двувзвучных интонаций поочередно во всех пяти голосах. Образуется густая, "вязкая" фактура, в которой каждый голос живет своей напряженной мелодической жизнью. Вся композиция части складывается как бы из двух "кругов" развития исходного материала. "Малый круг" представляет собой его первоначальное изложение с естественным просветленным продолжением, которое завершается уже упомянутым кадансом (32—33 такты). Следующий, "большой круг" начинается с резкого преобразования—регистровый разброс звуков первоначального ряда, ритмические усложнения, ускорение темпа. Постепенно развитие приводит к главной кульминации и "упирается" в многократное повторение ракохода начальной интонации h—gis.

² Терминология М. Тараканова.

Небольшой спад подводит к репризе, начатой сразу с четвертого такта основного материала, но зато расширенной изнутри. Заключительные такты части восстанавливают первоначальное настроение, а третье проведение соль-диез-минорного каданса знаменует ее окончание.

II часть более подвижна ($d=126-132$) и вместе с тем более конструктивно симметрична, чем первая—она написана в симметричной пятичастной форме ABCBA. В начале и в конце финала звучит острая, „колючая“ музыка (A), напоминающая второй этап развития в I части Сонаты. Здесь также „пувантилистски“ разбросаны по разным регистрам звуки исходного ряда a—h—d—es—... и т. д.

Обращает на себя внимание новый ритмический элемент—самое низкое до с равномерной репетицией. Из повторений одного звука в дальнейшем вырастает второй (он же четвертый) раздел части (B), в котором повторность созвучий определенно связывается с ашугским исполнением на сазе.

Этот раздел своим энергичным, даже ожесточенным звучанием ярко контрастирует с предшествующей таинственно-фантастической музыкой первого раздела. Однако это подражание сазу постепенно стихает и подводит к третьему разделу финала—С.

„Сердцевину“ финала составляет краткий, но очень выразительный эпизод, в котором возвращаются темп, фактура и интонации I части Сонаты (фермата, Тетро I (I), pp).

Затем снова звучит музыка второго раздела, но в возвратном движении: начинаясь также тихо, как она завершилась перед средним эпизодом, она постепенно достигает того же изложения и той же предельной силы звучности, с какой началась перед серединой. На ее вершине снова возникает музыка первого раздела.

Реприза фактически не отличается от первоначального изложения.

В целом Вторая соната Ф. Караева производит впечатление высокопрофессионального произведения, отличающегося образной содержательностью, оригинальным, но естественным развитием и конструктивной цельностью.

Другое сочинение, в котором применяется аналогичная техника—соната „Памяти Альбана Берга“ Франгиз Ализаде (1969). Написанная с юношеской увлеченностью. Соната пронизана романтическостью в лучшем смысле этого слова. Здесь пока еще нет того мастерства, с каким написана Соната Ф. Караева, здесь нет еще его „умения властвовать собою“ и полностью подчинять своим замыслам многообразные средства современной фортепианной техники. Но искренность, открытая эмоциональность в большой мере искупают эти недочеты.

В Сонате Ф. Ализаде три традиционные части—сонатное allegro, медленная, напоминающая баркаролу II часть и экспрессивный, стремительный финал. Не случайно, как видно, композитор посвятила свою Сонату А. Бергу, который очень свободно сочетал приемы новой (для того времени) двенадцатitonовой техники с классическими традициями. В Сонате Ф. Ализаде очень ясно—может быть даже слишком ясно—разграничены эти две сферы. Тематический материал здесь создается на основе неповторения звуков хроматического ряда. Это можно показать практически на любой теме из Сонаты—будь то главная или побочная партии I части, основная или серединная темы II, тематизм финала. Развитие же осуществляется давно испытанными путями. Тут и чрезмерное употребление репризионной трехчастности (и в главной партии I части, и в начале побочной), и вообще принципа репризиности (слишком строгое соблюдение норм построения сонатной формы, репризиность форм II и III частей). Понятно, что такое разграничение не способствует органичному единству всего произведения в целом. И все же соната слушается с интересом и остав-

ляет яркое впечатление в силу образной рельефности, сравнительно нового для азербайджанской музыки языка, естественной, хотя и во многом не оригинальной, формой.

Итак, сонатное творчество 60-х годов отмечено большим разнообразием. Композиторы в рамках одной и той же формы ставят перед собой различные задачи. Таким образом, появляются произведения, почти противоположные по своему масштабу—от концертного размаха и широко развитого тематизма Сонаты Р. Ибрагимова до прозрачной образности Сонатины Э. Махмудова, рассчитанной преимущественно на детское восприятие и исполнение. Да и по фактуре эти сочинения отличаются весьма значительно; в этом отношении выделяется насыщенностью музыкальной ткани Сонатина О. Фельзера. Конструктивные особенности всякий раз диктуются самим содержанием музыки. Если, скажем, в Сонате-каприччио М. Мирзоева преобладают романтические тенденции, то в Сонате Ф. Караева на первом плане интеллектуальное начало.

Совершенно индивидуален и подход к конструированию сонатного цикла в целом. Мы встречаемся здесь с развенутой, „полной“ формой сонатного развития в трех частях—произведения Р. Ибрагимова, А. Ализаде, Э. Махмудса, О. Фельзера, Ф. Ализаде. Соната Ф. Караева состоит из двух частей, а М. Мирзоев заключает музыкальное повествование в одиночные рамки. В то же время следует отметить различия в жанровой трактовке сонатного материала. Так, типичные свойства концертного жанра—интенсивное тематическое развитие, виртуозный характер изложения при солидном удельном весе крупной техники—имеются в Сонате Р. Ибрагимова. А Сонату-каприччио М. Мирзоева благодаря преобладанию ритмически-равномерного движения можно было бы определить как сонату-токкату. Единый поток развития, определенная композиционная свобода придают этому сочинению черты внутренне импульсивной поэмы.

Как правило, сонаты при всем богатстве содержания лишены какой бы то ни было литературной программы. Однако встречаются некоторые поиски и в этом направлении. Элементы программности, безусловно, присутствуют в Сонатине Э. Махмудова, на что указывают заголовки II и III частей („Ноктюрн“ и „Юмореска“).

Наконец, о выразительных средствах сочинений этого жанра. Композиторы продолжают использовать плодотворные традиции национальной музыки, отдельные фольклорные обороты и интонации (М. Мирзоев, А. Ализаде, Р. Ибрагимов). Одновременно происходят попытки увязать азербайджанские национальные истоки с новейшими приемами композиторской техники (Ф. Караев, Ф. Ализаде).

Институт архитектуры и искусства

Т. М. Сеидов

Поступило 22. VI 1972

1960—1970-чи илләрдә Азәрбајҹан бәстәкарларынын фортециано учун јазылыш сонаталары

ХУЛАСА

Республика бәстәкаrlынын 60-чи илләр фортециано јарадычылыгыны гүјмәтләндирәкән соната хүсуси әһәмијәт касб едир. Бәстәкарлар ejni жанр фәмасы үзәриндә ишләркәn az һәчмли, гурулушу вә соната материалынын ифадә хүсусијәтләri e'tibarilә фәргләнән мұхтәлиф есәрләr јарадырлар.

Бу жанрын јарадылмасы саһәсендә истифадә олунан ифадә васи, тәләри, дә тамамилә фәгди хүсусијәт дашиыр. Бәстәкарлар милли мусигинин мұсбәт ән'әнәләрнән, ајры-ајры фолклор мотивләрнән, вә интонасијаларында истифадә етмәкдә давам едирләr (Э. Эзизов,

М. Мирзәев, Р. Ибраһимов, Е. Махмудов). Ейни заманда Азәрбајҹан халг мусигисинин ән сәчијјәви хүсусијәтләрини јени композиција техникасы илә әлагәләндирмәк тәшәббүсләри мүшәнидә олунур (Ф. Гарәев, Ф. Элизадә).

T. M. Seidov

Piano sonatas of Azerbaijan composers in 1960—1970

SUMMARY

Sonata plays an essential part in the estimation of the piano activity of the Azerbaijan republic composers of the sixties. In the limits of one and the same form composers create compositions different by their scale, constructions and genre interpretation. The choice of expressive means in this genre compositions is quite individual. Composers continue to use fruitful traditions of national music, separate folklore intonations (A. Azizov, M. Mirzoev, R. Ibragimov, E. Makhmudov). At one and the same time efforts to connect characteristic properties of Azerbaijan national music with the latest methods of a composer's technique (F. Karayev, F. Alizade) take place.

МУНДӘРИЧАТ

Диференциал тәнлил

Э. П. Махмудов, Ле Дык Кјем. Никлиборкун баллистик мәсәләсинин һәлләрини С. Н. Бернштейни чохнәдлиләри васитәсила јаҳынашдырылмасы 3

В. К. Кәйтәров. Молекулјар акустиканы бир синиф гејри-стасионар системләри учун гарышыг мәсәләнин тәдгиги 8

Ријазијјат

Г. Т. Эһмәдов, С. В. Исаилов. Кечикән аргументли диференциал тәнликләр системи үчүн сингулјар башлангыч мәсәләни нәзәријәсинә даир 12

Һидромеханика

И. М. Аметов, Р. И. Гулиев, Ф. Е. Агаев. Осмоскепирмә әмсалының өкс мәсәләләринин тө'јини үзәр һәлли 16

Газма

З. Н. Кәримов, Ф. Э. Шихәлиев, К. Э. Кулев, И. И. Элиев. Тутулмуш газыма бору кәмәринин пулсансијалы өзлү маје ахыныны тә'сири илә мәчбури рәгси 19

Гејри-үзви кимја

Р. J. Элиев, М. Н. Һүсейнов. Синкин һидразинилә комплекс бирләшмәләри 25

Нефт-кимја синтези

С. Э. Элијева, Т. Н. Шаитахински, Х. И. Садыхова, С. Э. Гулијева. Катализаторун гајнар лајында хлорпренин оксидләшмә аммонолизинидән хлормаленин туршусу динитрилинин алымасы просеси 29

Нефт вә газ қеолокијасы

К. М. Кәримов, Э. В. Маммадов. Құр чөкәклијинин шәрг һиссәсіндә мезозој өңекүнүләринин јатма дәрнилиji вә шәранти 33

Кеофизика

Ш. Н. Маммадов, И. Н. Мұхтаров, Б. А. Осполова. Дағ газмаларының штаңг бағларла бәркидилмәси илә әлагәдар олан мәсәләләрни һәлли үчүн импулс-сејсмики үсуулун тәтбиги 38

Нефт қеолокијасы

Р. Р. Рахманов. Палчыг вулканларының Іер габығының чөкүтү гаты илә әлагәсінин қеоложи аспектләри 43

Газма

С. М. Гулијев, Г. Г. Габузов. Боруларда нормал килли мәһлүлларын ахымы-шәрантиндә қеоложи консистент әјриләри 46

Литологија
Н. Ж. Хәлилов, М. Б. Хејиров. Кешифийят газынасынын бәзі мәсөләләринин һәлли илә әлагәдәр оларға Бакы архивелагы Мәңсүлдар гатының жуҳары шөбәсі күлләринин тәдгиги 32

Битки анатомијасы

З. А. Новрузова, Н. М. Чапар. Тәрәчиқәклиләр фәсиләсінин гурулуш элементләринин әмәлә қалмасы 59

Нелминтологија

И. А. Рубцов. Азәрбајчанда битки тахтабитисинде тапылмыш жени мермитид нөвү 63

Кенетика

М. А. Элизадә, А. Э. Исајлов. Памбыг биткисинин нуклеин мұбадиләсі көстәричисине көрә һербисидләре гарышы һәссаслығы 67

Тибб

Л. І. Мәммәдбәјова, И. М. Исаев, Ч. М. Чәфәров. Резексијадан соңра ағ чијәр ва броих құдұлунұн синирләмәсінә даир 71

Археологија

Гардашхан Асланов. Абшерон курумлары 76

Мусиги

Т. М. Сејидов. 1960—1970чи илләрдә Азәрбајчан бәстәкарларының фортеңінде үчүн жазылмыш сонаталары 80

32

59

63

67

71

76

80

СОДЕРЖАНИЕ

Дифференциальные уравнения

А. П. Махмудов, Ле Дык Қым. О приближении решений баллистической задачи Никлиборка многочленами С. Н. Бернштейна 3
В. К. Калантаров. Исследование смешанной задачи для одного класса нестационарных систем молекулярной акустики 8

Математика

Член-корр. К. Т. Ахмедов, С. В. Исаилов. К теории начальной сингулярной задачи для систем обыкновенных дифференциальных уравнений 12

Гидромеханика

И. М. Аметов, Р. И. Қулиев, Ф. Е. Агаев. Решение обратных задач по определению коэффициентов осмотического переноса 16

Бурение

З. Г. Қеримов, Ф. А. Шихалиев, Қ. А. Қулиев, И. И. Алиев. Вынужденное колебание прихватченной колонны бурильных труб под действием пульсирующего потока вязкой жидкости 19

Неорганическая химия

Р. Я. Алиев, М. Н. Гусейнов. Комплексные соединения цинка с гидразином 25

Нефтехимический синтез

Чл.-корр. АН Азерб. ССР Т. Н. Шахтахтинский, С. А. Алиев, Х. И. Садыхова, С. А. Қулиева. Получение динитрила хлормалениновой кислоты окислительным аммонолизом хлорпрена в псевдоожженном слое катализатора 29

Геология нефти и газа

К. М. Қеримов, А. В. Мамедов. Глубина и условия залегания мезозойских отложений в восточной части Курийской впадины 33

Геофизика

Академик Ш. Н. Мамедов, Г. Г. Мухтаров, Б. А. Осипова. Применение импульсного сейсмического метода для решения задач, связанных с закреплением кровли горных выработок штанговой крепью 38

Геология нефти

Р. Р. Рахманов. Геологические аспекты связи грязевых вулканов с осадочной толщей земной коры 43

Бурение

С. М. Қулиев, Г. Г. Габузов. Реологические консистентные кривые при течении нормальных глинистых растворов 46

3

8

12

16

19

25

29

33

38

43

46

87

Литология

Н. Ю. Халилов, М. Б. Хеиров. Исследование глин верхнего отдела ПТ* Бакинского архипелага в связи с решением некоторых вопросов разведочного бурения	52
Анатомия растений	
З. А. Новрузова, Н. М. Чапар и. Формирование анатомической струк- туры представителей морских	59
Гельминтология	
И. А. Рубцов. Новый вид мермитиды из клопов в Азербайджане	63
Генетика	
Чл.-корр. М. А. Ализаде, А. А. Исмайлова. Реакция растений хлоп- чатника на гербициды по показателям нуклеинового обмена	67
Медицина	
Л. Г. Мамедбекова, И. М. Исаев, Ч. М. Джадаров. К иннервации культы бронха и легких после их резекции	71
Археология	
Гардашхан Асланов. Курумы Ашера	76
Музыка	
Т. М. Сейдов. Фортепианные сонаты азербайджанских композиторов 1960—1970 гг.	80

ПРАВИЛА ДЛЯ АВТОРОВ

1. В «Докладах Академии наук Азербайджанской ССР» помещаются краткие сообщения, содержащие законченные, еще не опубликованные результаты научных исследований, имеющих теоретическое или практическое значение.

В «Докладах» не публикуются крупные статьи, механически разделенные на ряд отдельных сообщений, статьи полемического характера без новых фактических данных, статьи с описанием промежуточных опытов без определенных выводов и обобщений, работы непринципиальные, описательного или обзорного характера, чисто методические статьи, если предлагаемый метод не является принципиально новым, а также статьи по систематике растений и животных (за исключением описания особо интересных для науки находок).

Статьи, помещаемые в «Докладах», не лишают автора права последующей публикации того же сообщения в развернутом виде в других изданиях.

2. Поступающие в «Доклады» статьи рассматриваются Редакционной коллегией только после представления их академиком по специальности. Каждый академик может представить не более 5-ти статей в год.

Статьи членов-корреспондентов Академии наук Азербайджанской ССР принимаются без представления.

Редакция просит академиков при представлении статьи указывать дату получения ее от автора, а также наименование раздела, в котором статья должна быть помещена.

3. В «Докладах» публикуется не более трех статей одного автора в год.

4. В «Докладах» помещаются статьи, занимающие не более четверти авторского листа — около 6—7 страниц машинописи (10 000 печатных знаков), включая рисунки.

5. Все статьи должны иметь резюме на английском языке; кроме того, статьи, написанные на азербайджанском языке, должны иметь: резюме на русском языке и наоборот.

6. В конце статьи должны быть указаны название научного учреждения, в котором выполнена работа, и номер телефона автора.

7. Опубликование результатов работ, проведенных в научных учреждениях должно быть разрешено дирекцией научного учреждения.

8. Статьи (включая и резюме), должны быть напечатаны на машинке через два интервала, на одной стороне листа и представляются в двух экземплярах. Формулы должны быть вписаны четко и ясно, при этом прописные буквы должны быть подчеркнуты (черным карандашом) двумя черточками снизу, а строчные — сверху, буквы греческого алфавита надо обводить красным карандашом.

9. Цитируемая в статье литература должна приводиться не в виде подстрочных сносок, а общим списком (вподбор), в алфавитном порядке (по фамилии автора), в конце статьи с обозначением ссылки в тексте порядковой цифрой. Список литературы должен быть оформлен следующим образом:

а) для книг: фамилия и инициалы автора, полное название книги, номер тома, город, издательство и год издания;

б) для статей в сборниках (трудах): фамилия и инициалы автора, название статьи, название сборника (трудов), том, выпуск, место издания, издательство, год, страница;

в) для журнальных статей: фамилия и инициалы автора, название статьи, название журнала, год, том, номер, (выпуск), страница.

Ссылки на неопубликованные работы не допускаются (за исключением отчетов и диссертаций, хранящихся в научных учреждениях).

10. На обороте рисунков должны быть указаны фамилия автора, название статьи и номер рисунка. Отпечатанные на машинке подписи к рисункам представляются на отдельном листе.

11. Авторы статей должны указывать индекс статьи по Унифицированной десятичной классификации (УДК) и прилагать реферат для «Реферативного журнала».

12. Авторы должны избегать повторения одинаковых данных в таблицах, графиках и в тексте статьи.

Ввиду небольшого объема статей выводы помещаются лишь в необходимых случаях.

13. В случае представления двух или более статей одновременно необходимо указывать желательный порядок их помещения.

14. Корректура статей автором как правило не посыпается. В случае посылки коррекции допускается лишь исправление ошибок типографии.

15. Редакция выдает автору бесплатно 15 отдельных оттисков статьи.

Сдано в набор 21/II 1974. Подписано к печати 27/II 1974 г. Формат бумаги
70×108^{1/10}. Бум. лист. 2,75. Печ. лист. 7,54. Уч.-изд. лист. 6,43. ФГ 06054.
Заказ 513. Тираж 750. Цена 40 коп.

Типография „Красный Восток“ Государственного комитета Совета Министров
Азербайджанской ССР по делам издательства, полиграфии и книжной торговли.
Баку, Ази Асланова, 80.

